MENDELOVA UNIVERZITA V BRNĚ

LESNICKÁ A DŘEVAŘSKÁ FAKULTA

ÚSTAV OCHRANY LESŮ A MYSLIVOSTI

Vývoj epigeické arachnoentomofauny borových porostů v požářišti revíru Bzenec – Moravská Sahara (LS Strážnice)

Diplomová práce

Vedoucí práce:
PROF. ING. EMANUEL KULA, CSC.

Vypracoval:
BC. JAKUB PRÁGR

Brno 2017

9 Přílohy

9.1 Tabulky

Část tabulkových příloh je pro přehlednost v tištěné formě oddělena žlutým listem papíru.

Tab. 1: Hodnoty celkové abundance a celkové druhové bohatosti čeledi Carabidae na TVP v rámci let 2013, 2014 a 2015. Dále jsou uvedeny hodnoty abundance, druhové bohatosti a dominance skupin druhů čeledi Carabidae tříděných dle tolerance k zastínění a vlhkosti stanoviště. Do vypočtených hodnot nebyly zahrnuty abundance a počty druhů odebraných v období 1. 3. 2014—2. 4. 2014 a v období 27. 2. 2015—2. 4. 2015 (tyto druhy jsou označeny v tab. 2). Část I (II).

Tab. 2: Carabidae – přehled druhů a jejich abundancí zachycených do zemních pastí na požářišti Bzenec v letech 2013, 2014 a 2015 (* druh byl zachycen v období mezi 1. 3. 2014 a 2. 4. 2014; ** druh byl zachycen v období mezi 27. 2. 2015 a 2. 4. 2015). Část I (III).

Tab. 3: Výsledky permutačního testu vyjadřující signifikantní (*; p <0,05) nebo nesignifikantní (ns; p>0,05) rozdíl mezi vypočteným indexem diverzity (H = Shannon, 1-D = Simpson, BP = Bereger-Parker) v rámci jednotlivých let šetření (2013, 2014, 2015). Porovnávány byly všechny roky šetření navzájem, tzn. 2013 x 2014; 2013 x 2015; 2014 x 2015. Výpočty signifikance byly aplikovány na celé společenstvo střevlíkovitých a na ekologické skupiny druhů čeledi Carabidae dle tolerance k zastínění (L – stínomilné druhy; I – druhy indiferentní; O – druhy světlomilné) a vlhkosti (I – druhy indiferentní; S – druhy suchomilné).

Tab. 4: Hodnoty celkové abundance a celkové druhové bohatosti řádu Araneae na TVP v rámci let 2013 a 2014. Dále jsou uvedeny hodnoty abundance, druhové bohatosti a dominance skupin druhů řádu Araneae tříděných dle habitatové preference, tolerance k zastínění a vlhkosti stanoviště. Do vypočtených hodnot nebyly zahrnuty abundance a počty druhů odebraných v období 1. 3. 2014—2. 4. 2014 (tyto druhy jsou označeny v tab. 5). Druhům Gnaphosa modestior a Megaleptyphantes nebulosus nebyly přiřazeny ekologické hodnoty, proto nebyly do výpočtů zahrnuty. Část I (II).

Tab. 5: Araneae – přehled druhů a jejich abundancí zachycených do ZP na požářišti Bzenec v letech 2013 a 2014 (* druh byl zachycen v období mezi 1. 3. 2014 a 2. 4. 2014). Část I (V).

Tab. 6: Výsledky permutačního testu vyjadřující signifikantní (*; p <0,05) nebo nesignifikantní (ns; p> 0,05) rozdíl mezi vypočteným indexem diverzity (H = Shannon, 1-D = Simpson, BP = Bereger-Parker) v rámci let šetření (2013, 2014). Výpočty signifikance byly aplikovány na celé společenstvo pavouků (Araneae) a na jednotlivé ekologické skupiny druhů dle preference k habitatu (L – lesní, I – indiferentní, O – otevřený), dle tolerance k zastínění stanoviště (1–1,5: druhy otevřených stanovišť s nízkou bylinnou vegetací; 2–2,5: druhy otevřených stanovišť s vysokou bylinnou vegetací; 3–4: druhy částečně zastíněných až stinných stanovišť) a dle vlhkosti stanoviště (1–1,5: druhy velmi suchých stanovišť; 2–2,5 druhy suchých stanovišť; 3–3,5: druhy mírně vlhkých stanovišť).

Tab. 7: GLM (generalizovaný lineární model) pro změny v početnosti (abundanci) střevlíkovitých dle tolerance k zastínění a vlhkosti stanoviště mezi lety 2013–2015

9.2 Obrázky a grafy

Část obrázkových příloh je pro přehlednost v tištěné formě oddělena žlutým listem papíru.

Obr. 1: Ilustrace konceptu reakce lesního ekosystému na disturbanci (překleseno a upraveno dle Perera a Buse, 2012). Stavy ekosystému zachycené ve schématu: a) predisturbanční stav; b) stav bezprostředně po disturbanci (distrubance nepřesáhla resilienci ekosystému); c) stav po obnově ekosystému; d) stav bezprostředně po disturbanci (disturbance přesáhla resilienci ekosystému; e) a f) alternativní stavy ekosystému po disturbanci (disturnace přesáhla resilienci ekosystému)

Obr. 2: Možný průběh rekolonizace požárem narušené plochy půdními bezobratlými (překresleno a upraveno dle prací: Gongalsky a Zaitsev, 2016; Zaitsev et al., 2014). a) perfugium; b) koridor s nenarušenými nebo méně narušenými svrchně-půdními horizonty.

Obr. 3: Lokalizace oblasti výzkumu (a) a vyobrazení vedených transektů na TVP PO_01–PO_11 (b−d). Snímky území z let 2006 (b), 2012 (c) a 2016(d).

Obr. 4: Borová kmenovina napadená pozemním požárem s nižším stupněm poškození. (2. 5. 2014)

Obr. 5: Borová tyčkovina napadená pozemním i korunovým typem požáru, která byla následně odtěžena. (13. 6. 2012; Emanuel Kula)

Obr. 6: Odlesněná oblast Vátých písků po požáru v roce 2012 (12. 4. 2013)

Obr. 7: TVP PO_01 (1. 7. 2015)

Obr. 8: TVP PO_04 (27. 2. 2015)

Obr. 9: TVP PO_02 (5. 10. 2014)

Obr. 10: TVP PO_03 (31. 10. 2014)

Obr. 11: Typy destrukce porostu použité při vymapování porostních změn na TVP PO_02 a PO_03 (viz obr. 12).

Obr. 12: Postup rozpadu TVP PO_02 a PO_03 dle stanovených typů destrukce (obr. 11). U každého snímku je uveden měsíc a rok, kdy byl záznam proveden.

Obr. 13: TVP PO_06 (2. 5. 2014)

Obr. 14: TVP PO_07 (2. 5. 2014)

Obr. 15: TVP PO_10 (2. 5. 2014)

Obr. 16: TVP PO_08 (2. 5. 2014)

Obr. 17: TVP PO_05 po žíru chrousta maďalového (11. 5. 2015)

Obr. 18: Klimatická stanice MeteoUni instalovaná v borové kmenovině (2. 5. 2014).

Obr. 19: Průměrná teplota vzduchu ve dvou metrech nad zemí měřená v období průběhu sběru epigeické arachnoentomofauny v roce 2014. Měření probíhalo ve třech hlavních typech biotopů, které byly do výzkumu zahrnuty: holina, borová tyčovina, borová kmenovina.

Obr. 20: Průměrná teplota půdy v hloubce 15 cm měřená v období průběhu sběru epigeické arachnoentomofauny v roce 2014. Měření probíhalo ve třech hlavních typech biotopů, které byly do výzkumu zahrnuty: holina, borová tyčovina, borová kmenovina.

Obr. 21: Průměrná teplota vzduchu ve dvou metrech nad zemí měřená v období průběhu sběru epigeické arachnoentomofauny v roce 2015. Měření probíhalo ve třech hlavních typech biotopů, které byly do výzkumu zahrnuty: holina, borová tyčovina, borová kmenovina.

Obr. 22: Průměrná teplota půdy v hloubce 15 cm měřená v období průběhu sběru epigeické arachnoentomofauny v roce 2015. Měření probíhalo ve třech hlavních typech biotopů, které byly do výzkumu zahrnuty: holina, borová tyčovina, borová kmenovina.

Obr. 23. Ukázka instalované ZP s typem plechové stříšky, kterými se ZP přikrývaly. (27. 2. 2015)

Obr. 24: Třídění ZP v laboratoři (8. 11. 2013)

Obr. 25: Charakteristiky společenstva čeledi střevlíkovitých (Carabidae) TVP z let 2013 (a, d, g), 2014 (b, e, h) a 2015 (c, f, ch) dle indexů diverzity: Simpsonův index (a—c), Shannonův index (d—f), Berger-Parkerův index (g—ch). Signifikantní (p <0,05) nebo nesignifikantní (p> 0,05) rozdíl mezi indexy diverzity na TVP v prvním, druhém a třetím roce šetření udává tab. 3. Linie ukazují 95% interval spolehlivosti.

Obr. 26: Charakteristiky skupiny stínomilných druhů společenstva čeledi střevlíkovitých (Carabidae) TVP z let 2013 (a, d, g), 2014 (b, e, h) a 2015 (c, f, ch) dle indexů diverzity: Simpsonův index (a—c), Shannonův index (d—f), Berger-Parkerův index (g—ch). Signifikantní (p <0,05) nebo nesignifikantní (p> 0,05) rozdíl mezi indexy diverzity na TVP v prvním, druhém a třetím roce šetření udává tab. 3. Linie ukazují 95% interval spolehlivosti.

Obr. 27: Charakteristiky skupiny k zastínění stanoviště indiferentních druhů společenstva čeledi střevlíkovitých (Carabidae) TVP z let 2013 (a, d, g), 2014 (b, e, h) a 2015 (c, f, ch) dle indexů diverzity: Simpsonův index (a—c), Shannonův index (d—f), Berger-Parkerův index (g—ch). Signifikantní (p <0,05) nebo nesignifikantní (p> 0,05) rozdíl mezi indexy diverzity na TVP v prvním a druhém roce šetření udává tab. 3. Linie ukazují 95% interval spolehlivosti.

Obr. 28: Charakteristiky skupiny světlomilných druhů společenstva čeledi střevlíkovitých (Carabidae) TVP z let 2013 (a, d, g), 2014 (b, e, h) a 2015 (c, f, ch) dle indexů diverzity: Simpsonův index (a—c), Shannonův index (d—f), Berger-Parkerův index (g—ch). Signifikantní (p <0,05) nebo nesignifikantní (p> 0,05) rozdíl mezi indexy diverzity na TVP v prvním a druhém roce šetření udává tab. 3. Linie ukazují 95% interval spolehlivosti.

Obr. 29: Charakteristiky skupiny druhů k vlhkosti stanoviště indiferentních společenstva čeledi střevlíkovitých (Carabidae) TVP z let 2013 (a, d, g), 2014 (b, e, h) a 2015 (c, f, ch) dle indexů diverzity: Simpsonův index (a—c), Shannonův index (d—f), Berger-Parkerův index (g—ch). Signifikantní (p <0,05) nebo nesignifikantní (p> 0,05) rozdíl mezi indexy diverzity na TVP v prvním a druhém roce šetření udává tab. 3. Linie ukazují 95% interval spolehlivosti.

Obr. 30: Charakteristiky skupiny druhů k suchomilných společenstva čeledi střevlíkovitých (Carabidae) TVP z let 2013 (a, d, g), 2014 (b, e, h) a 2015 (c, f, ch) dle indexů diverzity: Simpsonův index (a—c), Shannonův index (d—f), Berger-Parkerův index (g—ch). Signifikantní (p <0,05) nebo nesignifikantní (p> 0,05) rozdíl mezi indexy diverzity na TVP v prvním a druhém roce šetření udává tab. 3. Linie ukazují 95% interval spolehlivosti.

Obr. 31: Rarefrakční křivky počtu druhů čeledi střevlíkovitých (Carabidae) na TVP v roce 2013

Obr. 32: Rarefrakční křivky počtu druhů čeledi střevlíkovitých (Carabidae) na TVP v roce 2014

Obr. 33: Rarefrakční křivky počtu druhů čeledi střevlíkovitých (Carabidae) na TVP v roce 2015

Obr. 34: Hodnoty Renkonenova indexu faunistické podobnosti vypočtené pro společenstva čeledi střevlíkovitých (Carabidae) zjištěných v roce 2013 na požářišti Bzenec ve vazbě na jednotlivé TVP.

Obr. 35: Výsledky shlukové analýzy (pravidlo slučování Wardova metoda, Euklidovská míra vzdálenosti) aplikované na vypočtené Renkonenovy indexy podobnosti pro společenstva čeledi střevlíkovitých (Carabidae) z roku 2013 dle TVP.

Obr. 36: Hodnoty Renkonenova indexu faunistické podobnosti vypočtené pro společenstva čeledi střevlíkovitých (Carabidae) zjištěných v roce 2014 na požářišti Bzenec ve vazbě na TVP.

Obr. 37: Výsledky shlukové analýzy (pravidlo slučování Wardova metoda, Euklidovská míra vzdálenosti) aplikované na vypočtené Renkonenovy indexy podobnosti pro společenstva čeledi střevlíkovitých (Carabidae) z roku 2014 dle TVP.

Obr. 38: Hodnoty Renkonenova indexu faunistické podobnosti vypočtené pro společenstva čeledi střevlíkovitých (Carabidae) zjištěných v roce 2015 na požářišti Bzenec ve vazbě na TVP.

Obr. 39: Výsledky shlukové analýzy (pravidlo slučování Wardova metoda, Euklidovská míra vzdálenosti) aplikované na vypočtené Renkonenovy indexy podobnosti pro společenstva čeledi střevlíkovitých (Carabidae) z roku 2015 dle TVP.

Obr. 40: Ordinační diagram CCA analýzy znázorňující vztah mezi TVP v roce 2013 a skupinami druhů čeledi střevlíkovitých (Carabidae) tříděných dle preference k vlhkosti stanoviště (tmavě modrá - hygrofilní/mokřadní druh, světle modrá – vlhkomilný druh, zelená – indiferentní druh, světle žlutá – suchomilný druh, oranžová – xerofilní druh).

Obr. 41: Ordinační diagram CCA analýzy znázorňující vztah mezi TVP v roce 2014 a skupinami druhů čeledi střevlíkovitých (Carabidae) tříděných dle preference k vlhkosti stanoviště (tmavě modrá – hygrofilní/mokřadní druh, světle modrá – vlhkomilný druh, zelená – indiferentní druh, světle žlutá – suchomilný druh, oranžová – xerofilní druh).

Obr. 42: Ordinační diagram CCA analýzy znázorňující vztah mezi TVP v roce 2015 a skupinami druhů čeledi střevlíkovitých (Carabidae) tříděných dle preference k vlhkosti stanoviště (tmavě modrá – hygrofilní/mokřadní druh, světle modrá – vlhkomilný druh, zelená – indiferentní druh, světle žlutá – suchomilný druh, oranžová – xerofilní druh).

Obr. 43: Ordinační diagram CCA analýzy znázorňující vztah mezi TVP v roce 2013 a skupinami druhů čeledi střevlíkovitých (Carabidae) tříděných dle preference k zastínění stanoviště (šedá – světlomilný druh, červená – indiferentní druh, zelená – stínomilný druh)

Obr. 44: Ordinační diagram CCA analýzy znázorňující vztah mezi TVP v roce 2014 a skupinami druhů čeledi střevlíkovitých (Carabidae) tříděných dle preference k zastínění stanoviště (šedá – světlomilný druh, červená – indiferentní druh, zelená – stínomilný druh)

Obr. 45: Ordinační diagram CCA analýzy znázorňující vztah mezi TVP v roce 2015 a skupinami druhů čeledi střevlíkovitých (Carabidae) tříděných dle preference k zastínění stanoviště (šedá – světlomilný druh, červená – indiferentní druh, zelená – stínomilný druh)

Obr. 46: Porovnání indexů diverzity (1-D = Simpson – a, b; H = Shannon – c, d; BP = Berger-Parker – e, f) vypočtených pro společenstva řádu pavouků (Araneae), která se na TVP vyskytovala v letech 2013 (a, c, e) a 2014 (b, d, f). Signifikantní ($p < 0,05$) nebo nesignifikantní ($p > 0,05$) rozdíl mezi indexy diverzity na TVP v prvním a druhém roce šetření udává tab. 6. Linie ukazují 95% interval spolehlivosti.

Obr. 47: Porovnání indexů diverzity (1-D = Simpson – a, b; H = Shannon – c, d; BP = Berger-Parker – e, f) vypočtených pro společenstva řádu pavouků (Araneae) druhů preferujících lesní habitaty, která se na TVP vyskytovala v letech 2013 (a, c, e) a 2014 (b, d, f). Signifikantní ($p < 0,05$) nebo nesignifikantní ($p > 0,05$) rozdíl mezi indexy diverzity na TVP v prvním a druhém roce šetření udává tab. 6. Linie ukazují 95% interval spolehlivosti.

Obr. 48: Porovnání indexů diverzity (1-D = Simpson – a, b; H = Shannon – c, d; BP = Berger-Parker – e, f) vypočtených pro společenstva řádu pavouků (Araneae) druhů preferujících otevřené habitaty, která se na TVP vyskytovala v letech 2013 (a, c, e) a 2014 (b, d, f).

Signifikantní (p < 0,05) nebo nesignifikantní (p > 0,05) rozdíl mezi indexy diverzity na TVP v prvním a druhém roce šetření udává tab. 6. Linie ukazují 95% interval spolehlivosti.

Obr. 49: Porovnání indexů diverzity (1-D = Simpson – a, b; H = Shannon – c, d; BP = Berger-Parker – e, f) vypočtených pro společenstva řádu pavouků (Araneae) druhů k habitatu indiferentních, která se na TVP vyskytovala v letech 2013 (a, c, e) a 2014 (b, d, f). Signifikantní (p < 0,05) nebo nesignifikantní (p > 0,05) rozdíl mezi indexy diverzity na TVP v prvním a druhém roce šetření udává tab. 6. Linie ukazují 95% interval spolehlivosti.

Obr. 50: Porovnání indexů diverzity (1-D = Simpson – a, b; H = Shannon – c, d; BP = Berger-Parker – e, f) vypočtených pro společenstva řádu pavouků (Araneae) skupiny druhů dle preference k vlhkosti stanoviště (stupeň 1+1,5), která se na TVP vyskytovala v letech 2013 (a, c, e) a 2014 (b, d, f). Signifikantní (p <0,05) nebo nesignifikantní (p> 0,05) rozdíl mezi indexy diverzity na TVP v prvním a druhém roce šetření udává tab. 6. Linie ukazují 95% interval spolehlivosti.

Obr. 51: Porovnání indexů diverzity (1-D = Simpson – a, b; H= Shannon – c, d; BP = Berger-Parker – e, f) vypočtených pro společenstva řádu pavouků (Araneae) skupiny druhů dle preference k vlhkosti stanoviště (stupeň 2+2,5), která se na TVP vyskytovala v letech 2013 (a, c, e) a 2014 (b, d, f). Signifikantní (p <0,05) nebo nesignifikantní (p> 0,05) rozdíl mezi indexy diverzity na TVP v prvním a druhém roce šetření udává tab. 6. Linie ukazují 95% interval spolehlivosti.

Obr. 52: Porovnání indexů diverzity (1-D = Simpson – a, b; H = Shannon – c, d; BP= Berger-Parker – e, f) vypočtených pro společenstva řádu pavouků (Araneae) skupiny druhů dle preference k vlhkosti stanoviště (stupeň 3+3,5), která se na TVP vyskytovala v letech 2013 (a, c, e) a 2014 (b, d, f). Signifikantní (p <0,05) nebo nesignifikantní (p> 0,05) rozdíl mezi indexy diverzity na TVP v prvním a druhém roce šetření udává tab. 6. Linie ukazují 95% interval spolehlivosti.

Obr. 53: Porovnání indexů diverzity (1-D = Simpson – a, b; H = Shannon – c, d; BP = Berger-Parker – e, f) vypočtených pro společenstva řádu pavouků (Araneae) skupiny druhů dle preference k zastínění stanoviště (stupeň 1+1,5), která se na TVP vyskytovala v letech 2013 (a, c, e) a 2014 (b, d, f). Signifikantní (p <0,05) nebo nesignifikantní (p> 0,05) rozdíl mezi indexy diverzity na TVP v prvním a druhém roce šetření udává tab. 6. Linie ukazují 95% interval spolehlivosti.

Obr. 54: Porovnání indexů diverzity (1-D = Simpson – a, b; H = Shannon – c, d; BP = Berger-Parker – e, f) vypočtených pro společenstva řádu pavouků (Araneae) skupiny druhů dle preference k zastínění stanoviště (stupeň 2+2,5), která se na TVP vyskytovala v letech 2013 (a, c, e) a 2014 (b, d, f). Signifikantní (p <0,05) nebo nesignifikantní (p> 0,05) rozdíl mezi indexy diverzity na TVP v prvním a druhém roce šetření udává tab. 6. Linie ukazují 95% interval spolehlivosti.

Obr. 55: Porovnání indexů diverzity (1-D = Simpson – a, b; H = Shannon – c, d; BP = Berger-Parker – e, f) vypočtených pro společenstva řádu pavouků (Araneae) skupiny druhů dle preference k zastínění stanoviště (stupeň 3−4), která se na TVP vyskytovala v letech 2013 (a, c, e) a 2014 (b, d, f). Signifikantní (p <0,05) nebo nesignifikantní (p> 0,05) rozdíl mezi indexy diverzity na TVP v prvním a druhém roce šetření udává tab. 6. Linie ukazují 95% interval spolehlivosti.

Obr. 56: Rarefrakční křivky počtu druhů řádu pavouků (Araneae) na TVP v roce 2013

Obr. 57: Rarefrakční křivky počtu druhů řádu pavouků (Araneae) na TVP v roce 2014

Obr. 58: Hodnoty Renkonenova indexu faunistické podobnosti vypočtené pro společenstva řádu pavouků (Araneae) zjištěných v roce 2013 na požářišti Bzenec ve vazbě na TVP.

Obr. 59: Výsledky shlukové analýzy (pravidlo slučování Wardova metoda, Euklidovská míra vzdálenosti) aplikované na vypočtené Renkonenovy indexy podobnosti pro společenstva řádu pavouků (Araneae) z roku 2013 dle TVP.

Obr. 60: Hodnoty Renkonenova indexu faunistické podobnosti vypočtené pro společenstva řádu pavouků (Araneae) zjištěných v roce 2014 na požářišti Bzenec ve vazbě na TVP.

Obr. 61: Výsledky shlukové analýzy (pravidlo slučování Wardova metoda, Euklidovská míra vzdálenosti) aplikované na vypočtené Renkonenovy indexy podobnosti pro společenstva řádu pavouků (Araneae) z roku 2014 dle TVP.

Obr. 62: Ordinační diagram CCA analýzy znázorňující vztah mezi TVP v roce 2013 a skupinami druhů řádu pavouků (Araneae) tříděných dle preference k vlhkosti stanoviště (1 – světle šedá; 1,5 – tmavě šedá; 2 – žlutá; 2,5 – oranžová; 3 – modrá; 3,5 – tmavě modrá; 4 – světle zelená; 4,5 – tmavě zelená; 5 – růžová; hodnota nebyla určena – fialová)

Obr. 63: Ordinační diagram CCA analýzy znázorňující vztah mezi TVP v roce 2014 a skupinami druhů řádu pavouků (Araneae) tříděných dle preference k vlhkosti stanoviště (1 – světle šedá; 1,5 – tmavě šedá; 2 – žlutá; 2,5 – oranžová; 3 – modrá; 3,5 – tmavě modrá; 4 – světle zelená; 4,5 – tmavě zelená; 5 – růžová; hodnota nebyla určena – fialová)

Obr. 64: Ordinační diagram CCA analýzy znázorňující vztah mezi TVP v roce 2013 a skupinami druhů řádu pavouků (Araneae) tříděných dle habitatové preference (druh lesních stanovišť – zelená, druh indiferentní – šedá, druh otevřených stanovišť – modrá)

Obr. 65: Ordinační diagram CCA analýzy znázorňující vztah mezi TVP v roce 2014 a skupinami druhů řádu pavouků (Araneae) tříděných dle habitatové preference (druh lesních stanovišť – zelená, druh indiferentní – šedá, druh otevřených stanovišť – modrá)

Tab. 1: Hodnoty celkové abundance a celkové druhové bohatosti čeledi Carabidae na TVP v rámci let 2013, 2014 a 2015. Dále jsou uvedeny hodnoty abundance, druhové bohatosti a dominance skupin druhů čeledi Carabidae tříděných dle tolerance k zastínění a vlhkosti stanoviště. Do vypočtených hodnot nebyly zahrnuty abundance a počty druhů odebraných v období 1. 3. 2014—2. 4. 2014 a v období 27. 2. 2015—2. 4. 2015 (tyto druhy jsou označeny v tab. 2). Část I (II).

Carabidae	PO_01			PO_02			PO_03			PO_04			PO_05			PO_06			PO_07			PO_08			PO_09			PO_10			PO_11			Σ		
	2013	2014	2015	2013	2014	2015	2013	2014	2015	2013	2014	2015	2013	2014	2015	2013	2014	2015	2013	2014	2015	2013	2014	2015	2013	2014	2015	2013	2014	2015	2013	2014	2015	2013	2014	2015
Celkové počty																																				
Celkový počet druhů	18	17	26	15	22	32	18	24	34	10	21	25	30	27	35	18	17	29	17	18	27	15	16	23	15	12	25	11	12	15	10	10	14	51	60	72
Celková abundance	124	457	653	481	365	594	227	488	777	69	359	352	488	470	1227	207	158	617	415	320	770	222	243	427	317	273	549	230	168	319	452	180	501	3232	3481	6786
Tolerance k zastínění																																				
Abundance druhů lesních/stínomilných (L)	4	–	–	82	40	19	17	17	5	12	–	–	12	6	5	17	23	16	23	19	6	93	108	56	149	131	139	136	86	64	160	82	34	705	512	344
Abundance druhů indiferentních (I)	3	2	9	47	6	35	17	1	10	6	1	3	15	2	18	19	1	9	17	2	35	82	32	189	118	33	204	71	67	144	219	88	232	614	235	888
Abundance druhů otevřených stanovišť (O)	117	455	644	352	319	540	193	470	762	51	358	349	461	462	1204	171	134	592	375	299	729	47	103	182	50	109	206	23	15	111	73	10	235	1913	2734	5554
Počet druhů lesních/stínomilných (L)	2	–	–	4	3	4	3	3	3	2	–	–	4	4	4	3	2	3	5	2	3	4	4	5	4	3	6	3	3	4	3	5	5	10	7	9
Počet druhů indiferentních (I)	3	2	5	1	2	4	2	1	2	2	1	1	3	2	2	2	1	2	2	1	4	2	2	2	3	2	3	1	1	2	2	1	2	4	6	7
Počet druhů otevřených stanovišť (O)	13	15	21	10	17	24	13	20	29	6	20	24	23	21	29	13	14	24	10	15	20	9	10	16	8	7	16	7	8	9	5	4	7	37	47	56
Dominance druhů lesních/stínomilných (L)	11,1	–	–	26,7	13,6	12,5	16,7	12,5	8,8	20,0	–	–	13,3	14,8	11,4	16,7	11,8	10,3	29,4	11,1	11,1	26,7	25,0	21,7	26,7	25,0	24,0	27,3	25,0	26,7	30,0	50,0	35,7	19,6	11,7	12,5
Dominance druhů indiferentních (I)	16,7	11,8	19,2	6,7	9,1	12,5	11,1	4,2	5,9	20,0	4,8	4,0	10,0	7,4	5,7	11,1	5,9	6,9	11,8	5,6	14,8	13,3	12,5	8,7	20,0	16,7	12,0	9,1	8,3	13,3	20,0	10,0	14,3	7,8	10,0	9,7
Dominance druhů otevřených stanovišť (O)	72,2	88,2	80,8	66,7	77,3	75,0	72,2	83,3	85,3	60,0	95,2	96,0	76,7	77,8	82,9	72,2	82,4	82,8	58,8	83,3	74,1	60,0	62,5	69,6	53,3	58,3	64,0	63,6	66,7	60,0	50,0	40,0	50,0	72,5	78,3	77,8
Tolerance k vlhkosti																																				
Abundance druhů hygrofilních (H)	–	–	–	–	–	–	1	–	–	–	–	–	–	–	1	–	–	–	–	–	–	–	–	1	–	–	1	–	–	–	2	–	–	3	–	3
Abundance druhů vlhkomilných (V)	2	–	1	1	2	4	2	2	3	1	–	–	1	–	–	2	7	8	2	–	1	10	13	17	56	45	55	5	4	12	–	4	4	82	77	105
Abundance druhů indiferentních (I)	113	358	479	472	338	482	189	443	590	68	205	150	281	373	453	198	145	518	404	292	633	204	224	351	257	226	424	209	156	206	381	172	264	2776	2932	4550
Abundance druhů suchomilných (S)	9	86	151	7	16	107	21	35	183	–	74	121	182	92	761	6	3	91	7	24	134	7	6	58	3	2	69	15	8	100	69	4	232	326	350	2007
Abundance druhů xerofilních (X)	–	13	22	1	9	1	14	8	1	–	80	81	24	5	12	1	3	–	2	4	2	1	–	–	1	–	–	1	–	1	–	–	1	45	122	121
Počet druhů hygrofilních (H)	1	–	–	–	–	–	–	–	–	–	–	–	–	–	1	–	–	–	–	–	–	–	–	1	–	–	1	–	–	–	1	–	–	2	–	1
Počet druhů vlhkomilných (V)	1	–	1	1	1	2	1	2	2	1	–	–	1	–	–	1	3	1	1	–	1	3	3	3	2	1	2	1	1	3	–	1	2	4	4	5
Počet druhů indiferentních (I)	11	10	12	10	14	17	10	11	18	9	8	9	17	16	19	13	11	16	11	10	14	7	10	13	10	10	15	6	6	8	7	7	6	25	31	35
Počet druhů suchomilných (S)	6	6	10	3	5	12	3	8	13	–	10	13	8	9	12	3	2	12	4	6	11	4	3	6	2	1	7	3	5	3	2	2	5	15	18	22
Počet druhů xerofilních (X)	–	1	3	1	2	1	3	3	1	–	3	3	4	2	3	1	1	–	1	2	1	1	–	–	1	–	–	1	–	1	–	–	1	5	7	9
Dominance druhů hygrofilních (H)	5,6	–	–	–	–	–	–	–	–	–	–	–	–	–	2,9	–	–	–	–	–	–	–	–	4,3	–	–	4,0	–	–	–	10,0	–	–	3,9	–	1,4
Dominance druhů vlhkomilných (V)	5,6	–	3,8	6,7	4,5	6,3	5,6	8,3	5,9	10,0	–	–	3,3	–	–	5,6	17,6	3,4	5,9	–	3,7	20,0	18,8	13,0	13,3	8,3	8,0	9,1	8,3	20,0	–	10,0	14,3	7,8	6,7	6,9
Dominance druhů indiferentních (I)	61,1	58,8	46,2	66,7	63,6	53,1	55,6	45,8	52,9	90,0	38,1	36,0	56,7	59,3	54,3	72,2	64,7	55,2	64,7	55,6	51,9	46,7	62,5	56,5	66,7	83,3	60,0	54,5	50,0	53,3	70,0	70,0	42,9	49,0	51,7	48,6
Dominance druhů suchomilných (S)	33,3	35,3	38,5	20,0	22,7	37,5	16,7	33,3	38,2	–	47,6	52,0	26,7	33,3	34,3	16,7	11,8	41,4	23,5	33,3	40,7	26,7	18,8	26,1	13,3	8,3	28,0	27,3	41,7	20,0	20,0	20,0	35,7	29,4	30,0	30,6
Dominance druhů xerofilních (X)	–	5,9	11,5	6,7	9,1	3,1	16,7	12,5	2,9	–	14,3	12,0	13,3	7,4	8,6	5,6	5,9	–	5,9	11,1	3,7	6,7	–	–	6,7	–	–	9,1	–	6,7	–	–	7,1	9,8	11,7	12,5

Pokračování tab. 1. Část II (II).

Carabidae	PO_01			PO_02			PO_03			PO_04			PO_05			PO_06			PO_07			PO_08			PO_09			PO_10			PO_11			Σ		
	2013	2014	2015	2013	2014	2015	2013	2014	2015	2013	2014	2015	2013	2014	2015	2013	2014	2015	2013	2014	2015	2013	2014	2015	2013	2014	2015	2013	2014	2015	2013	2014	2015	2013	2014	2015
Abundance druhů apterních (A)	–	–	–	–	–	–	–	–	–	–	–	–	–	–	–	–	–	–	–	–	1	–	1	2	–	–	5	–	–	3	–	–	3	–	1	14
Abundance druhů brachypterních (B)	1	–	3	52	9	54	16	8	16	2	3	–	15	5	36	17	5	33	13	6	41	84	38	196	122	33	209	75	69	151	222	90	239	619	266	978
Abundance druhů B/A	3	2	1	17	14	4	4	16	3	22	5	2	6	3	1	13	23	13	8	16	4	8	21	14	58	53	51	5	10	11	–	12	1	144	175	105
Abundance druhů B/M/A	–	–	1	–	–	–	–	4	2	–	2	4	20	12	14	–	–	1	–	–	2	–	–	–	–	–	–	–	–	–	–	–	–	20	18	24
Abundance druhů makropterních (M)	120	455	648	412	342	536	207	460	756	45	349	346	447	450	1176	177	130	570	394	298	722	130	183	215	137	187	284	150	89	154	230	78	258	2449	3021	5665
Počet druhů apterních (A)	–	–	–	–	–	–	–	–	–	–	–	–	–	–	–	–	–	–	–	–	1	–	1	1	–	–	1	–	–	2	–	–	1	–	1	2
Počet druhů brachypterních (B)	1	–	3	2	2	7	3	3	5	2	2	–	2	4	10	2	1	6	1	3	5	3	4	6	3	2	4	3	3	3	4	2	6	10	9	14
Počet druhů B/A	2	2	1	2	1	2	2	2	2	3	1	2	3	1	1	2	2	3	2	1	1	2	2	1	2	2	2	1	2	2	–	2	1	4	4	5
Počet druhů B/M/A	–	–	1	–	–	–	–	1	1	–	1	1	1	1	1	–	–	1	–	–	1	–	–	–	–	–	–	–	–	–	–	–	–	1	1	1
Počet druhů makropterních (M)	15	15	21	11	19	23	13	18	26	5	17	22	24	21	23	14	14	19	14	14	19	10	9	15	10	8	18	7	7	8	6	6	6	36	45	50
Dominance druhů apterních (A)	–	–	–	–	–	–	–	–	–	–	–	–	–	–	–	–	–	–	–	–	3,7	–	6,3	4,3	–	–	4,0	–	–	13,3	–	–	7,1	–	1,7	2,8
Dominance druhů brachypterních (B)	5,6	–	11,5	13,3	9,1	21,9	16,7	12,5	14,7	20,0	9,5	–	6,7	14,8	28,6	11,1	5,9	20,7	5,9	16,7	18,5	20,0	25,0	26,1	20,0	16,7	16,0	27,3	25,0	20,0	40,0	20,0	42,9	19,6	15,0	19,4
Dominance druhů B/A	11,1	11,8	3,8	13,3	4,5	6,3	11,1	8,3	5,9	30,0	4,8	8,0	10,0	3,7	2,9	11,1	11,8	10,3	11,8	5,6	3,7	13,3	12,5	4,3	13,3	16,7	8,0	9,1	16,7	13,3	0,0	20,0	7,1	7,8	6,7	6,9
Dominance druhů B/M/A	–	–	3,8	–	–	–	–	4,2	2,9	–	4,8	4,0	3,3	3,7	2,9	–	–	3,4	–	–	3,7	–	–	–	–	–	–	–	–	–	–	–	–	2,0	1,7	1,4
Dominance druhů makropterních (M)	83,3	88,2	80,8	73,3	86,4	71,9	72,2	75,0	76,5	50,0	81,0	88,0	80,0	77,8	65,7	77,8	82,4	65,5	82,4	77,8	70,4	66,7	56,3	65,2	66,7	66,7	72,0	63,6	58,3	53,3	60,0	60,0	42,9	70,6	75,0	69,4

Tab. 2: Carabidae – přehled druhů a jejich abundancí zachycených do zemních pastí na požářišti Bzenec v letech 2013, 2014 a 2015 (* druh byl zachycen v období mezi 1. 3. 2014 a 2. 4. 2014; ** druh byl zachycen v období mezi 27. 2. 2015 a 2. 4. 2015). Část I (III).

Carabidae	Akronym	PO_01			PO_02			PO_03			PO_04			PO_05			PO_06			PO_07			PO_08			PO_09			PO_10			PO_11			Σ		
		2013	2014	2015	2013	2014	2015	2013	2014	2015	2013	2014	2015	2013	2014	2015	2013	2014	2015	2013	2014	2015	2013	2014	2015	2013	2014	2015	2013	2014	2015	2013	2014	2015	2013	2014	2015
Abax parallelus (Duftschmid, 1812)	A_par	–	–	–	–	–	–	–	–	–	–	–	–	–	–	1	–	–	–	–	–	–	–	–	1	–	–	1	–	–	–	2	–	–	2	0	3
Agonum sexpunctatum (Linnaeus, 1758)	A_sex	–	–	–	–	–	2	–	–	2	–	–	–	–	–	–	–	–	–	–	–	–	–	–	–	–	–	–	–	–	–	–	–	–	0	0	4
Amara aenea (De Geer, 1774)	A_aen	–	–	–	–	–	–	–	–	–	–	–	–	1	1	–	–	–	–	–	1	1	–	–	–	–	–	–	–	–	–	–	–	–	1	2	1
Amara apricaria (Paykull, 1790)	A_apr	–	–	3	–	–	–	–	–	–	–	1	–	–	–	–	–	–	–	–	–	–	–	–	–	–	–	–	–	–	–	–	–	–	0	1	3
Amara bifrons (Gyllenhal, 1810)	A_bif	–	–	8	–	–	5	–	–	18	–	–	2	–	–	6	–	1	29	–	6	36	–	–	–	–	–	–	–	–	–	–	–	–	0	7	104
Amara consularis (Duftschmid, 1812)	A_con	1	1	2	–	1	2	–	1	1	–	3	5	–	2	14	–	–	1	–	1	–	–	–	–	–	–	1	–	2	–	–	–	–	1	11	26
Amara convexior (Stephens, 1828)	A_conv	–	–	–	–	–	–	–	–	1	–	–	–	–	–	–	–	–	–	–	–	2	–	–	–	–	–	–	–	–	–	–	–	–	0	0	3
Amara cursitans (Zimmermann, 1832)	A_cur	–	–	–	–	–	1	–	–	2	–	–	–	–	1	3	–	1	–	–	9	1	–	–	–	–	–	–	–	–	–	–	–	–	0	11	7
Amara equestris (Duftschmid, 1812)	A_equ	1	–	–	–	–	–	–	–	1	–	–	1	–	–	–	–	–	–	–	–	–	–	–	–	–	–	–	–	–	–	–	–	–	1	0	2
Amara familiaris (Duftschmid, 1812)**	A_fam	–	–	–	–	–	1	–	–	–	–	–	–	–	–	–	–	1	–	–	–	–	–	–	–	–	–	–	–	–	–	–	–	–	0	1	1
Amara fulva (O.F. Müller, 1776)	A_ful	–	1	7	–	–	–	–	–	4	–	42	38	–	1	2	–	–	–	–	–	–	–	–	–	–	–	–	–	–	–	–	–	–	0	44	51
Amara lunicollis (Schiödte, 1837)	A_lun	–	–	–	3	11	110	3	9	96	1	–	1	52	9	61	24	31	109	3	24	83	29	75	86	25	82	87	2	–	1	1	–	–	143	241	634
Amara plebeja (Gyllenhal, 1810)	A_ple	–	–	–	–	–	–	–	–	1	–	–	–	2	1	1	1	–	–	–	–	–	–	–	–	–	–	1	–	–	–	–	–	–	3	1	3
Amara similata (Gyllenhal, 1810)	A_sim	–	–	–	1	–	1	–	–	–	–	–	–	–	–	–	1	–	–	–	–	–	–	–	1	–	–	–	–	–	–	–	–	–	2	0	2
Amara tibialis (Paykull, 1798)*	A_tib	–	–	–	–	–	–	–	–	–	–	1	–	1	1	1	1	–	2	–	–	–	–	–	–	–	–	–	–	–	–	–	–	–	2	2	3
Anisodactylus binotatus (Fabricius, 1787)	A_bin	1	2	–	–	–	–	–	–	–	–	–	–	3	1	1	–	–	–	–	–	–	–	–	–	–	–	–	–	–	–	–	–	–	4	3	1
Anisodactylus signatus (Panzer, 1797)	A_sig	4	3	–	–	–	–	–	–	–	1	–	1	1	–	–	–	–	–	1	–	–	–	–	–	–	–	–	–	–	–	–	–	–	7	3	1
Bradycellus caucasicus (Chaudoir, 1846)	B_cau	–	–	–	–	–	1	–	–	1	–	–	–	–	–	–	–	–	5	–	–	3	–	–	–	–	–	–	–	–	–	–	–	1	0	0	11
Bradycellus csikii (Lacszó, 1912)**	B_csi	–	–	–	–	–	–	–	–	–	–	–	–	–	–	–	–	–	1	–	–	1	–	–	–	–	–	–	–	–	–	–	–	–	0	0	2
Brachinus crepitans (Linnaeus, 1758)	B_cre	–	–	–	–	–	–	–	–	–	–	–	–	–	–	–	–	–	–	–	–	1	–	–	–	–	–	–	–	–	–	–	–	–	0	0	1
Broscus cephalotes (Linnaeus, 1758)	B_cep	–	–	–	–	–	–	–	–	–	–	1	1	–	–	–	–	–	–	–	–	–	–	–	–	–	–	–	–	–	–	–	–	–	0	1	1
Calathus ambiguus (Paykull, 1790)	C_amb	2	–	13	–	1	9	5	–	7	–	–	2	54	–	34	1	2	2	3	1	14	1	–	–	–	–	4	–	–	–	–	1	1	66	5	86
Calathus cinctus (Motschulsky, 1850)	C_cin	–	–	–	3	–	30	1	1	67	–	1	2	1	–	2	–	–	8	2	–	–	4	4	20	2	–	59	13	3	91	67	3	226	93	12	505
Calathus erratus (C. R. Sahlberg, 1827)	C_err	–	23	64	–	–	20	–	11	54	–	6	29	27	61	654	–	–	19	1	12	57	–	–	30	–	–	1	–	1	–	–	–	–	28	114	928
Calathus fuscipes (Goeze, 1777)	C_fus	–	–	–	–	–	7	–	–	–	–	–	–	–	–	10	–	–	–	–	–	3	1	1	4	–	–	–	–	–	2	–	–	2	1	1	28
Calathus melanocephalus (Linnaeus, 1758)	C_mel	–	–	–	–	–	3	–	–	1	–	–	–	–	2	13	–	–	–	–	–	4	–	–	1	–	–	1	–	–	–	–	–	–	0	2	23
Calosoma inquisitor (Linnaeus, 1758)	C_inq	–	–	–	–	–	–	–	–	–	–	–	–	–	–	–	–	–	–	1	–	–	–	–	–	–	–	–	–	–	–	–	–	–	1	0	0
Carabus coriaceus (Linnaeus, 1758)	C_cor	–	–	–	–	–	–	–	–	–	–	–	–	–	–	–	–	–	–	–	–	1	–	1	2	–	–	5	–	–	2	–	–	3	0	1	13
Carabus hortensis (Linnaeus, 1758)	C_hor	–	–	–	5	–	2	–	–	–	–	–	–	–	1	2	–	–	–	–	–	–	–	–	–	–	–	–	1	–	–	–	2	2	6	3	6
Carabus ullrichii (Germar, 1824)	C_ull	–	–	–	–	–	–	–	–	–	–	–	–	–	–	–	–	–	–	–	–	–	–	–	–	–	–	–	–	–	1	–	–	–	0	0	1
Carabus violaceus (Linnaeus, 1758)	C_vio	1	–	1	47	5	29	14	1	9	1	–	–	12	1	7	16	–	5	13	2	31	81	31	188	116	32	202	71	67	142	217	88	231	589	227	845
Cicindela hybrida (Linnaeus, 1758)	C_hyb	1	–	–	–	–	–	–	–	–	–	–	–	–	–	–	–	–	–	–	–	–	–	–	–	–	–	–	–	–	–	–	–	–	1	0	0
Clivina fossor (Linnaeus, 1758)	C_fos	–	–	–	–	–	–	–	–	–	–	–	–	–	–	–	–	1	–	–	–	–	–	–	–	–	–	–	–	–	–	–	–	–	0	1	0
Cryptophonus melancholicus (Dejean, 1829)	Cr_mel	–	–	–	–	–	–	–	–	–	–	–	1	–	–	–	–	–	1	–	–	–	–	–	–	–	–	–	–	–	–	–	–	–	0	0	2
Cychrus caraboides (Linnaeus, 1758)	C_car	–	–	–	–	–	–	–	–	–	–	–	–	–	–	–	–	–	–	–	–	–	–	–	1	–	–	–	–	–	–	–	–	–	0	0	1
Cymindis angularis (Gyllenhal, 1810)	C_ang	–	–	–	–	–	–	–	–	–	–	–	–	–	1	10	–	–	–	–	1	–	–	–	–	–	–	–	–	–	–	–	–	1	0	2	11

Pokračování tab. 2. Část II (III).

Carabidae	Akronym	PO_01			PO_02			PO_03			PO_04			PO_05			PO_06			PO_07			PO_08			PO_09			PO_10			PO_11			Σ		
		2013	2014	2015	2013	2014	2015	2013	2014	2015	2013	2014	2015	2013	2014	2015	2013	2014	2015	2013	2014	2015	2013	2014	2015	2013	2014	2015	2013	2014	2015	2013	2014	2015	2013	2014	2015
Cymindis humeralis (Geoffroy in Fourcroy, 1785)	C_hum	–	–	–	–	–	1	–	–	–	–	–	–	–	–	1	–	–	1	–	–	–	–	1	1	–	–	1	–	1	7	2	–	2	2	2	14
Demetrias monostigma (Samouelle, 1819)	D_mon	–	–	–	–	–	–	–	–	–	–	–	–	–	–	–	–	–	1	–	–	–	–	–	–	–	–	–	–	–	–	–	–	–	0	0	1
Dolichus halensis (Schaller, 1783)	D_hal	–	–	–	–	1	–	–	2	2	–	–	–	–	–	–	–	–	–	–	–	1	–	–	–	–	–	–	–	–	–	–	–	–	0	3	3
Dromius quadrimaculatus (Linnaeus, 1758)	D_qua	–	–	–	–	–	–	–	–	–	–	–	–	1	–	1	–	–	–	–	–	–	–	–	–	–	–	–	–	–	–	–	–	–	1	0	1
Harpalus affinis (Schrank, 1781)	H_aff	5	12	46	–	–	–	–	–	3	–	11	48	1	–	–	–	–	1	–	–	–	–	–	–	–	–	–	–	–	–	–	–	–	6	23	98
Harpalus anxius (Duftschmid, 1812)	H_anx	–	–	–	–	–	–	–	–	–	–	–	–	–	1	–	–	–	–	–	–	–	–	–	–	–	–	–	–	–	–	–	–	–	0	1	0
Harpalus atratus (Latreille, 1804)	H_atr	1	–	1	–	–	1	–	–	–	–	–	–	2	–	–	–	–	–	–	–	1	–	–	–	1	–	–	–	–	–	–	–	–	4	0	3
Harpalus autumnalis (Duftschmid, 1812)	H_aut	–	–	1	–	–	–	–	4	2	–	2	4	20	12	14	–	–	1	–	–	2	–	–	–	–	–	–	–	–	–	–	–	–	20	18	24
Harpalus distinguendus (Duftschmid, 1812)	H_dis	–	54	14	–	–	–	–	1	–	–	12	26	–	–	–	–	–	–	–	–	–	–	–	–	–	–	–	1	–	–	–	–	–	1	67	40
Harpalus flavescens (Piller & Mitterpacher, 1783)	H_fla	–	–	–	–	–	–	–	–	–	–	77	77	–	–	–	–	–	–	–	–	–	–	–	–	–	–	–	–	–	–	–	–	–	0	77	77
Harpalus honestus (Duftschmid, 1812)	H_hon	1	–	–	–	–	–	–	–	–	–	–	–	1	–	–	–	–	–	–	–	–	–	–	–	–	–	–	–	–	–	–	–	–	2	0	0
Harpalus laevipes (Zetterstedt, 1828)	H_qua	–	1	2	–	–	–	–	–	–	–	–	–	–	–	–	–	–	–	–	–	–	–	–	–	–	–	–	–	–	–	–	–	–	0	1	2
Harpalus latus (Linnaeus, 1758)	H_lat	–	–	–	–	–	1	–	–	–	–	–	–	–	–	–	–	1	–	–	–	2	–	1	–	–	–	–	–	–	–	–	–	–	0	2	3
Harpalus luteicornis (Duftschmid, 1812)	H_lut	–	–	1	–	2	1	–	–	1	–	–	–	–	–	3	–	–	–	–	–	–	–	1	1	–	–	1	–	–	–	–	–	–	0	3	8
Harpalus pumilus (Sturm, 1818)	H_pum	–	–	–	–	–	–	–	–	–	–	–	1	–	–	–	–	–	–	–	–	–	–	–	–	–	–	–	–	–	–	–	–	–	0	0	1
Harpalus rubripes (Duftschmid, 1812)	H_rub	2	3	35	2	3	18	15	4	6	–	1	9	47	3	9	2	–	3	1	–	7	–	–	2	1	2	2	–	–	–	–	–	–	70	16	91
Harpalus rufipalpis (Sturm, 1818)	H_ruf	13	128	342	1	13	67	20	34	137	–	1	39	71	73	198	2	3	41	–	1	36	–	–	3	–	–	6	–	–	–	–	–	–	107	253	869
Harpalus servus (Duftschmid, 1812)	H_ser	–	–	–	–	–	–	1	–	–	–	–	–	1	–	–	–	–	–	–	–	–	–	–	–	–	–	–	–	–	–	–	–	–	2	0	0
Harpalus signaticornis (Duftchmid, 1812)	H_sig	–	1	–	–	–	–	–	–	–	–	–	–	–	–	–	–	–	–	–	–	–	–	–	–	–	–	–	–	–	–	–	–	–	0	1	0
Harpalus smaragdinus (Duftchmid, 1812)	H_sma	–	14	20	1	2	–	12	6	1	–	–	3	17	4	–	1	–	–	2	–	–	1	–	–	1	–	–	1	–	–	–	–	–	36	26	24
Harpalus tardus (Panzer, 1797)	H_tar	–	1	3	–	2	27	–	10	33	–	–	–	–	17	8	–	2	7	–	–	–	–	2	–	–	1	2	–	–	–	–	5	–	0	40	80
Chlaenius tristis (Schaller, 1783)	Ch_tri	–	–	–	–	–	–	1	–	–	–	–	–	–	–	–	–	–	–	–	–	–	–	–	–	–	–	–	–	–	–	–	–	–	1	0	0
Leistus ferrugineus (Linnaeus, 1758)	L_fer	–	–	–	–	4	12	1	6	1	–	–	–	–	2	2	1	5	14	–	3	–	2	5	1	5	–	5	3	1	–	1	–	–	13	26	35
Leistus rufomarginatus (Duftschmid, 1812)	L_ruf	–	–	–	–	–	–	–	–	–	–	–	–	–	1	–	–	–	–	–	–	–	1	–	–	–	–	–	–	–	–	–	–	–	1	1	0
Masoreus wetterhallii (Gyllenhal, 1813)	M_wet	–	–	–	–	–	–	–	–	–	–	–	–	–	–	–	–	–	–	–	–	–	–	–	–	–	–	–	–	–	1	–	–	–	0	0	1
Metallina lampros (Herbst, 1784)	B_lam	–	–	–	–	–	2	–	1	5	–	–	–	–	–	1	–	–	9	–	–	3	–	–	–	–	1	–	–	–	–	–	–	–	–	0	2	20
Metallina properans (Stephens, 1828)	B_pro	–	–	–	–	–	–	–	–	–	–	–	–	1	–	–	–	–	–	–	–	–	–	–	–	–	–	–	–	–	–	–	–	–	1	0	0
Microlestes maurus (Sturm, 1827)	M_mau	–	–	–	–	–	–	–	–	–	–	1	–	–	–	–	–	–	–	–	–	–	–	–	–	–	–	–	–	–	–	–	–	–	0	1	0
Microlestes minutulus (Goeze, 1777)	M_min	–	1	1	–	–	–	–	–	–	10	6	1	–	–	–	–	–	–	–	–	–	–	–	–	–	–	–	–	–	–	–	–	–	10	7	2
Nebria brevicollis (Fabricius, 1792)	N_bre	–	–	1	–	–	4	–	–	–	–	–	–	–	–	11	–	–	–	–	–	–	–	–	–	–	1	1	–	–	2	–	–	1	0	1	20
Notiophilus biguttatus (Fabricius, 1779)	N_big	–	–	–	16	15	2	2	15	2	11	–	–	4	3	1	11	19	4	6	16	4	1	10	–	3	9	1	–	6	2	–	8	–	54	101	16
Notiophilus germinyi (Fauvel in Grenier, 1863)	N_ger	–	–	–	1	1	1	2	1	1	–	–	–	1	–	–	1	2	1	1	1	–	–	–	1	1	–	–	–	–	–	–	–	–	7	5	4
Notiophilus palustris (Duftschmid, 1812)	N_pal	–	–	–	–	2	–	–	1	–	–	–	–	–	–	–	–	1	–	–	–	–	2	1	1	–	–	–	–	–	1	–	–	–	2	5	2
Notiophilus pusillus (Dejean, 1826)	N_pus	–	–	–	–	7	1	–	2	–	–	–	–	3	–	1	–	3	–	–	3	–	–	–	–	–	–	–	–	–	–	–	–	–	3	15	2
Oxypselaphus obscurus (Herbst, 1784)	O_obs	2	–	–	1	–	2	2	1	1	1	–	–	1	–	–	2	5	8	2	–	–	7	11	14	55	45	50	5	4	9	–	4	1	78	70	85
Panagaeus bipustulatus (Fabricius, 1775)	P_bip	–	–	–	–	–	–	–	1	–	–	–	–	–	–	–	–	–	–	–	–	–	–	–	–	–	–	–	–	–	–	–	–	–	0	1	0
Phyla obtusa (Audinet-Serville, 1821)	B_obt	–	–	–	–	–	–	–	–	–	1	–	–	–	–	–	–	–	–	–	–	–	–	–	–	–	–	–	–	–	–	–	–	–	1	0	0
Poecilus cupreus (Linnaeus, 1758)	P_cup	1	–	4	–	1	–	3	–	–	5	1	3	1	1	–	3	–	4	4	–	–	–	–	1	1	–	1	–	–	–	2	–	–	20	3	13

Pokračování tab. 2. Část III (III).

Carabidae	Akronym	PO_01			PO_02			PO_03			PO_04			PO_05			PO_06			PO_07			PO_08			PO_09			PO_10			PO_11			Σ		
		2013	2014	2015	2013	2014	2015	2013	2014	2015	2013	2014	2015	2013	2014	2015	2013	2014	2015	2013	2014	2015	2013	2014	2015	2013	2014	2015	2013	2014	2015	2013	2014	2015	2013	2014	2015
Poecilus lepidus (Leske, 1785)	P_lep	–	–	1	–	–	–	1	–	–	–	–	–	–	–	–	–	–	–	–	–	–	–	–	–	–	–	–	–	–	–	–	–	1	0	1
Poecilus versicolor (Sturm, 1824)	P_ver	–	–	–	–	–	2	–	–	–	–	1	1	–	1	–	–	–	–	–	–	–	–	–	–	–	–	–	–	–	–	–	–	–	0	2	3
Pseudoophonus griseus (Panzer, 1797)	P_gri	2	22	7	2	10	11	–	11	19	–	8	2	31	11	14	3	–	22	–	3	10	–	–	–	–	–	1	–	–	–	–	–	–	38	65	86
Pseudoophonus rufipes (DeGeer, 1774)	P_ruf	77	211	72	244	130	132	15	308	218	4	139	55	118	255	137	98	51	248	167	94	283	5	12	12	13	19	28	–	3	3	2	–	2	743	1222	1190
Pterostichus melanarius (Illiger, 1798)	P_mel	–	1	–	–	–	–	–	–	–	–	–	–	–	–	–	–	–	–	–	–	–	–	–	–	–	–	–	–	–	–	–	–	–	0	1	0
Pterostichus niger (Schaller, 1783)	P_nig	–	–	–	–	1	–	–	–	–	–	–	–	–	–	–	–	–	–	1	–	–	–	–	–	–	–	1	–	–	–	–	–	1	1	2	2	2	3
Pterostichus oblongopunctatus (Fabricius, 1787)	P_obl	2	–	–	60	25	14	13	1	2	–	–	–	6	1	–	4	–	4	13	3	1	84	94	42	90	81	85	130	78	52	157	71	26	559	354	226
Pterostichus quadrifoveolatus (Letzner, 1852)	P_qua	7	–	–	94	132	84	116	69	80	34	1	–	4	5	1	35	30	77	194	146	222	2	1	19	2	3	6	2	3	4	–	1	–	490	391	493
Pterostichus strenuus (Panzer, 1797)**	P_str	–	–	–	–	–	–	–	–	–	–	–	–	–	–	–	–	–	–	–	–	–	1	–	–	–	–	1	–	–	–	–	–	–	1	0	1
Stenolophus mixtus (Herbst, 1784)	S_mix	–	–	1	–	–	–	–	–	–	–	–	–	–	–	–	–	–	–	–	–	–	–	–	–	–	–	–	–	–	–	–	–	–	0	0	1
Stomis pumicatus (Panzer, 1796)	S_pum	–	–	–	–	–	–	–	–	–	–	–	–	–	–	–	–	–	–	–	–	–	–	–	–	1	–	–	–	–	–	–	–	–	1	0	0
Syntomus foveatus (Geoffroy in Fourcroy, 1785)	S_fov	–	–	1	–	–	–	–	–	1	–	–	–	3	–	1	–	–	–	–	–	–	–	–	–	–	–	–	–	–	–	–	–	–	3	0	3
Syntomus pallipes (Dejean, 1825)	S_pal	–	–	–	–	–	–	–	–	1	–	2	–	–	1	–	–	–	–	–	–	2	–	–	–	–	–	–	–	–	–	–	–	–	0	3	3
Syntomus truncatellus (Linnaeus, 1761)*	S_tru	–	–	–	–	–	–	–	–	1	–	–	–	–	1	1	–	–	1	–	–	–	–	–	–	–	–	–	–	–	–	–	–	–	0	1	3
Synuchus vivalis (Illiger, 1798)	S_viv	–	–	–	–	–	1	–	–	–	–	–	–	–	–	–	–	–	–	–	–	–	–	–	1	–	–	–	1	1	–	–	–	–	1	1	2
Trechus quadristriatus (Schrank, 1781)	T_qua	–	5	6	–	1	–	–	–	4	–	46	1	–	–	1	–	–	1	–	–	1	–	–	–	–	1	–	–	–	–	–	–	–	0	53	14
Celkový počet jedinců		**124**	**484**	**657**	**481**	**370**	**607**	**227**	**501**	**786**	**69**	**364**	**353**	**488**	**475**	**1227**	**207**	**159**	**630**	**415**	**327**	**813**	**222**	**251**	**433**	**317**	**277**	**554**	**230**	**170**	**320**	**452**	**184**	**501**	**7258**	**7590**	**10911**
Celkový počet druhů		**18**	**18**	**26**	**15**	**22**	**35**	**18**	**24**	**36**	**10**	**22**	**25**	**30**	**30**	**35**	**18**	**17**	**30**	**17**	**18**	**28**	**15**	**16**	**23**	**15**	**12**	**26**	**11**	**12**	**15**	**10**	**10**	**14**	**51**	**62**	**75**

Tab. 3: Výsledky permutačního testu vyjadřující signifikantní (*; p <0,05) nebo nesignifikantní (ns; p>0,05) rozdíl mezi vypočteným indexem diverzity (H = Shannon, 1-D = Simpson, BP = Bereger-Parker) v rámci jednotlivých let šetření (2013, 2014, 2015). Porovnávány byly všechny roky šetření navzájem, tzn. 2013 x 2014; 2013 x 2015; 2014 x 2015. Výpočty signifikance byly aplikovány na celé společenstvo střevlíkovitých a na ekologické skupiny druhů čeledi Carabidae dle tolerance k zastínění (L – stínomilné druhy; I – druhy indiferentní; O – druhy světlomilné) a vlhkosti (I – druhy indiferentní; S – druhy suchomilné).

Carabidae		Celé společenstvo			Druhy dle tolerance k zastínění stanoviště									Druhy dle tolerance k vlhkosti stanoviště					
					L			I			O			I			S		
		H	1-D	BP	H	1-D	BP	H	1-D	BP	H	1-D	BP	H	1-D	BP	H	1-D	BP
PO_01	2013 2014	ns	*	*	—	—	—	ns	ns	ns	ns	*	*	*	ns	ns	ns	ns	ns
	2013 2015	ns	*	*	—	—	—	ns	ns	ns	*	*	*	ns	ns	ns	ns	ns	ns
	2014 2015	*	ns	*	—	—	—	ns	ns	ns	*	ns	*	ns	*	*	*	*	ns
PO_02	2013 2014	*	*	*	ns	ns	ns	ns	ns	ns	*	*	*	ns	ns	*	ns	ns	ns
	2013 2015	*	*	*	ns	ns	ns	*	*	*	*	*	*	*	*	*	ns	ns	ns
	2014 2015	*	*	*	ns	ns	ns	ns	ns	ns	*	*	*	*	*	*	*	*	*
PO_03	2013 2014	*	*	*	ns	*	ns	ns	ns	ns	ns	*	ns	*	*	*	*	*	*
	2013 2015	*	*	*	ns	ns	ns	ns	ns	ns	*	*	*	*	*	ns	*	*	*
	2014 2015	*	*	*	ns	ns	ns	ns	ns	ns	*	*	*	*	*	*	ns	ns	ns
PO_04	2013 2014	ns	*	ns	—	—	—	ns	ns	ns	*	*	*	*	*	*	*	*	*
	2013 2015	*	*	*	—	—	—	ns	ns	ns	*	*	*	ns	ns	*	*	*	*
	2014 2015	*	*	*	—	—	—	ns	ns	ns	*	*	*	*	*	*	*	*	*
PO_05	2013 2014	*	*	*	ns	ns	ns	ns	ns	ns	*	*	*	*	*	*	*	*	*
	2013 2015	*	*	*	ns	ns	ns	ns	ns	ns	*	*	*	ns	ns	ns	*	*	*
	2014 2015	ns	ns	ns	ns	ns	ns	ns	ns	ns	ns	ns	ns	*	*	*	*	*	*
PO_06	2013 2014	ns	*	*	ns	ns	ns	ns	ns	ns	*	*	*	ns	*	*	ns	ns	ns
	2013 2015	*	*	ns	ns	ns	ns	ns	ns	ns	*	*	*	ns	ns	ns	ns	ns	ns
	2014 2015	ns	ns	ns	*	*	*	ns	ns	ns	ns	ns	ns	ns	*	*	ns	ns	ns
PO_07	2013 2014	*	*	ns	*	*	*	ns	ns	ns	*	*	ns	*	*	ns	ns	ns	ns
	2013 2015	*	*	*	ns	ns	ns	ns	ns	ns	*	*	*	*	*	ns	ns	ns	ns
	2014 2015	*	*	*	ns	ns	ns	ns	ns	ns	*	*	*	ns	ns	ns	ns	ns	ns
PO_08	2013 2014	*	*	ns	*	*	ns	ns	ns	ns	ns	ns	ns	*	*	ns	ns	ns	ns
	2013 2015	*	ns	ns	*	*	*	ns	ns	ns	ns	ns	ns	ns	ns	*	ns	ns	ns
	2014 2015	ns	ns	*	ns	ns	ns	ns	ns	ns	*	*	*	ns	*	*	ns	ns	ns
PO_09	2013 2014	ns	*	*	ns	ns	ns	ns	ns	ns	*	*	*	ns	*	*	ns	ns	ns
	2013 2015	*	*	ns	ns	ns	ns	ns	ns	ns	ns	ns	ns	ns	ns	ns	ns	ns	ns
	2014 2015	*	ns	*	ns	ns	ns	ns	ns	ns	*	*	*	ns	ns	*	ns	ns	ns
PO_10	2013 2014	ns	ns	*	ns	*	ns	ns	ns	ns	ns	ns	*	ns	*	*	*	*	*
	2013 2015	*	*	*	*	*	*	ns	ns	ns	ns	*	*	ns	ns	ns	ns	ns	ns
	2014 2015	ns	*	ns	ns	ns	ns	ns	ns	ns	*	*	*	ns	*	*	*	*	*
PO_11	2013 2014	ns	ns	ns	*	*	*	ns	ns	ns	ns	*	*	*	*	ns	ns	ns	ns
	2013 2015	ns	*	ns	*	*	*	ns	ns	ns	ns	ns	ns	*	*	*	ns	ns	ns
	2014 2015	ns	ns	ns	ns	ns	ns	ns	ns	ns	*	*	*	*	*	*	ns	ns	ns

Tab. 4: Hodnoty celkové abundance a celkové druhové bohatosti řádu Araneae na TVP v rámci let 2013 a 2014. Dále jsou uvedeny hodnoty abundance, druhové bohatosti a dominance skupin druhů řádu Araneae tříděných dle habitatové preference, tolerance k zastínění a vlhkosti stanoviště. Do vypočtených hodnot nebyly zahrnuty abundance a počty druhů odebraných v období 1. 3. 2014—2. 4. 2014 (tyto druhy jsou označeny v tab. 5). Druhům *Gnaphosa modestior* a *Megaleptyphantes nebulosus* nebyly přiřazeny ekologické hodnoty, proto nebyly do výpočtů zahrnuty. Část I (II).

	PO_01		PO_02		PO_03		PO_04		PO_05		PO_06		PO_07		PO_08		PO_09		PO_10		PO_11		Σ	
Araneae	2013	2014	2013	2014	2013	2014	2013	2014	2013	2014	2013	2014	2013	2014	2013	2014	2013	2014	2013	2014	2013	2014	2013	2014
Celkové počty																								
Celkový počet druhů	30	26	43	42	40	42	33	23	39	47	52	38	36	37	49	36	49	42	46	33	45	35	126	105
Celková abundance	354	356	467	696	473	596	331	394	382	310	671	673	520	894	1313	887	1234	1105	690	498	811	494	7246	6903
Preference habitatu																								
Abundance druhů lesních	4	11	195	402	156	229	57	15	122	137	178	331	151	441	624	469	636	599	147	151	182	124	2452	2909
Abundance druhů indiferentních	96	81	218	273	288	337	119	271	196	127	487	323	366	438	678	407	587	452	540	319	607	353	4182	3381
Abundance druhů otevřených stanovišť	254	264	54	21	29	30	155	108	64	46	6	19	3	15	11	11	11	54	3	28	22	17	612	613
Počet druhů lesních	3	2	14	11	9	4	6	3	8	6	12	8	7	8	14	13	18	13	9	11	12	8	29	23
Počet druhů indiferentních	17	16	24	27	24	28	19	14	21	30	35	22	26	24	33	22	27	26	34	19	28	25	68	60
Počet druhů otevřených stanovišť	10	8	5	4	7	10	8	6	10	11	5	8	3	5	2	1	4	3	3	3	5	2	29	22
Dominance druhů lesních	10	7,69	32,6	26,2	22,5	9,52	18,2	13	20,5	12,8	23,1	21,1	19,4	21,6	28,6	36,1	36,7	31	19,6	33,3	26,7	22,9	23,02	21,9
Dominance druhů indiferentních	56,7	61,5	55,8	64,3	60	66,7	57,6	60,9	53,8	63,8	67,3	57,9	72,2	64,9	67,3	61,1	55,1	61,9	73,9	57,6	62,2	71,4	53,97	57,14
Dominance druhů otevřených stanovišť	33,3	30,8	11,6	9,52	17,5	23,8	24,2	26,1	25,6	23,4	9,62	21,1	8,33	13,5	4,08	2,78	8,16	7,14	6,52	9,09	11,1	5,71	23,02	20,95
Tolerance k zastínění																								
Abundance druhů 1-1,5	259	268	62	35	78	55	162	261	93	55	51	34	31	21	69	48	90	103	22	20	42	35	959	935
Abundance druhů 2-2,5	27	68	134	150	140	82	42	61	93	88	273	131	253	184	520	320	392	321	394	250	511	251	2779	1906
Abundance druhů 3-4	68	19	269	498	253	452	127	72	196	164	334	487	232	676	723	514	750	674	274	218	258	208	3484	3982
Počet druhů 1-1,5	12	10	5	7	10	15	10	8	12	14	5	9	7	8	6	3	6	5	5	3	7	4	32	26
Počet druhů 2-2,5	12	11	17	15	16	16	9	8	15	23	27	16	16	16	21	17	20	19	22	15	19	16	44	40
Počet druhů 3-4	6	4	20	18	13	10	14	7	12	9	19	12	12	12	21	15	22	17	19	14	19	15	49	37
Dominance druhů 1-1,5	40	38,5	11,6	16,7	25	35,7	30,3	34,8	30,8	29,8	9,62	23,7	19,4	21,6	12,2	8,33	12,2	11,9	10,9	9,09	15,6	11,4	25,4	25,24
Dominance druhů 2-2,5	40	42,3	39,5	35,7	40	38,1	27,3	34,8	38,5	48,9	51,9	42,1	44,4	43,2	42,9	47,2	40,8	45,2	47,8	45,5	42,2	45,7	34,92	38,83
Dominance druhů 3-4	20	15,4	46,5	42,9	32,5	23,8	42,4	30,4	30,8	19,1	36,5	31,6	33,3	32,4	42,9	41,7	44,9	40,5	41,3	42,4	42,2	42,9	38,89	35,92

Pokračování tab. 4. Část II (II).

Araneae	PO_01		PO_02		PO_03		PO_04		PO_05		PO_06		PO_07		PO_08		PO_09		PO_10		PO_11		Σ	
	2013	2014	2013	2014	2013	2014	2013	2014	2013	2014	2013	2014	2013	2014	2013	2014	2013	2014	2013	2014	2013	2014	2013	2014
Tolerance k vlhkosti																								
Abundance druhů 1-1,5	258	273	15	14	43	52	147	101	70	74	18	34	10	38	15	14	18	9	14	6	9	4	617	619
Abundance druhů 2-2,5	31	51	311	501	373	474	107	184	241	218	484	557	394	803	1099	771	1107	913	477	307	480	304	5104	5083
Abundance druhů 3-3,5	64	31	139	168	55	63	75	109	71	15	155	61	112	40	198	97	107	176	199	175	321	186	1496	1121
Abundance druhů 4-4,5	–	–	–	–	–	–	2	–	–	–	1	–	–	–	–	–	–	–	–	–	–	–	3	–
Abundance druhů 5	1	–	–	–	–	–	–	–	–	–	–	–	–	–	–	–	–	–	–	–	1	–	2	–
Počet druhů 1-1,5	9	12	5	6	10	13	9	6	13	18	10	10	7	4	3	3	5	5	4	2	2	3	26	26
Počet druhů 2-2,5	13	10	21	22	18	20	14	10	16	20	22	17	16	23	23	20	28	20	23	15	18	14	49	44
Počet druhů 3-3,5	7	3	16	12	11	8	8	7	10	8	18	10	12	9	22	12	15	16	19	15	24	18	45	33
Počet druhů 4-4,5	–	–	–	–	–	–	2	–	–	–	1	–	–	–	–	–	–	–	–	–	–	–	3	–
Počet druhů 5	1	–	–	–	–	–	–	–	–	–	–	–	–	–	–	–	–	–	–	–	1	–	2	–
Dominance druhů 1-1,5	30	46,2	11,9	14,3	25	31	27,3	26,1	33,3	38,3	19,2	26,3	19,4	10,8	6,12	8,33	10,2	11,9	8,7	6,06	4,44	8,57	20,63	25,24
Dominance druhů 2-2,5	43,3	38,5	48,8	52,4	45	47,6	42,4	43,5	41	42,6	42,3	44,7	44,4	62,2	46,9	55,6	57,1	47,6	50	45,5	40	40	38,89	42,72
Dominance druhů 3-3,5	23,3	11,5	37,2	28,6	27,5	19	24,2	30,4	25,6	17	34,6	26,3	33,3	24,3	44,9	33,3	30,6	38,1	41,3	45,5	53,3	51,4	35,71	32,04
Dominance druhů 4-4,5	–	–	–	–	–	–	6,06	–	–	–	1,92	–	–	–	–	–	–	–	–	–	–	–	2,381	–
Dominance druhů 5	3,33	–	–	–	–	–	–	–	–	–	–	–	–	–	–	–	–	–	–	–	2,22	–	1,587	–

Tab. 5: Araneae – přehled druhů a jejich abundancí zachycených do ZP na požářišti Bzenec v letech 2013 a 2014 (* druh byl zachycen v období mezi 1. 3. 2014 a 2. 4. 2014). Část I (V).

Araneae	Akronym	PO_01		PO_02		PO_03		PO_04		PO_05		PO_06		PO_07		PO_08		PO_09		PO_10		PO_11		Σ	
		2013	2014	2013	2014	2013	2014	2013	2014	2013	2014	2013	2014	2013	2014	2013	2014	2013	2014	2013	2014	2013	2014	2013	2014
Agelenidae																									
Agelena gracilens (C.L.Koch, 1841)	A_gra	–	–	–	–	–	–	–	–	–	–	–	–	–	–	–	–	1	–	–	–	–	–	1	–
Agelena labyrinthica (Clerck, 1757)	A_lab	–	–	1	–	–	–	–	–	–	–	–	–	–	–	–	2	4	1	–	–	2	–	7	3
Tegenaria campestris (C. L. Koch, 1834)	T_cam	–	–	1	–	2	–	–	–	–	–	1	–	1	–	4	–	1	–	–	–	3	–	13	0
Tegenaria silvestris (L. Koch, 1872)	T_sil	–	–	–	3	–	1	–	–	–	–	–	–	–	–	–	1	–	–	–	–	–	4	–	9
Araneidae																									
Araneus diadematus (Clerck, 1758)	A_dia	–	–	–	–	–	–	–	–	–	–	–	–	–	–	–	–	–	2	–	–	–	–	–	2
Araneus marmoreus (Clerck, 1757)	A_mar	–	–	–	–	–	–	–	–	–	–	–	–	–	–	–	–	–	1	–	–	–	–	–	1
Araniella cucurbitina (Clerck, 1757)	A_cuc	–	–	–	–	–	–	–	–	–	1	1	–	–	–	–	–	–	–	–	–	–	–	1	1
Cercidia prominens (Westring, 1851)	C_pro	–	–	–	–	–	–	–	–	–	–	–	–	–	–	2	–	1	–	1	–	1	1	5	1
Hypsosinga pygmaea (Sundevall, 1831)	H_pyg	–	–	–	–	–	1	–	–	–	–	–	–	–	–	–	–	–	–	–	–	–	–	–	1
Hypsosinga sanquinea (C. L. Koch, 1844)	H_san	1	–	–	–	–	–	–	–	–	–	–	–	–	–	–	–	–	–	–	–	–	–	1	–
Mangora acalypha (Walckenaer, 1802)	M_aca	–	–	–	–	–	10	–	–	–	–	10	–	10	–	–	–	–	–	–	–	–	–	20	10
Zilla diodia (Walckenaer, 1802)	Z_dio	–	–	–	–	–	–	–	–	–	–	–	–	–	–	–	–	–	–	–	–	1	–	1	–
Clubionidae																									
Clubiona genevensis (L. Koch, 1866)	C_gen	–	–	–	–	–	–	–	–	–	–	–	1	–	–	–	–	–	–	–	–	–	–	–	1
Clubiona lutescens (Westring, 1851)	C_lut	–	–	–	–	–	–	–	–	–	–	–	–	–	–	1	–	–	–	–	–	–	–	1	–
Clubiona neglecta (O.P.-Cambridge, 1862)	C_neg	–	–	–	–	–	–	–	–	–	1	–	–	–	–	–	–	–	–	–	–	–	–	–	1
Clubiona pallidula (Clerck, 1757)	C_pal	–	–	1	1	–	–	–	–	1	–	–	–	–	–	–	–	–	–	–	–	–	–	2	1
Clubiona subtilis (L. Koch, 1867)	C_sub	–	–	–	–	–	–	1	–	–	–	–	–	–	–	–	–	–	–	–	–	–	–	1	–
Clubiona terrestris (Westring, 1851)	C_ter	–	–	–	–	–	–	–	–	–	–	–	–	–	–	–	–	1	–	–	–	–	–	1	–
Dictynidae																									
Cicurina cicur (Fabricius, 1793)	C_cic	–	–	–	1	–	–	–	–	–	–	1	1	–	3	–	2	1	5	–	2	2	2	4	16
Dysderidae																									
Harpactea rubicunda (C. L. Koch, 1838)	H_rub	–	–	5	11	4	3	–	–	1	–	1	–	1	1	83	60	40	53	124	115	140	98	399	341
Gnaphosidae																									
Berlandina cinerea (Menge, 1872)	B_cin	–	–	–	–	–	–	1	1	3	9	–	–	–	–	–	–	–	–	–	–	–	–	4	10
Callilepis nocturna (Linnaeus, 1758)	C_noc	6	8	–	–	7	3	1	3	4	4	1	2	–	–	–	–	–	1	–	–	–	–	19	21
Drassodes cupreus (Blackwall, 1834)	D_cup	–	–	–	–	–	–	–	–	1	–	–	–	–	–	–	–	–	–	–	–	–	–	1	–
Drassodes lapidosus (Walckenaer, 1802)	D_lap	–	1	–	–	–	1	–	–	–	1	–	–	–	–	–	–	–	–	–	–	–	–	–	3
Drassodes pubescens (Thorell, 1856)	D_pub	–	–	1	–	–	2	–	–	–	3	1	1	–	–	1	–	4	2	1	–	–	1	8	9
Drassyllus lutetianus (L. Koch, 1866)	D_lut	–	–	–	–	–	–	1	–	–	–	–	–	–	–	–	–	–	–	–	–	–	–	1	–
Drassyllus praeficus (L. Koch, 1866)	D_pra	–	1	1	1	–	–	–	–	7	8	–	–	3	–	–	–	–	–	–	–	–	–	11	10
Drassyllus pusillus (C. L. Koch, 1833)	D_pus	–	–	1	–	4	2	–	–	–	5	1	1	–	2	–	–	1	1	–	–	–	–	7	11
Gnaphosa modestior (Kulczyński, 1897)	G_mod	–	1	2	3	2	7	–	–	–	3	13	21	4	13	1	5	2	7	–	–	–	–	24	60
Haplodrassus signifer (C. L. Koch, 1839)	H_sig	–	1	–	1	2	12	–	–	1	3	–	–	–	–	–	–	–	–	1	1	–	–	4	18
Haplodrassus silvestris (Blackwall, 1833)	H_sil	–	–	–	–	–	1	–	–	–	–	–	–	–	–	–	–	1	–	–	–	–	–	1	1

Pokračování tab. 5. Část II (V).

Araneae	Akronym	PO_01		PO_02		PO_03		PO_04		PO_05		PO_06		PO_07		PO_08		PO_09		PO_10		PO_11		Σ	
		2013	2014	2013	2014	2013	2014	2013	2014	2013	2014	2013	2014	2013	2014	2013	2014	2013	2014	2013	2014	2013	2014	2013	2014
Gnaphosidae																									
Haplodrassus umbratilis (L. Koch, 1866)	H_umb	–	–	8	11	10	4	–	–	4	4	11	13	11	8	22	37	40	77	5	8	–	5	111	167
Kishidaia conspicua (L. Koch, 1866)	K_con	–	–	–	–	–	–	–	–	2	–	–	–	–	–	–	–	–	–	–	–	–	–	2	–
Micaria fulgens (Walckenaer, 1802)	M_ful	–	–	–	1	–	–	–	–	–	1	2	1	–	–	–	–	2	–	–	–	–	–	4	3
Scotophaeus scutulatus (L.Koch, 1866)	S_scu	–	–	–	–	–	–	–	–	–	–	–	–	–	–	–	–	–	–	1	–	–	–	1	–
Zelotes apricorum (L. Koch, 1876)	Z_apr	1	–	8	10	12	10	–	–	5	7	16	17	18	32	116	112	76	97	17	13	7	5	276	303
Zelotes electus (C. L. Koch, 1839)	Z_ele	–	1	–	–	1	4	–	–	15	12	1	–	1	1	–	–	–	–	–	–	–	–	18	18
Zelotes erebeus (Thorell, 1871)	Z_ere	5	3	45	5	41	1	1	2	26	10	54	9	71	7	119	14	87	10	38	5	43	9	530	75
Zelotes latreillei (Simon, 1878)	Z_lat	–	–	–	–	2	2	–	–	–	1	3	3	–	3	1	1	–	–	–	–	–	3	6	13
Zelotes longipes (L.Koch, 1866)	Z_lon	–	–	–	–	–	–	–	–	–	1	–	–	1	–	–	–	–	–	–	–	–	–	1	1
Zelotes petrensis (C. L. Koch, 1839)	Z_pet	2	21	7	12	19	16	–	1	16	21	21	29	26	51	8	2	5	3	1	4	4	6	109	166
Zelotes subterraneus (C. L. Koch, 1833)	Z_sub	1	–	1	–	5	–	–	–	1	–	1	–	1	–	5	–	6	–	3	–	4	–	28	–
Hahniidae																									
Hahnia nava (Blackwall, 1841)	H_nav	–	–	10	–	–	–	20	–	11	–	–	–	–	–	–	–	–	–	–	–	–	–	41	–
Linyphiidae																									
Abacoproeces saltuum (L. Koch, 1872)	A_sal	–	–	–	–	–	–	–	–	–	–	–	–	–	–	10	–	–	–	–	–	–	–	10	–
Agyneta equestris (L. Koch, 1881)	A_equ	–	–	–	–	–	–	–	–	–	–	–	–	–	–	–	–	11	–	–	–	–	–	11	–
Bathyphantes gracilis (Blackwall, 1841)	B_gra	–	–	–	–	2	–	–	–	–	–	20	–	–	–	–	–	–	–	10	–	12	–	44	–
Bathyphantes parvulus (Westring, 1851)	B_par	–	–	–	–	–	–	–	20	–	–	–	–	–	–	–	–	–	21	–	10	–	1	–	52
Bolyphantes alticeps (Sundevall, 1833)	B_alt	–	–	–	–	–	–	–	–	–	–	–	–	–	–	–	–	–	–	20	–	–	–	20	–
Centromerita bicolor (Blackwall, 1833)	C_bic	–	–	–	–	–	–	–	–	–	–	–	–	–	–	–	–	–	–	–	–	1	–	1	–
Centromerus sylvaticus (Blackwall, 1841)	C_syl	–	1	–	10	–	2	1	1	–	–	24	–	20	13	25	2	23	21	32	14	44	–	169	64
Ceratinella brevis (Wider, 1834)	C_bre	–	–	–	–	–	–	–	–	–	–	–	–	–	–	10	–	10	–	10	–	–	–	30	–
Diplocephalus cristatus (Blackwall, 1833)	D_cri	–	–	–	–	–	–	–	–	11	–	–	–	–	–	–	–	–	–	–	10	10	–	21	10
Diplocephalus picinus (Blackwall, 1841)	D_pic	–	–	10	–	–	–	–	–	–	–	–	–	–	–	20	–	–	–	–	–	–	–	30	–
Diplostyla concolor (Wider, 1834)	D_con	30	–	20	10	–	32	12	33	21	–	21	32	20	22	2	23	10	13	22	10	10	20	168	195
Entelecara acuminata (Wider, 1834)	E_acu	–	–	–	–	–	–	–	–	–	–	1	–	–	–	–	–	–	–	–	–	–	–	1	–
Entelecara flavipes (Blackwall, 1834)*	E_fla	10	–	–	–	–	–	–	–	–	–	–	–	–	–	–	–	–	–	–	–	–	11	10	11
Erigone atra (Blackwall, 1833)	E_atr	–	–	–	–	–	–	–	–	–	–	–	–	20	–	10	–	–	–	–	–	10	–	40	–
Erigone dentipalpis (Wider, 1834)	E_den	–	–	–	–	10	–	–	–	–	–	–	–	–	–	–	–	–	–	–	–	–	–	10	–
Linyphia hortensis (Sundevall, 1830)	L_hor	–	–	–	–	10	–	–	–	–	–	–	–	–	–	–	–	10	–	–	–	–	–	20	–
Linyphia triangularis (Clerck, 1757)	L_tri	–	–	–	–	–	–	–	–	–	–	–	1	–	1	–	–	–	–	–	–	–	–	–	2
Macrargus rufus (Wider, 1834)	M_ruf	–	–	–	20	–	20	–	–	–	–	–	–	–	–	–	–	–	–	–	31	–	–	–	71
Maso sundevalli (Westring, 1851)	M_sun	–	–	–	–	–	–	10	–	–	–	–	–	–	–	10	–	20	–	–	2	10	–	50	2
Megalepthyphantes nebulosus (Sundevall, 1830)	M_neb	–	–	–	10	–	–	–	–	–	–	–	–	–	–	–	–	–	–	–	10	–	–	–	20
Meioneta rurestris (C. L. Koch, 1836)	M_rur	–	–	–	60	–	–	20	20	–	–	10	–	10	22	–	10	–	10	10	–	11	20	61	142
Meioneta saxatilis (Blackwall, 1844)	M_sax	–	–	–	10	–	–	–	–	–	–	10	–	–	–	–	–	–	–	–	–	–	–	10	10
Micrargus herbigradus (Blackwall, 1854)	M_her	–	–	20	–	–	–	11	–	12	–	10	–	–	–	–	–	20	30	–	–	–	20	73	50
Micrargus subaequalis (Westring, 1851)	M_sub	–	–	–	–	–	10	–	–	–	–	–	–	–	–	–	–	–	–	–	–	–	–	–	10

Pokračování Tab. 5. Část III (V).

Araneae	Akronym	PO_01		PO_02		PO_03		PO_04		PO_05		PO_06		PO_07		PO_08		PO_09		PO_10		PO_11		Σ	
		2013	2014	2013	2014	2013	2014	2013	2014	2013	2014	2013	2014	2013	2014	2013	2014	2013	2014	2013	2014	2013	2014	2013	2014
Linyphiidae																									
Microneta viaria (Blackw all, 1841)	M_via	–	–	10	–	10	–	10	11	–	–	10	–	10	–	10	–	–	10	–	–	41	–	101	21
Neriene clathrata (Sundevall, 1830)	N_cla	–	–	–	10	–	10	–	–	–	–	–	–	–	–	23	–	–	–	–	10	–	–	23	30
Oedothorax apicatus (Blackw all, 1850)	O_api	2	–	–	42	–	12	–	164	–	–	–	–	–	15	10	64	–	10	11	–	–	16	23	323
Palliduphantes pallidus (O. P.-Cambridge, 1913)	P_pal	–	–	–	30	10	–	–	–	–	–	–	–	–	21	–	–	61	–	21	–	–	30	92	81
*Panamomops mengei (Simon, 1926)**	P_men	–	–	–	10	–	–	–	–	–	–	–	–	–	–	–	–	–	–	–	–	–	–	–	10
Pelecopsis parallela (Wider, 1834)	P_par	–	–	–	–	–	–	10	–	10	–	–	–	–	–	–	–	–	–	–	–	–	–	20	–
Pelecopsis radicicola (L. Koch, 1872)	P_rad	–	–	–	10	–	–	–	–	–	–	–	–	10	30	20	10	–	–	20	–	20	–	70	50
Pocadicnemis pumila (Blackw all, 1841)	P_pum	–	–	–	–	–	–	20	–	–	–	–	–	–	–	–	–	–	–	10	–	–	–	30	–
Porrhomma microphthalmum (O. P.-Cambridge, 1871)	P_mic	–	–	–	1	–	–	1	–	–	–	–	10	–	–	–	–	–	–	–	–	–	–	1	11
Tapinocyba insecta (L. Koch, 1869)	T_ins	–	–	–	–	–	–	–	–	–	–	–	1	–	–	–	–	–	–	10	–	–	–	10	1
Tenuiphantes flavipes (Blackw all, 1854)	T_fla	–	–	52	23	–	–	31	–	–	–	30	–	11	–	2	51	30	41	–	44	42	53	198	212
Tenuiphantes mengei (Kulczyński, 1887)	T_men	–	–	10	–	–	1	–	10	–	–	21	10	–	–	11	–	–	–	1	30	10	21	53	72
Tenuiphantes tenebricola (Wider, 1834)	T_ten	–	10	21	21	–	–	–	–	–	–	–	–	–	–	–	–	–	20	52	31	30	60	103	142
Tiso vagans (Blackw all, 1834)	T_vag	–	–	–	–	–	–	–	–	–	–	–	–	–	10	–	–	–	–	21	–	20	10	41	20
Trematocephalus cristatus (Wider, 1834)	T_cri	–	–	–	–	–	10	–	–	–	–	20	–	–	1	–	–	–	–	–	–	32	1	52	12
Walckenaeria acuminata (Blackw all, 1833)*	W_acu	–	–	–	–	–	–	–	10	–	–	–	–	–	–	–	–	–	–	–	–	–	–	–	10
Walckenaeria antica (Wider, 1834)	W_ant	–	–	20	–	–	1	–	3	–	–	–	–	11	–	20	–	–	1	–	–	51	10	102	15
Walckenaeria dysderoides (Wider, 1834)	W_dys	–	–	–	–	–	–	10	–	–	–	30	–	–	2	–	–	–	–	10	–	–	–	50	2
Walckenaeria furcillata (Menge, 1869)	W_fur	–	–	1	–	–	–	–	–	–	–	–	–	–	1	10	1	–	11	1	–	–	–	12	13
Walckenaeria monoceros (Wider, 1834)	W_mon	–	–	–	–	–	–	–	–	–	–	–	–	1	–	–	–	–	–	–	–	–	–	1	–
Liocranidae																									
Agroeca brunnea (Blackw all, 1833)	A_bru	–	–	5	2	1	–	–	–	–	–	–	1	–	–	6	2	13	6	12	7	11	5	48	23
Agroeca proxima (O. P.-Cambridge, 1871)	A_pro	1	–	–	6	–	–	–	–	1	1	–	1	–	1	1	12	7	33	1	8	9	7	20	69
Scotina celans (Blackw all, 1841)	S_cel	1	1	14	9	7	3	1	–	6	8	15	8	14	11	22	28	27	53	90	30	108	47	305	198
Lycosidae																									
Alopecosa accentuata (Latreille, 1817)	A_acc	–	–	–	–	–	–	–	–	2	8	1	–	–	–	–	–	–	–	–	–	–	2	3	10
Alopecosa aculeata (Clerck, 1757)	A_acu	–	1	–	7	–	6	–	–	–	12	–	18	–	34	–	3	–	1	–	–	–	1	–	83
Alopecosa inquilina (Clerck, 1757)	A_inq	–	–	–	–	–	–	–	–	1	–	1	2	2	2	1	1	1	2	–	–	–	–	6	7
Alopecosa taeniata (C. L. Koch, 1835)	A_tae	–	–	4	–	7	–	–	–	8	–	3	–	12	–	13	–	3	–	2	–	3	–	55	–
Alopecosa trabalis (Clerck, 1757)	A_tra	–	–	2	–	–	–	–	–	–	1	2	–	1	–	–	–	–	–	–	–	–	–	5	1
Aulonia albimana (Walckenaer, 1805)	A_alb	3	3	9	6	29	6	6	2	23	7	45	7	5	4	36	26	76	39	7	2	10	2	249	104
Pardosa agrestis (Westring, 1861)	P_agr	226	217	1	3	19	11	119	75	8	11	2	1	–	–	–	–	–	–	–	–	1	–	376	318
Pardosa bifasciata (C. L. Koch, 1834)	P_bif	1	–	–	–	–	–	–	–	–	–	–	–	–	–	–	–	–	–	–	–	–	–	1	–
Pardosa lugubris (Walckenaer, 1802)	P_lug	2	–	79	316	110	217	4	3	108	128	105	305	104	422	480	347	478	421	49	36	25	8	1544	2203
Piratula hygrophila (Thorell, 1872)	P_hyg	–	–	–	–	–	–	–	–	–	–	–	–	–	–	–	–	–	–	–	–	1	–	1	–
Piratula latitans (Blackw all, 1841)	P_lat	1	–	–	–	–	–	–	–	–	–	–	–	–	–	–	–	–	–	–	–	–	–	1	–
Trochosa ruricola (De Geer, 1778)	T_rur	–	–	–	7	8	5	–	–	–	1	2	1	1	2	–	–	2	–	–	–	–	–	13	16

Pokračování tab. 5. Část IV (V).

Araneae	Akronym	PO_01		PO_02		PO_03		PO_04		PO_05		PO_06		PO_07		PO_08		PO_09		PO_10		PO_11		Σ	
		2013	2014	2013	2014	2013	2014	2013	2014	2013	2014	2013	2014	2013	2014	2013	2014	2013	2014	2013	2014	2013	2014	2013	2014
Lycosidae																									
Trochosa terricola (Thorell, 1856)	T_ter	–	–	23	21	17	23	–	–	8	15	28	27	26	39	67	62	84	63	14	12	15	30	282	292
Xerolycosa miniata (C. L. Koch, 1834)	X_min	1	8	–	–	1	2	2	1	–	–	–	–	–	–	–	–	–	–	–	–	–	–	4	11
Xerolycosa nemoralis (Westring, 1861)	X_nem	5	7	8	8	79	164	5	2	24	14	49	97	30	153	1	2	2	3	–	–	–	–	203	450
Mimetidae																									
Ero aphana (Walckenaer, 1802)	E_aph	–	2	–	–	–	1	–	–	–	–	–	–	–	–	–	–	–	–	–	–	–	–	–	3
Ero furcata (Villers, 1789)	E_fur	–	–	–	–	–	–	–	–	–	–	–	1	–	–	–	1	–	–	–	–	1	–	1	2
Miturgidae																									
Zora nemoralis (Blackwall, 1861)	Z_nem	1	1	–	–	1	1	–	1	–	2	1	2	–	–	–	18	13	18	1	8	1	2	–	53
Zora silvestris (Kulczyński, 1897)	Z_sil	–	–	–	–	–	–	–	–	–	–	–	1	–	–	–	–	–	–	–	–	–	–	–	–
Zora spinimana (Sundevall, 1833)	Z_spi	1	1	–	1	6	6	2	1	–	2	7	5	4	3	5	7	6	11	2	11	15	17	3	65
Oxyopidae																									
Oxyopes ramosus (Martini, 1778)	O_ram	–	–	–	–	–	–	–	–	–	1	–	–	–	–	–	–	–	–	–	–	–	–	–	1
Philodromidae																									
Philodromus aureolus (Clerck, 1757)	P_aur	–	–	–	–	–	–	–	–	–	–	1	–	–	–	–	–	–	–	–	–	–	–	1	–
Philodromus cespitum (Walckenaer, 1802)	P_ces	–	–	–	–	–	–	–	–	–	1	–	–	–	–	–	–	–	–	–	–	–	–	–	1
Philodromus collinus (C. L. Koch, 1835)	P_col	–	–	–	–	–	–	–	–	–	–	–	–	2	1	2	–	3	–	2	–	–	–	9	1
Philodromus dispar (Walckenaer, 1826)	P_dis	1	–	1	–	–	–	–	–	–	1	–	–	–	2	1	1	1	2	1	1	–	–	5	7
Philodromus margaritatus (Clerck, 1757)	P_mar	–	–	–	1	–	–	–	1	–	–	–	1	–	–	–	–	–	–	–	–	–	–	–	3
Tibellus oblongus (Walckenaer, 1802)	T_obl	1	–	–	–	2	–	–	–	–	–	–	2	–	–	–	–	2	–	–	–	–	–	5	2
Pholcidae																									
Pholcus opilionoides (Schrank, 1781)	P_opi	–	–	–	–	–	1	–	–	–	–	–	–	–	–	–	–	–	–	1	–	–	–	1	1
Phrurolithidae																									
Phrurolithus festivus (C. L. Koch, 1835)	P_fes	6	2	3	2	8	11	15	11	5	4	37	30	36	38	23	18	10	22	2	5	2	–	147	143
Pisauridae																									
Pisaura mirabilis (Clerck, 1757)	P_mir	–	–	–	–	–	1	–	–	–	–	1	–	–	–	–	–	1	–	2	–	–	–	4	1
Salticidae																									
Aelurillus v-insignitus (Clerck, 1757)	A_vin	1	–	–	–	4	3	1	–	6	2	–	–	–	–	–	–	–	–	–	–	–	–	12	5
Euophrys frontalis (Walckenaer, 1802)	E_fro	–	–	–	–	–	–	–	–	–	–	–	–	–	–	–	–	–	–	1	–	–	11	1	11
Evarcha falcata (Clerck, 1757)	E_fal	–	–	1	–	–	–	–	–	–	1	–	–	–	–	1	–	–	–	–	1	–	–	2	2
Heliophanus cupreus (Walckenaer, 1802)	H_cup	–	–	–	–	–	–	–	–	–	1	–	–	–	–	1	–	–	–	–	–	–	–	1	1
Neon reticulatus (Blackwall, 1853)	N_ret	–	1	3	4	6	–	–	–	3	2	14	7	12	2	30	12	13	10	9	3	13	2	103	43
Phlegra fasciata (Hahn, 1826)	P_fas	–	–	–	–	–	–	–	–	–	1	–	–	–	–	–	–	–	–	–	–	–	–	–	1
Sitticus pubescens (Fabricius, 1775)	S_pub	–	–	–	–	1	–	–	–	–	–	–	–	–	–	–	–	–	–	–	–	–	–	1	–
Sitticus zimmermanni (Simon, 1877)	S_zim	–	–	–	–	–	–	–	–	1	–	–	–	–	–	–	–	–	–	–	–	–	–	1	–

Pokračování tab. 5. Část V (V).

Araneae	Akronym	PO_01		PO_02		PO_03		PO_04		PO_05		PO_06		PO_07		PO_08		PO_09		PO_10		PO_11		Σ	
		2013	2014	2013	2014	2013	2014	2013	2014	2013	2014	2013	2014	2013	2014	2013	2014	2013	2014	2013	2014	2013	2014	2013	2014
Tetragnathidae																									
Pachygnatha clercki (Sundevall, 1823)	P_cle	1	–	–	–	–	–	–	–	–	–	–	–	–	–	–	–	–	–	–	–	–	–	1	–
Pachygnatha listeri (Sundevall, 1830)*	P_lis	–	–	–	–	–	1	–	–	–	–	1	–	–	–	–	–	–	–	–	–	–	–	1	1
Theridiidae																									
Dipoena coracina (C. L. Koch, 1837)	D_cor	20	–	–	–	–	–	–	–	–	–	–	–	–	–	–	–	–	–	–	–	–	–	20	–
Enoplognatha latimana (Hippa a Oksala, 1982)	E_lat	–	–	1	–	–	–	–	–	–	–	–	–	–	–	–	–	–	–	–	–	10	–	11	–
Enoplognatha thoracica (Hahn, 1833)	E_tho	–	10	–	–	–	–	–	–	–	–	–	–	–	–	–	–	–	–	–	–	–	–	–	10
Episinus truncatus (Latreille, 1809)*	E_tru	–	–	–	–	–	–	–	10	–	–	–	–	–	–	–	–	–	–	–	–	–	–	–	10
Euryopis flavomaculata (C.L.Koch, 1836)	E_fla	–	20	1	–	–	–	–	20	–	1	–	–	–	–	3	20	1	10	2	30	12	20	19	121
Euryopis saukea (Levi, 1951)	E_sau	–	1	–	–	–	–	–	–	–	–	–	–	–	–	–	–	–	–	–	–	–	–	–	1
Robertus arundineti (O. P.-Cambridge, 1871)	R_aru	–	1	41	2	–	11	–	20	–	–	–	11	–	10	10	–	–	20	–	–	–	10	51	85
Robertus lividus (Blackw all, 1836)	R_liv	20	–	11	31	1	10	10	12	–	–	2	–	10	–	11	10	–	30	11	10	–	1	76	104
Robertus neglectus (O. P.-Cambridge, 1871)	R_neg	–	–	–	–	–	–	1	–	10	–	–	–	–	–	10	–	–	–	–	–	–	–	21	–
Steatoda albomaculata (De Geer, 1778)	S_alb	–	29	–	–	1	3	1	12	–	2	–	–	–	–	–	–	–	–	–	–	–	–	2	46
Thomisidae																									
Coriarachne depressa (C.L.Koch, 1837)	C_dep	–	–	–	–	–	–	–	–	–	–	–	–	–	4	–	1	1	–	–	–	1	–	2	5
Ebrechtella tricuspidata (Fabricius, 1775)	E_tri	–	–	–	–	–	–	–	–	–	–	1	–	–	–	–	–	–	–	–	–	–	–	1	–
Ozyptila atomaria (Panzer, 1801)*	O_ato	–	1	–	–	–	–	–	–	–	1	–	–	–	–	–	–	1	–	1	–	1	1	3	3
Tmarus piger (Walckenaer, 1802)	T_pig	–	–	–	–	–	–	–	–	–	1	–	–	–	–	–	–	–	–	–	–	–	–	–	1
Xysticus audax (Schrank, 1803)	X_aud	–	1	–	–	1	2	–	–	–	2	–	4	–	1	–	2	–	–	–	–	–	–	1	12
Xysticus cristatus (Clerck, 1757)	X_cri	–	–	1	–	–	–	–	–	–	–	1	–	–	–	–	–	–	–	–	–	–	–	2	–
Xysticus erraticus (Blackw all, 1834)	X_err	–	–	–	–	–	–	–	–	–	–	–	–	–	1	–	–	–	–	–	–	–	–	–	1
Xysticus kochi (Thorell, 1872)	X_koc	1	3	–	–	–	2	–	–	–	3	–	1	–	1	–	–	–	–	–	–	–	–	1	10
Xysticus luctator (L. Koch, 1870)	X_luc	–	–	2	2	6	7	1	–	1	–	–	–	–	–	–	–	2	–	–	–	–	–	12	9
Titanoecidae																									
Titanoeca psammophila (Wunderlich, 1993)	T_psa	1	4	–	–	–	3	1	–	3	2	–	1	–	–	–	–	–	–	–	–	–	–	5	10
Titanoeca schineri (L.Koch, 1872)	T_sch	–	–	–	–	–	–	–	10	–	–	–	–	–	–	–	–	–	–	–	–	–	–	–	10
Zodariidae																									
Zodarion germanicum (C. L. Koch, 1837)	Z_ger	1	–	–	1	5	–	1	–	8	2	6	6	1	1	13	10	9	3	11	5	8	–	63	28
Celkový počet druhů		**30**	**28**	**43**	**45**	**40**	**49**	**33**	**26**	**39**	**48**	**52**	**39**	**36**	**41**	**49**	**37**	**49**	**42**	**46**	**33**	**45**	**38**	**126**	**111**
Celková abundance		**354**	**360**	**467**	**762**	**473**	**673**	**331**	**458**	**382**	**337**	**671**	**689**	**520**	**993**	**1313**	**974**	**1234**	**1169**	**690**	**516**	**811**	**557**	**7246**	**7488**

Tab. 6: Výsledky permutačního testu vyjadřující signifikantní (*; p <0,05) nebo nesignifikantní (ns; p> 0,05) rozdíl mezi vypočteným indexem diverzity (H = Shannon, 1-D = Simpson, BP = Bereger-Parker) v rámci let šetření (2013, 2014). Výpočty signifikance byly aplikovány na celé společenstvo pavouků (Araneae) a na jednotlivé ekologické skupiny druhů dle preference k habitatu (L – lesní, I – indiferentní, O – otevřený), dle tolerance k zastínění stanoviště (1–1,5: druhy otevřených stanovišť s nízkou bylinnou vegetací; 2–2,5: druhy otevřených stanovišť s vysokou bylinnou vegetací; 3–4: druhy částečně zastíněných až stinných stanovišť) a dle vlhkosti stanoviště (1–1,5: druhy velmi suchých stanovišť; 2–2,5 druhy suchých stanovišť; 3–3,5: druhy mírně vlhkých stanovišť).

Araneae		Celé společenstvo			Druhy dle habitatu									Druhy dle tolerance k zastínění stanoviště									Druhy dle tolerance k vlhkosti stanoviště								
					L			I			O			1-1,5			2-2,5			3-4			1-1,5			2-2,5			3-3,5		
		H	1-D	BP	H	1-D	BP	H	1-D	BP	H	1-D	BP	H	1-D	BP	H	1-D	BP	H	1-D	BP	H	1-D	BP	H	1-D	BP	H	1-D	BP
PO_01	2013	ns	ns	ns	ns	ns	ns	ns	ns	ns	ns	*	*	ns	*	*	ns	ns	ns	ns	ns	ns	*	*	*	ns	*	ns	*	*	ns
	2014																														
PO_02	2013	*	*	*	*	*	*	*	ns	ns	ns	*	*	*	*	*	ns	ns	ns	*	*	*	ns	*	*	*	*	*	*	*	*
	2014																														
PO_03	2013	*	*	*	*	*	*	*	*	*	*	*	*	*	*	*	ns	*	*	*	*	ns	*	*	*	*	*	*	*	*	*
	2014																														
PO_04	2013	*	*	ns	*	*	ns	*	*	*	ns	ns	ns	ns	*	*	ns	*	ns	*	*	*	ns	ns	ns	*	*	*	ns	ns	ns
	2014																														
PO_05	2013	ns	*	*	ns	ns	ns	*	*	ns	ns	ns	ns	ns	ns	ns	*	*	*	*	*	*	*	ns	ns	ns	*	*	ns	ns	ns
	2014																														
PO_06	2013	*	*	*	*	*	*	*	*	*	ns	ns	ns	*	*	*	*	*	ns	*	*	*	ns	ns	ns	*	*	*	*	*	*
	2014																														
PO_07	2013	*	*	*	*	*	*	*	*	*	ns	ns	ns	ns	*	ns	ns	ns	*	*	*	*	*	*	*	*	*	*	*	*	*
	2014																														
PO_08	2013	*	ns	ns	ns	ns	ns	*	*	*	–	–	–	ns	ns	ns	ns	*	*	*	ns	ns	ns	ns	ns	ns	ns	ns	ns	*	*	*
	2014																														
PO_09	2013	ns	ns	ns	ns	ns	ns	ns	ns	*	ns	ns	ns	*	*	*	ns	ns	*	ns	ns	ns	ns	ns	ns	*	ns	ns	ns	*	ns
	2014																														
PO_10	2013	*	ns	*	ns	*	*	*	*	*	ns	ns	ns	ns	ns	ns	*	*	*	*	*	ns	ns	ns	ns	*	*	*	ns	ns	*
	2014																														
PO_11	2013	*	ns	ns	*	*	*	ns	ns	ns	ns	ns	ns	*	*	*	*	*	*	*	*	*	ns	ns	ns	ns	ns	ns	*	*	*
	2014																														

Tab. 7: GLM (generalizovaný lineární model) pro změny v početnosti (abundanci) střevlíkovitých dle tolerance k zastínění a vlhkosti stanoviště mezi lety 2013–2015

Carabidae	F	*p*	Trend
Tolerance k zastínění			
Druhy indiferentní (I)		ns	stoupající
Druhy stínomilné (L)	11,92	0,001	klesající
Druhy světlomilné (O)	17,68	0,000	stoupající
Tolerance k vlhkosti			
Druhy hygrofilní (H)		ns	klesající (velmi mírně)
Druhy indiferentní (I)	4,97	0,003	stoupající
Druhy suchomilné (S)	15,96	0,000	stoupající
Druhy vlhkomilné (V)		ns	stoupající
Druhy xerofilní (X)		ns	stoupající

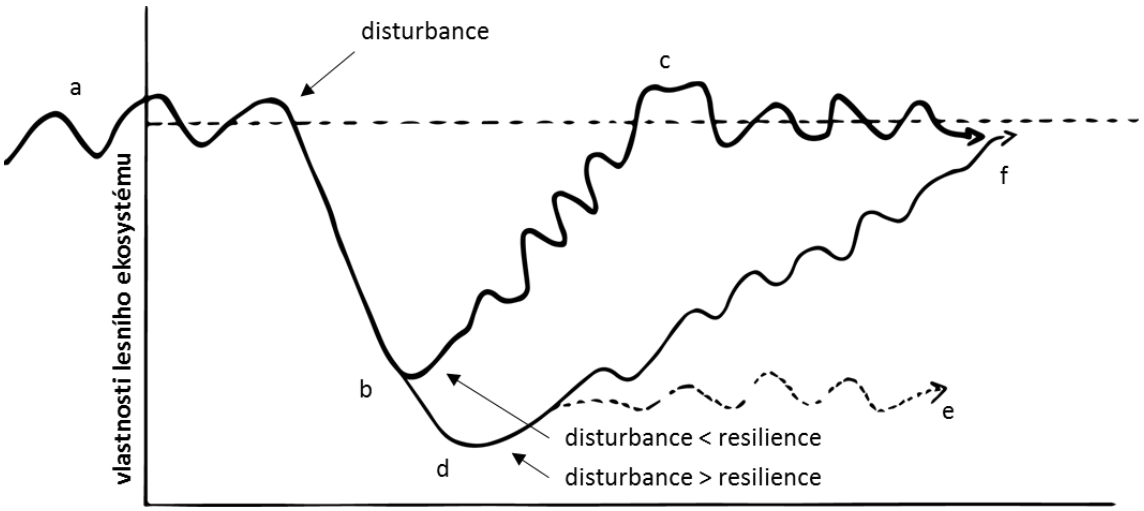

Obr. 1: Ilustrace konceptu reakce lesního ekosystému na disturbanci (překleseno a upraveno dle Perera a Buse, 2012). Stavy ekosystému zachycené ve schématu: a) predisturbanční stav; b) stav bezprostředně po disturbanci (distrubance nepřesáhla resilienci ekosystému); c) stav po obnově ekosystému; d) stav bezprostředně po disturbanci (disturbance přesáhla resilienci ekosystému; e) a f) alternativní stavy ekosystému po disturbanci (disturnace přesáhla resilienci ekosystému)

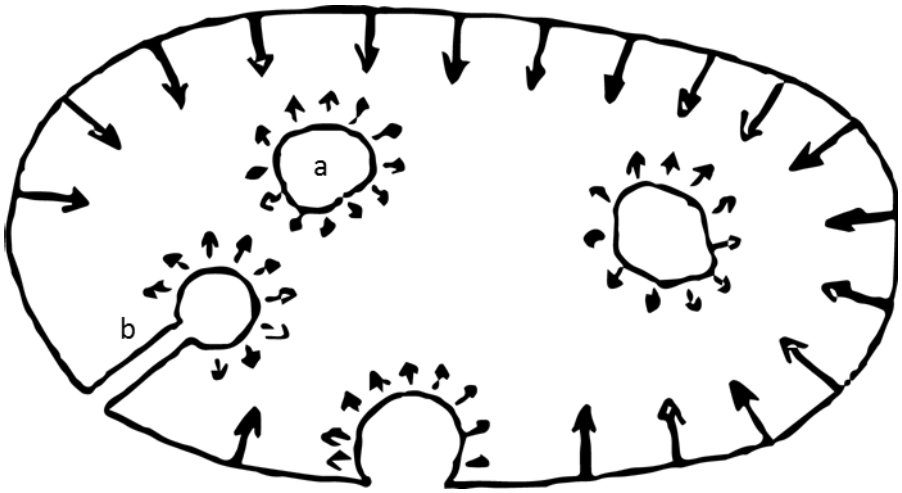

Obr. 2: Možný průběh rekolonizace požárem narušené plochy půdními bezobratlými (překresleno a upraveno dle prací: Gongalsky a Zaitsev, 2016; Zaitsev et al., 2014). a) perfugium; b) koridor s nenarušenými nebo méně narušenými svrchně-půdními horizonty.

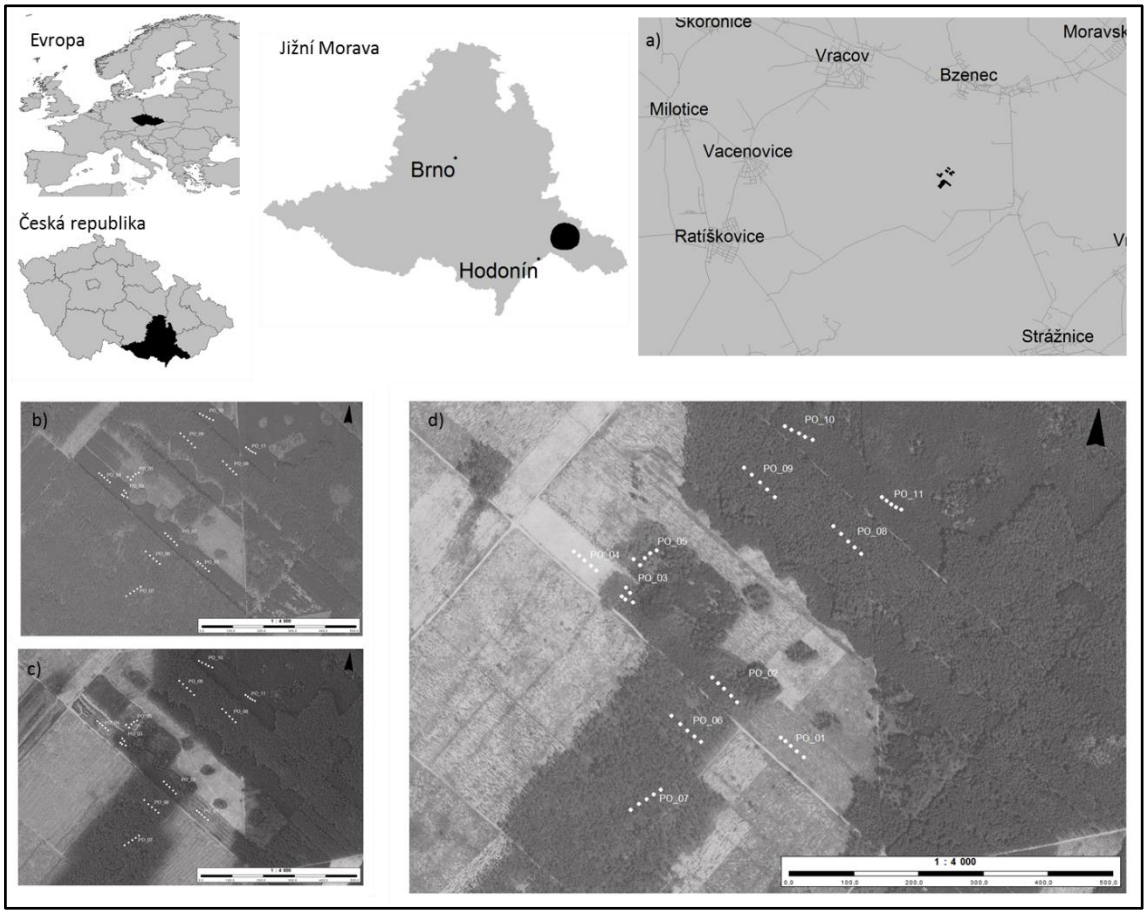

Obr. 3: Lokalizace oblasti výzkumu (a) a vyobrazení vedených transektů na TVP PO_01–PO_11 (b–d). Snímky území z let 2006 (b), 2012 (c) a 2016(d).

Obr. 4: Borová kmenovina napadená pozemním požárem s nižším stupněm poškození. (2. 5. 2014)

Obr. 5: Borová tyčkovina napadená pozemním i korunovým typem požáru, která byla následně odtěžena. (13. 6. 2012; Emanuel Kula)

Obr. 6: Odlesněná oblast Vátých písků po požáru v roce 2012 (12. 4. 2013)

Obr. 7: TVP PO_01 (1. 7. 2015)

Obr. 8: TVP PO_04 (27. 2. 2015)

Obr. 9: TVP PO_02 (5. 10. 2014)

Obr. 10: TVP PO_03 (31. 10. 2014)

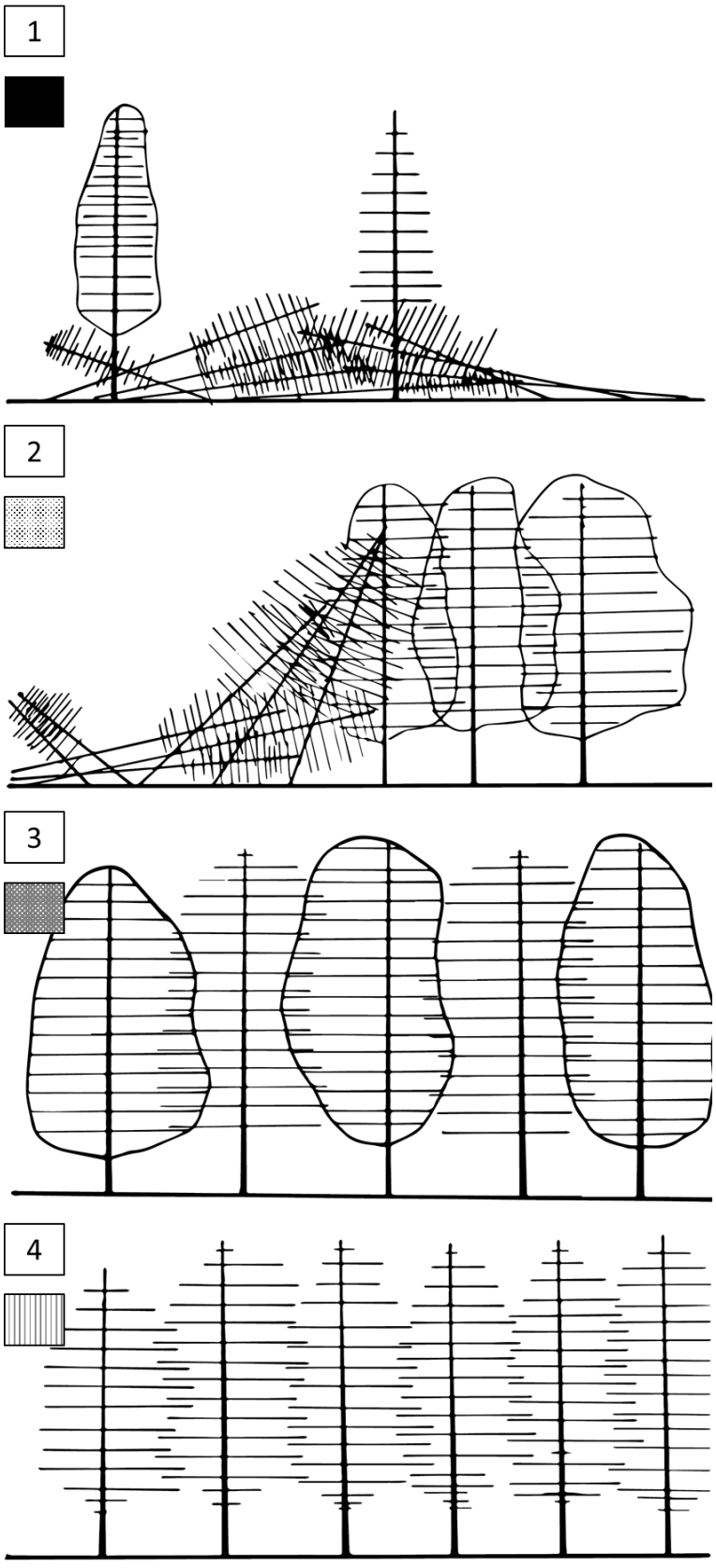

Obr. 11: Typy destrukce porostu použité při vymapování porostních změn na TVP PO_02 a PO_03 (viz obr. 12).

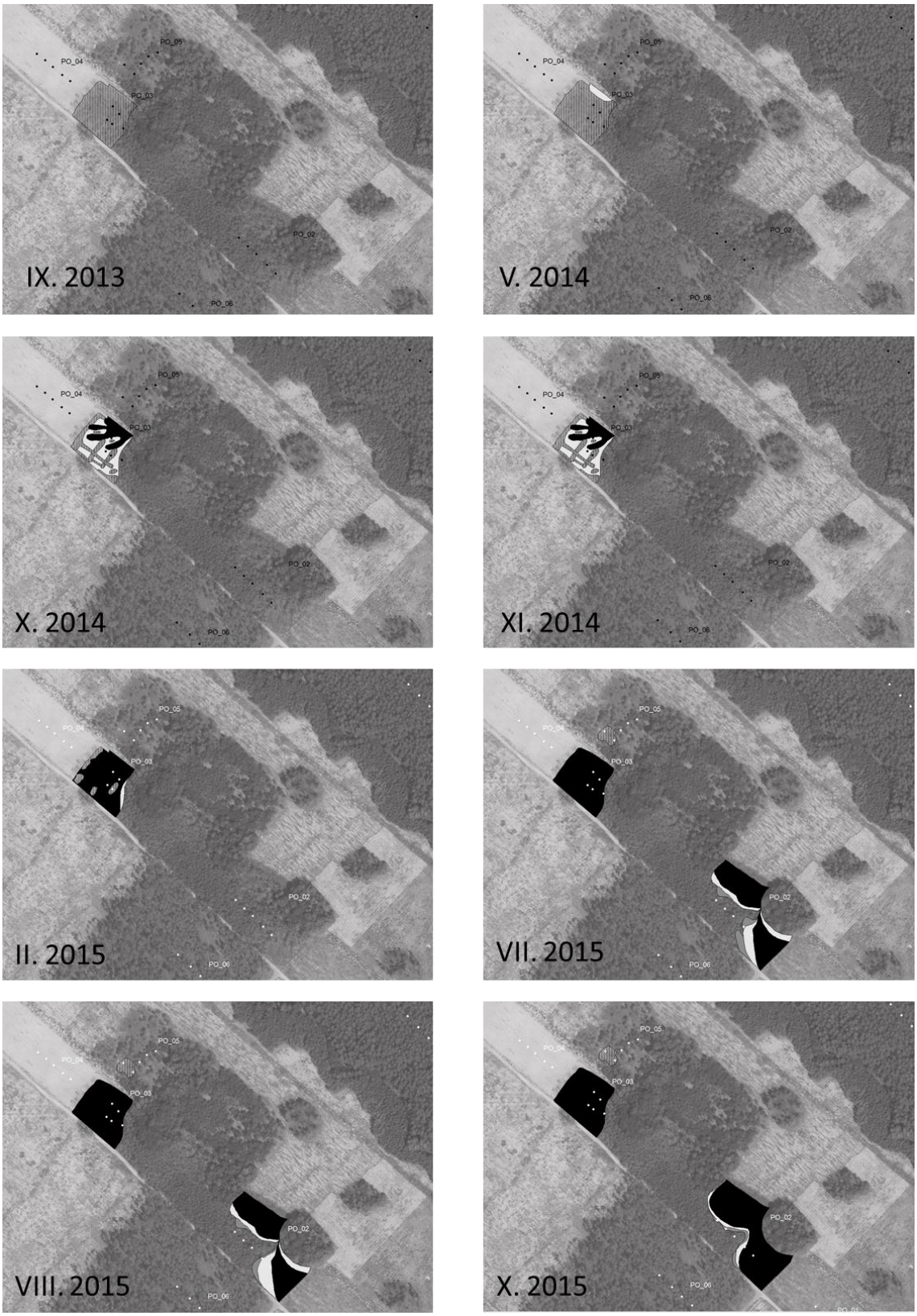

Obr. 12: Postup rozpadu TVP PO_02 a PO_03 dle stanovených typů destrukce (obr. 11). U každého snímku je uveden měsíc a rok, kdy byl záznam proveden.

Obr. 13: TVP PO_06 (2. 5. 2014)

Obr. 14: TVP PO_07 (2. 5. 2014)

Obr. 15: TVP PO_10 (2. 5. 2014)

Obr. 16: TVP PO_08 (2. 5. 2014)

Obr. 17: TVP PO_05 po žíru chrousta maďalového (11. 5. 2015)

Obr. 18: Klimatická stanice MeteoUni instalovaná v borové kmenovině (2. 5. 2014).

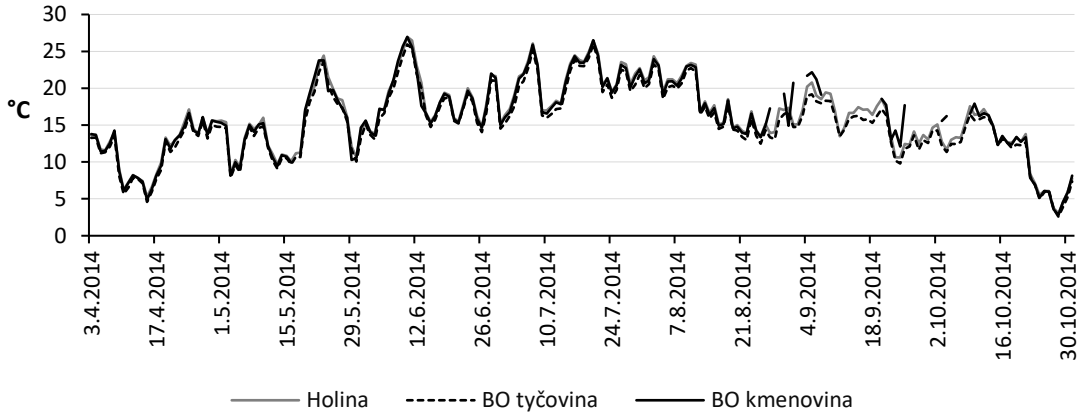

Obr. 19: Průměrná teplota vzduchu ve dvou metrech nad zemí měřená v období průběhu sběru epigeické arachnoentomofauny v roce 2014. Měření probíhalo ve třech hlavních typech biotopů, které byly do výzkumu zahrnuty: holina, borová tyčovina, borová kmenovina.

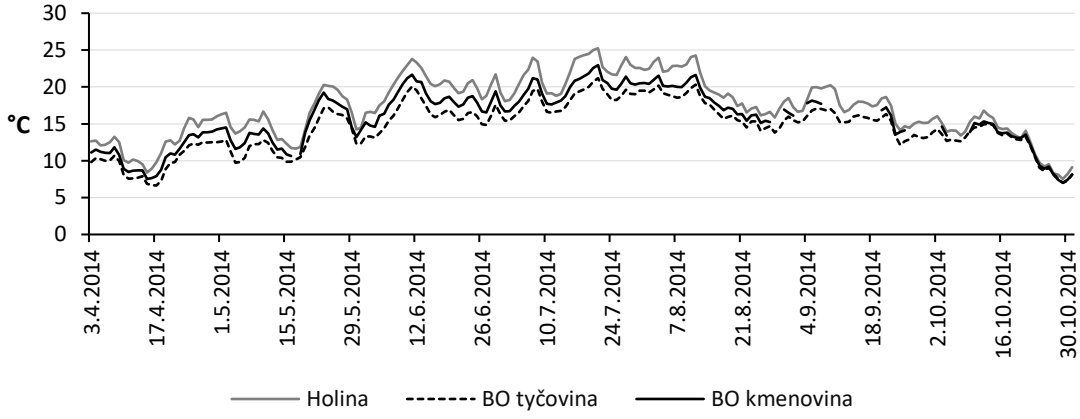

Obr. 20: Průměrná teplota půdy v hloubce 15 cm měřená v období průběhu sběru epigeické arachnoentomofauny v roce 2014. Měření probíhalo ve třech hlavních typech biotopů, které byly do výzkumu zahrnuty: holina, borová tyčovina, borová kmenovina.

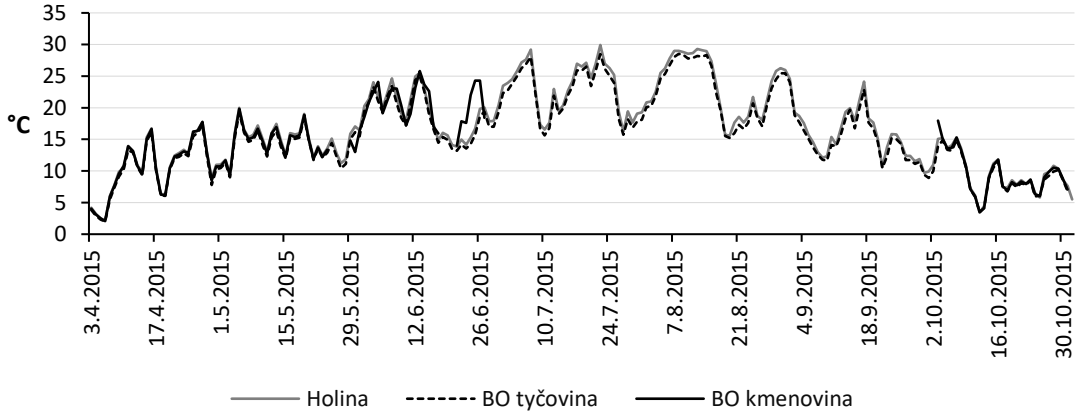

Obr. 21: Průměrná teplota vzduchu ve dvou metrech nad zemí měřená v období průběhu sběru epigeické arachnoentomofauny v roce 2015. Měření probíhalo ve třech hlavních typech biotopů, které byly do výzkumu zahrnuty: holina, borová tyčovina, borová kmenovina.

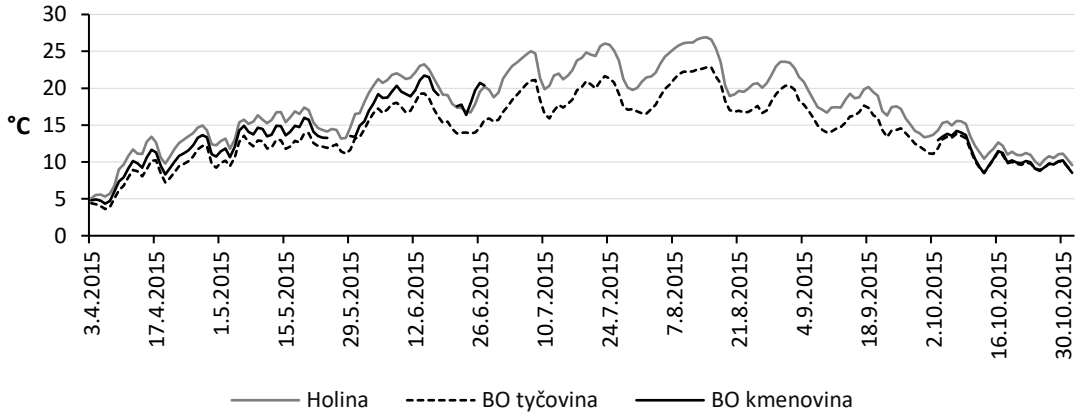

Obr. 22: Průměrná teplota půdy v hloubce 15 cm měřená v období průběhu sběru epigeické arachnoentomofauny v roce 2015. Měření probíhalo ve třech hlavních typech biotopů, které byly do výzkumu zahrnuty: holina, borová tyčovina, borová kmenovina.

Obr. 23. Ukázka instalované ZP s typem plechové stříšky, kterými se ZP přikrývaly. (27. 2. 2015)

Obr. 24: Třídění ZP v laboratoři (8. 11. 2013)

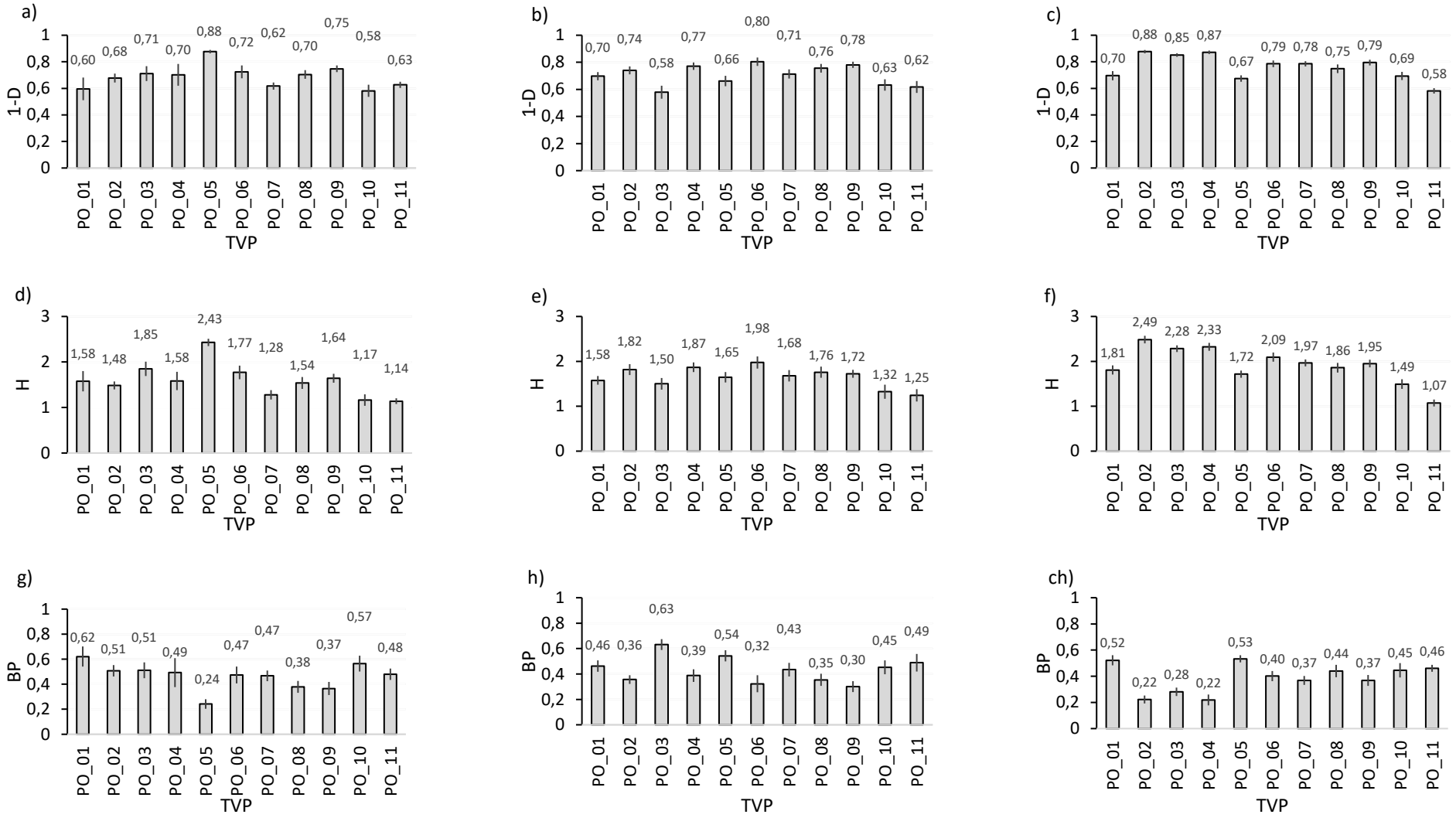

Obr. 25: Charakteristiky společenstva čeledi střevlíkovitých (Carabidae) TVP z let 2013 (a, d, g), 2014 (b, e, h) a 2015 (c, f, ch) dle indexů diverzity: Simpsonův index (a—c), Shannonův index (d—f), Berger-Parkerův index (g—ch). Signifikantní (p <0,05) nebo nesignifikantní (p> 0,05) rozdíl mezi indexy diverzity na TVP v prvním, druhém a třetím roce šetření udává tab. 3. Linie ukazují 95% interval spolehlivosti.

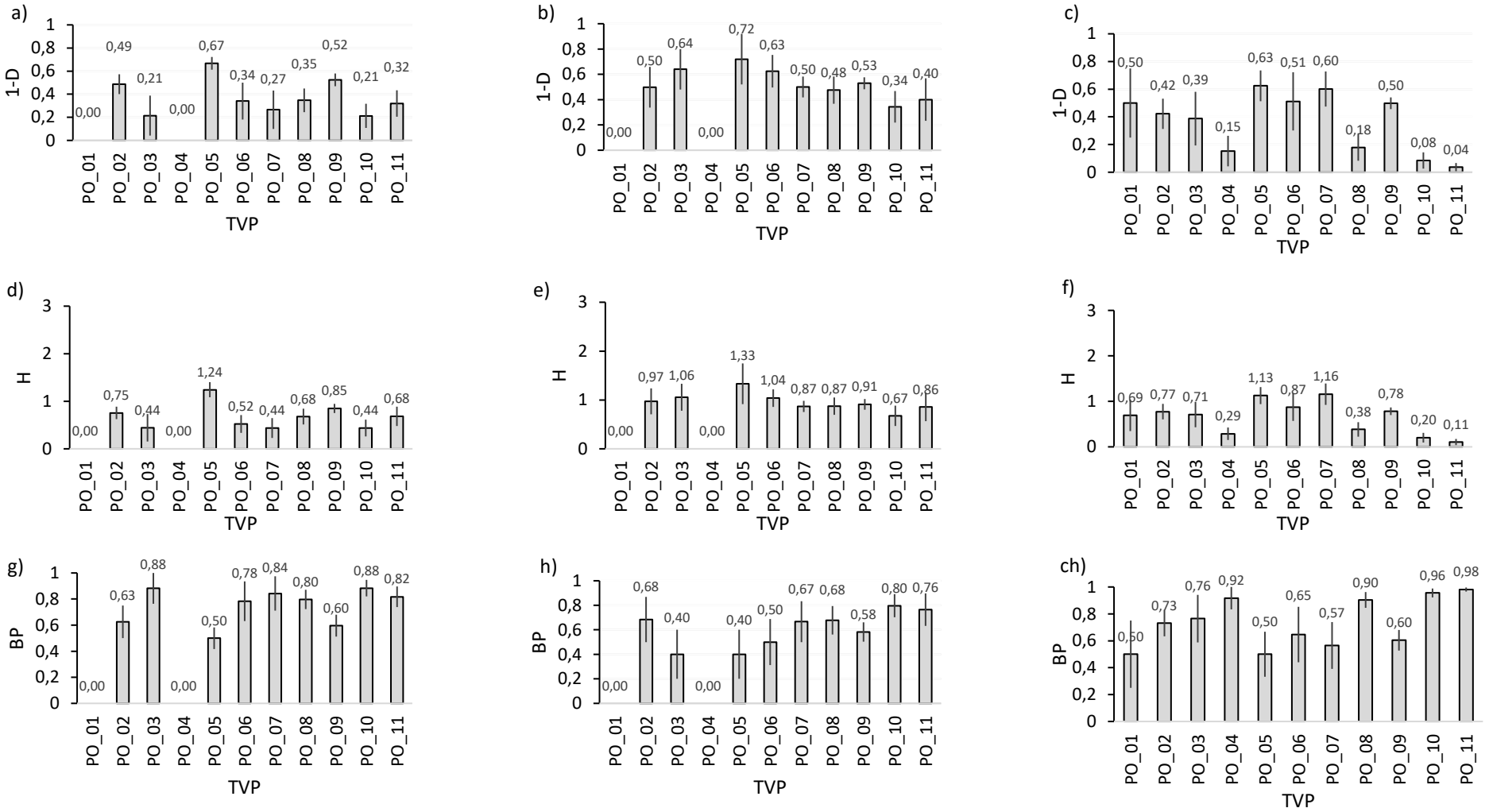

Obr. 26: Charakteristiky skupiny stínomilných druhů společenstva čeledi střevlíkovitých (Carabidae) TVP z let 2013 (a, d, g), 2014 (b, e, h) a 2015 (c, f, ch) dle indexů diverzity: Simpsonův index (a—c), Shannonův index (d—f), Berger-Parkerův index (g—ch). Signifikantní (p <0,05) nebo nesignifikantní (p> 0,05) rozdíl mezi indexy diverzity na TVP v prvním, druhém a třetím roce šetření udává tab. 3. Linie ukazují 95% interval spolehlivosti.

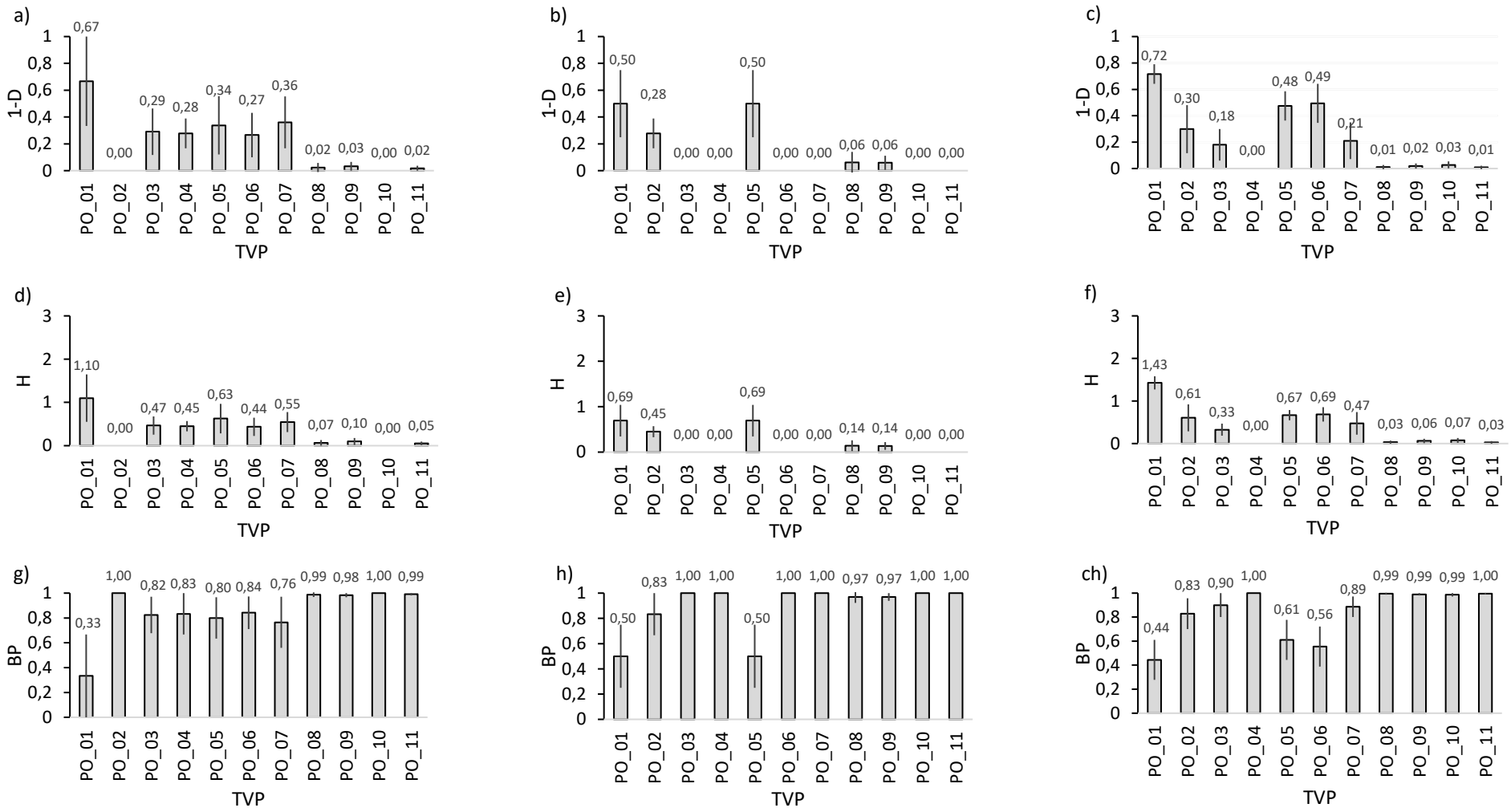

Obr. 27: Charakteristiky skupiny k zastínění stanoviště indiferentních druhů společenstva čeledi střevlíkovitých (Carabidae) TVP z let 2013 (a, d, g), 2014 (b, e, h) a 2015 (c, f, ch) dle indexů diverzity: Simpsonův index (a—c), Shannonův index (d—f), Berger-Parkerův index (g—ch). Signifikantní (p <0,05) nebo nesignifikantní (p> 0,05) rozdíl mezi indexy diverzity na TVP v prvním a druhém roce šetření udává tab. 3. Linie ukazují 95% interval spolehlivosti.

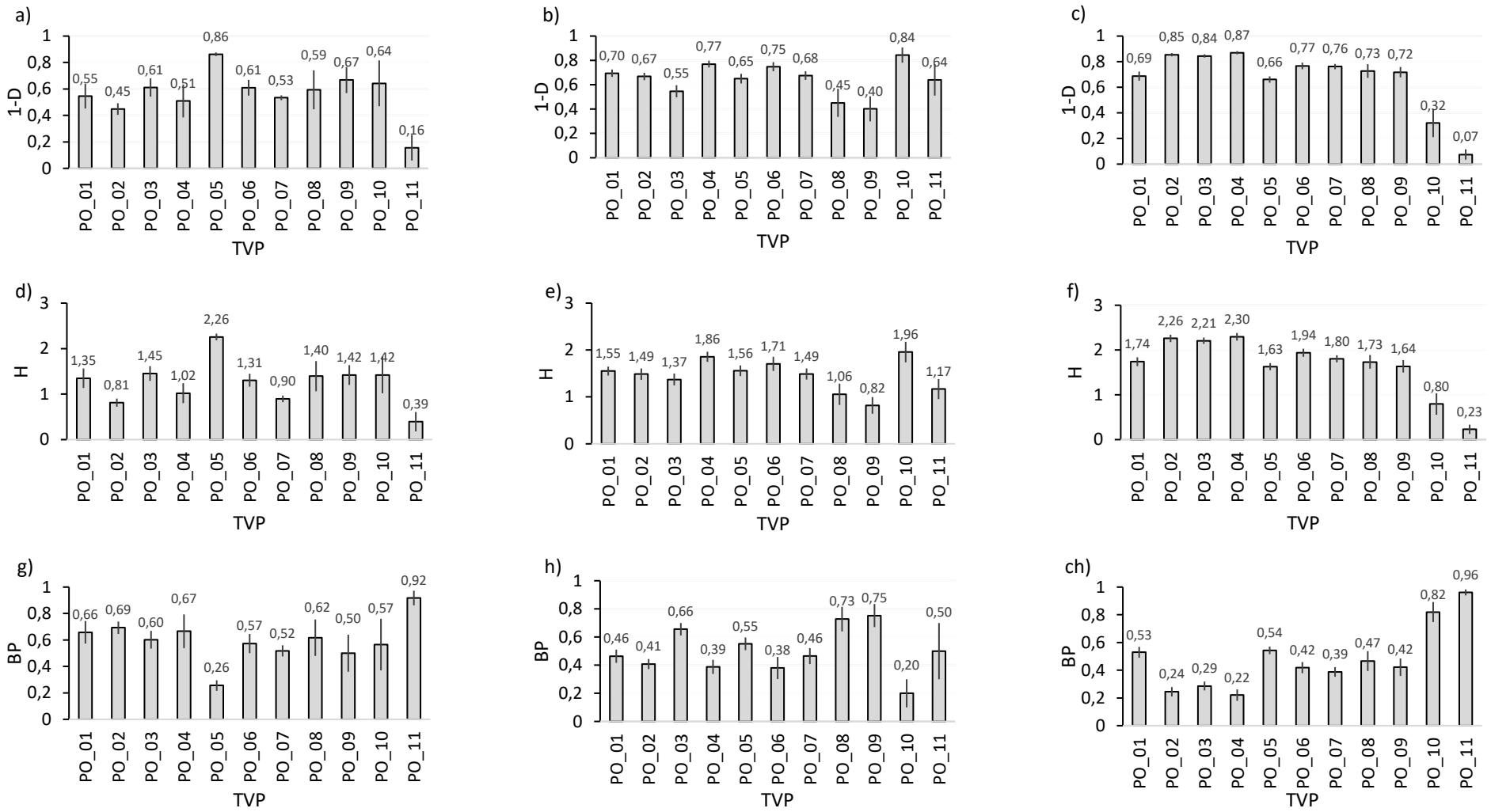

Obr. 28: Charakteristiky skupiny světlomilných druhů společenstva čeledi střevlíkovitých (Carabidae) TVP z let 2013 (a, d, g), 2014 (b, e, h) a 2015 (c, f, ch) dle indexů diverzity: Simpsonův index (a—c), Shannonův index (d—f), Berger-Parkerův index (g—ch). Signifikantní (p <0,05) nebo nesignifikantní (p> 0,05) rozdíl mezi indexy diverzity na TVP v prvním a druhém roce šetření udává tab. 3. Linie ukazují 95% interval spolehlivosti.

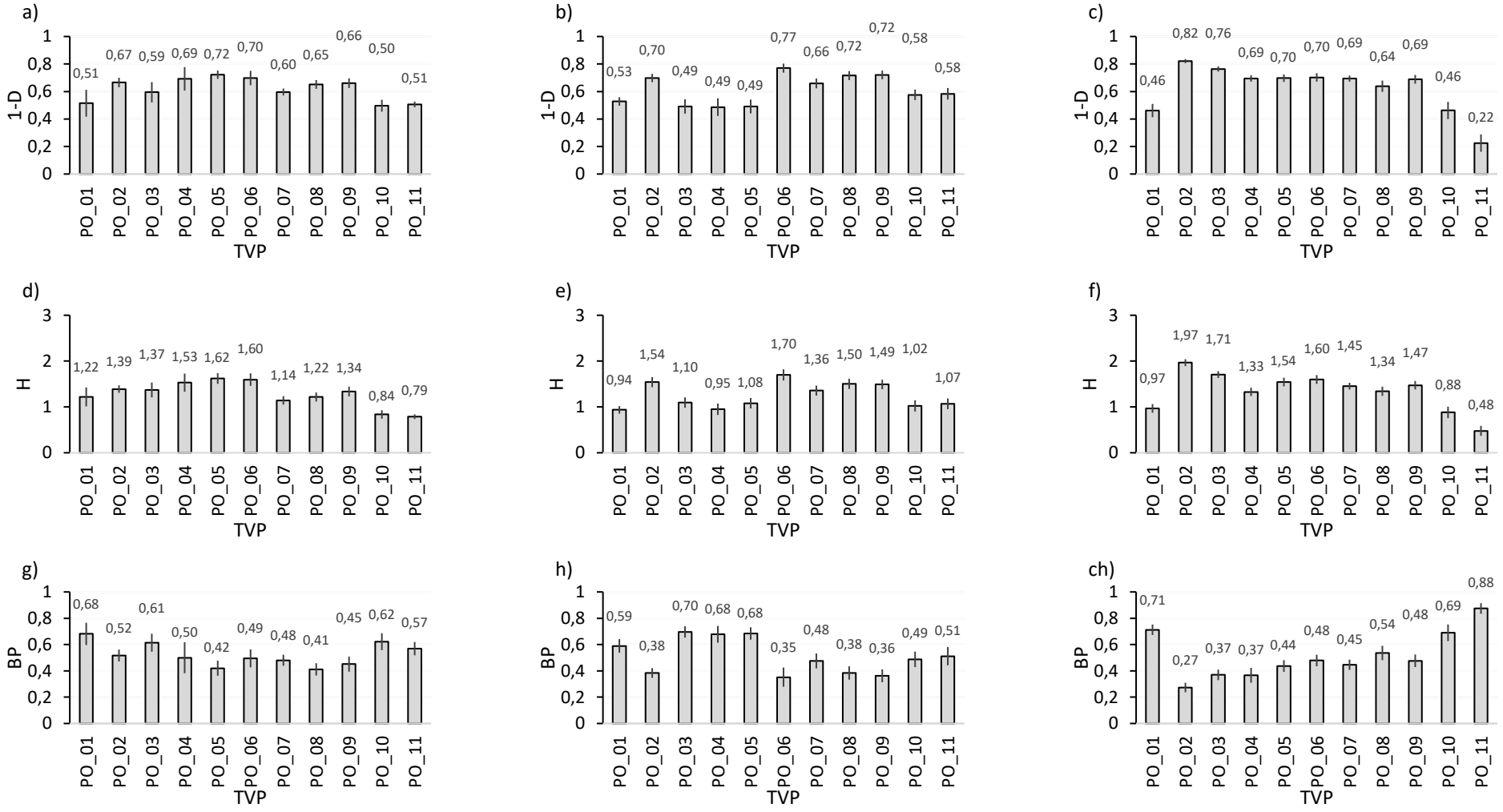

Obr. 29: Charakteristiky skupiny druhů k vlhkosti stanoviště indiferentních společenstva čeledi střevlíkovitých (Carabidae) TVP z let 2013 (a, d, g), 2014 (b, e, h) a 2015 (c, f, ch) dle indexů diverzity: Simpsonův index (a—c), Shannonův index (d—f), Berger-Parkerův index (g—ch). Signifikantní (p <0,05) nebo nesignifikantní (p> 0,05) rozdíl mezi indexy diverzity na TVP v prvním a druhém roce šetření udává tab. 3. Linie ukazují 95% interval spolehlivosti.

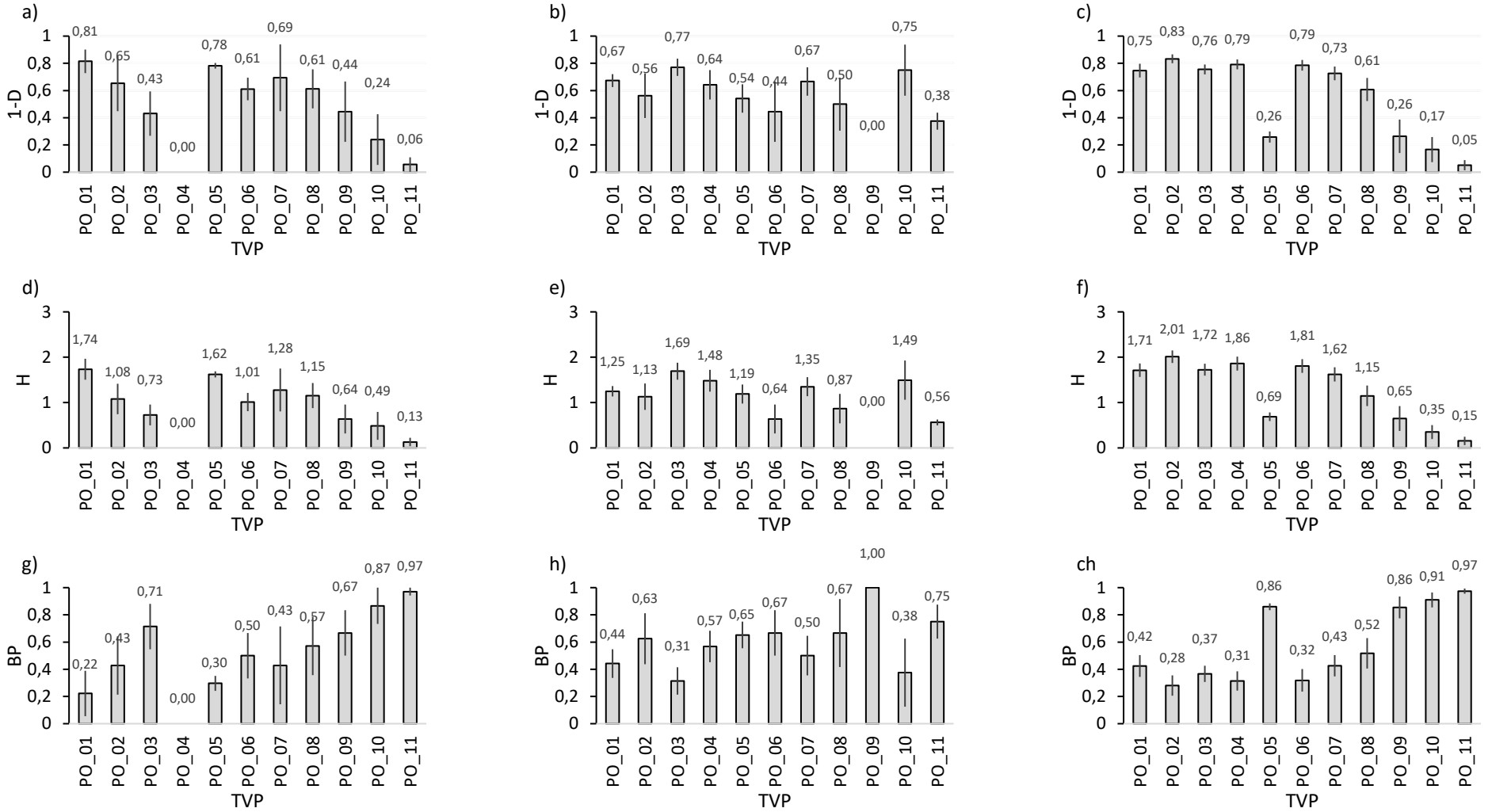

Obr. 30: Charakteristiky skupiny druhů k suchomilných společenstva čeledi střevlíkovitých (Carabidae) TVP z let 2013 (a, d, g), 2014 (b, e, h) a 2015 (c, f, ch) dle indexů diverzity: Simpsonův index (a—c), Shannonův index (d—f), Berger-Parkerův index (g—ch). Signifikantní (p <0,05) nebo nesignifikantní (p> 0,05) rozdíl mezi indexy diverzity na TVP v prvním a druhém roce šetření udává tab. 3. Linie ukazují 95% interval spolehlivosti.

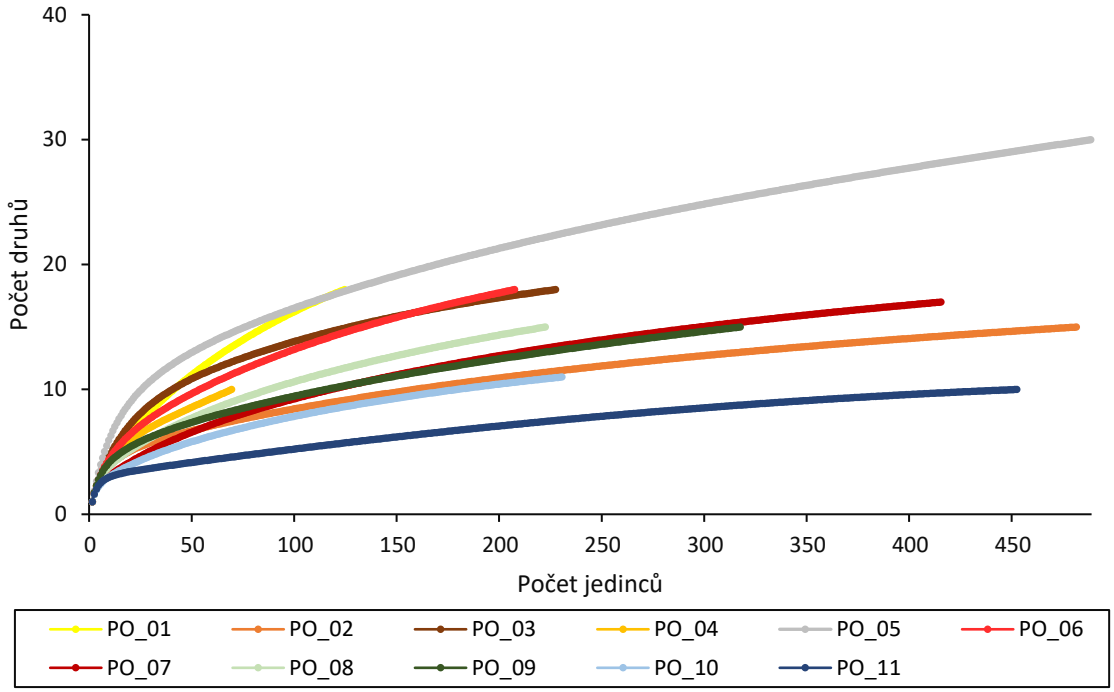

Obr. 31: Rarefrakční křivky počtu druhů čeledi střevlíkovitých (Carabidae) na TVP v roce 2013

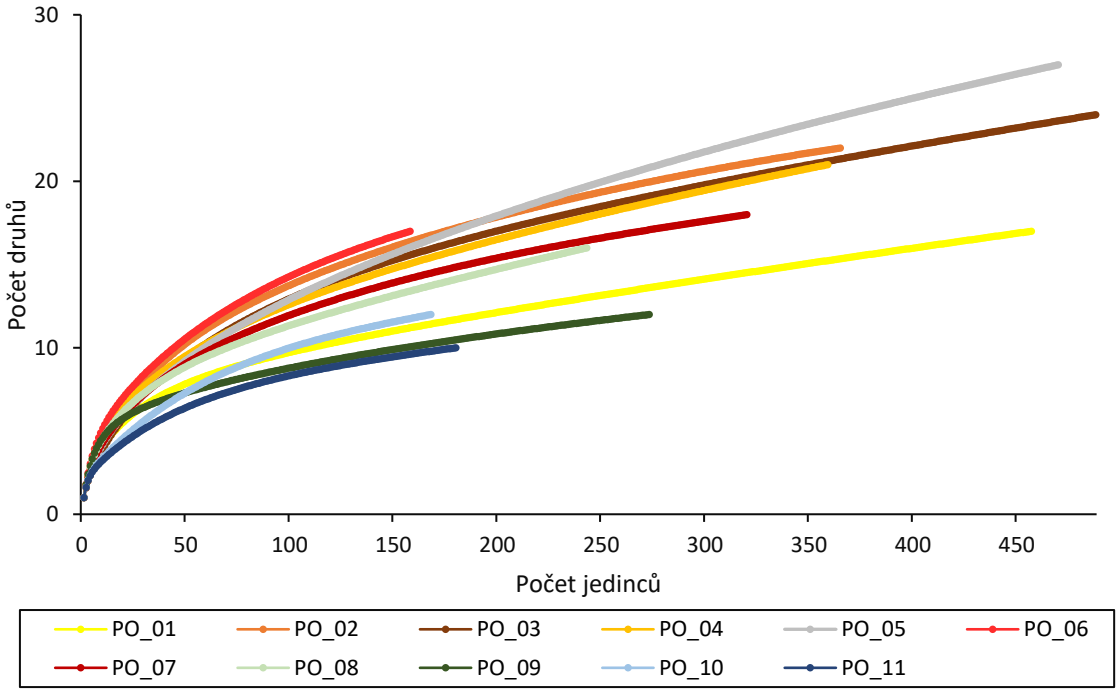

Obr. 32: Rarefrakční křivky počtu druhů čeledi střevlíkovitých (Carabidae) na TVP v roce 2014

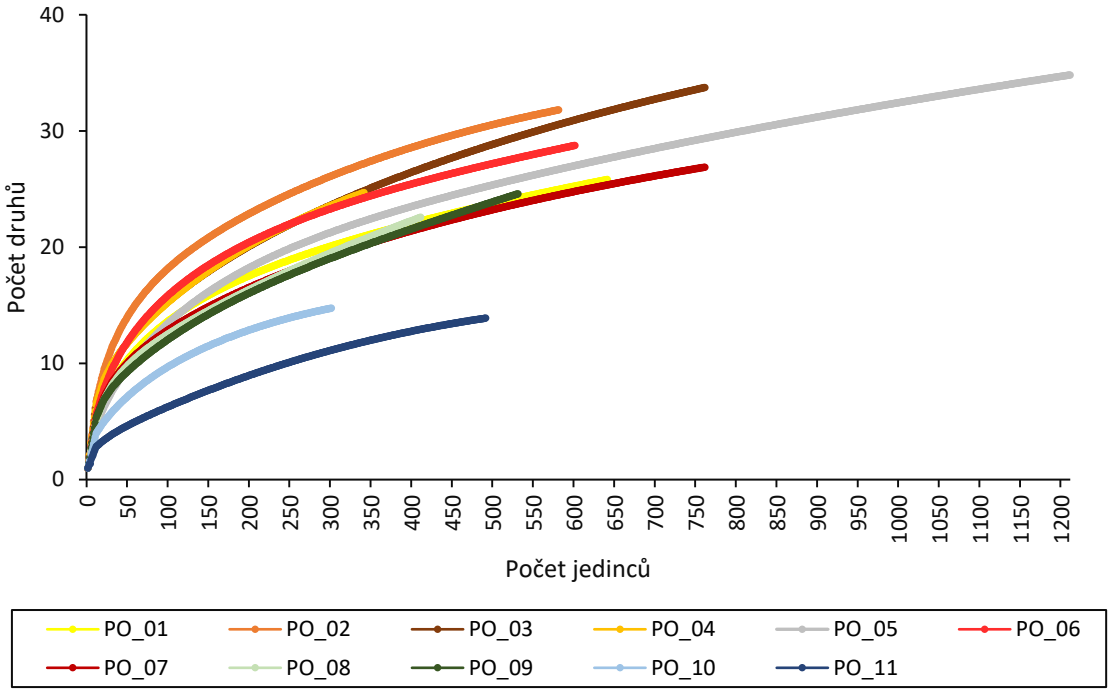

Obr. 33: Rarefrakční křivky počtu druhů čeledi střevlíkovitých (Carabidae) na TVP v roce 2015

PO_01	PO_02	PO_03	PO_04	PO_05	PO_06	PO_07	PO_08	PO_09	PO_10	PO_11	2013
1,00	0,60	0,28	0,16	0,44	0,61	0,51	0,08	0,10	0,05	0,03	**PO_01**
	1,00	0,41	0,31	0,32	0,80	0,69	0,28	0,30	0,25	0,24	**PO_02**
		1,00	0,61	0,35	0,40	0,65	0,19	0,22	0,16	0,14	**PO_03**
			1,00	0,11	0,33	0,58	0,08	0,10	0,05	0,03	**PO_04**
				1,00	0,46	0,33	0,19	0,19	0,06	0,05	**PO_05**
					1,00	0,67	0,27	0,26	0,13	0,11	**PO_06**
						1,00	0,12	0,15	0,09	0,08	**PO_07**
							1,00	0,81	0,76	0,74	**PO_08**
								1,00	0,65	0,67	**PO_09**
									1,00	0,72	**PO_10**
										1,00	**PO_11**

Obr. 34: Hodnoty Renkonenova indexu faunistické podobnosti vypočtené pro společenstva čeledi střevlíkovitých (Carabidae) zjištěných v roce 2013 na požářišti Bzenec ve vazbě na jednotlivé TVP.

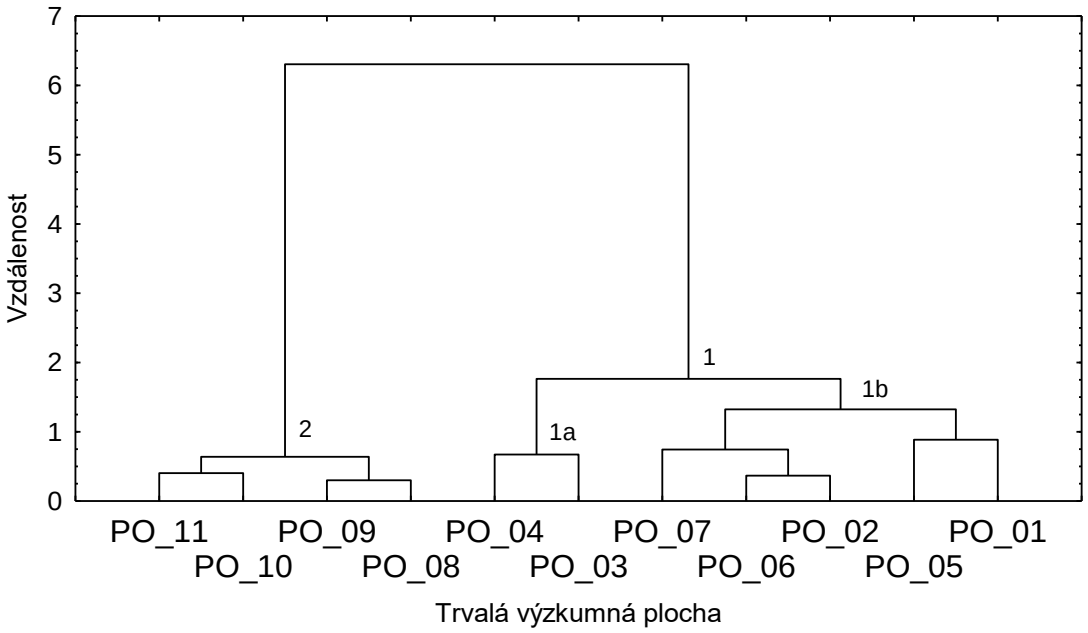

Obr. 35: Výsledky shlukové analýzy (pravidlo slučování Wardova metoda, Euklidovská míra vzdálenosti) aplikované na vypočtené Renkonenovy indexy podobnosti pro společenstva čeledi střevlíkovitých (Carabidae) z roku 2013 dle TVP.

PO_01	PO_02	PO_03	PO_04	PO_05	PO_06	PO_07	PO_08	PO_09	PO_10	PO_11	2014
1,00	0,43	0,57	0,50	0,68	0,34	0,34	0,05	0,08	0,03	0,002	**PO_01**
	1,00	0,64	0,39	0,48	0,64	0,77	0,23	0,24	0,16	0,14	**PO_02**
		1,00	0,44	0,74	0,56	0,53	0,13	0,15	0,09	0,06	**PO_03**
			1,00	0,45	0,33	0,32	0,05	0,08	0,04	0,01	**PO_04**
				1,00	0,39	0,39	0,09	0,12	0,05	0,05	**PO_05**
					1,00	0,64	0,35	0,34	0,10	0,09	**PO_06**
						1,00	0,19	0,20	0,10	0,07	**PO_07**
							1,00	0,84	0,60	0,59	**PO_08**
								1,00	0,49	0,47	**PO_09**
									1,00	0,86	**PO_10**
										1,00	**PO_11**

Obr. 36: Hodnoty Renkonenova indexu faunistické podobnosti vypočtené pro společenstva čeledi střevlíkovitých (Carabidae) zjištěných v roce 2014 na požářišti Bzenec ve vazbě na TVP.

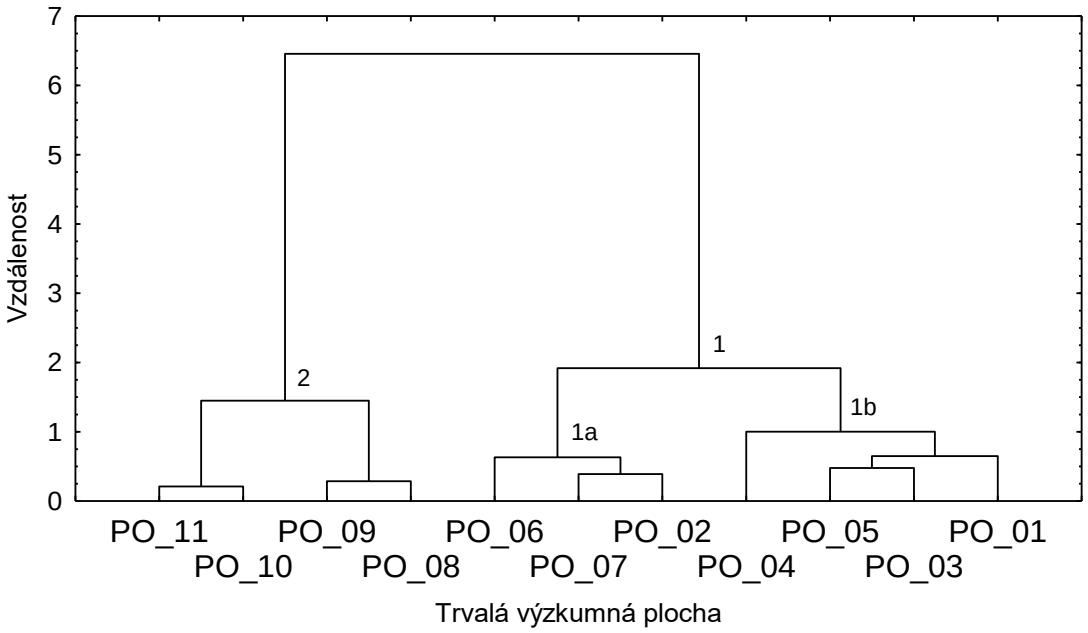

Obr. 37: Výsledky shlukové analýzy (pravidlo slučování Wardova metoda, Euklidovská míra vzdálenosti) aplikované na vypočtené Renkonenovy indexy podobnosti pro společenstva čeledi střevlíkovitých (Carabidae) z roku 2014 dle TVP.

PO_01	PO_02	PO_03	PO_04	PO_05	PO_06	PO_07	PO_08	PO_09	PO_10	PO_11	2015
1,00	0,33	0,42	0,47	0,43	0,25	0,28	0,11	0,09	0,01	0,01	**PO_01**
	1,00	0,75	0,36	0,39	0,72	0,64	0,44	0,39	0,17	0,14	**PO_02**
		1,00	0,39	0,46	0,71	0,68	0,34	0,32	0,13	0,11	**PO_03**
			1,00	0,36	0,29	0,30	0,12	0,09	0,02	0,01	**PO_04**
				1,00	0,31	0,34	0,18	0,15	0,03	0,02	**PO_05**
					1,00	0,74	0,33	0,30	0,07	0,04	**PO_06**
						1,00	0,30	0,23	0,07	0,05	**PO_07**
							1,00	0,76	0,65	0,55	**PO_08**
								1,00	0,69	0,54	**PO_09**
									1,00	0,80	**PO_10**
										1,00	**PO_11**

Obr. 38: Hodnoty Renkonenova indexu faunistické podobnosti vypočtené pro společenstva čeledi střevlíkovitých (Carabidae) zjištěných v roce 2015 na požářišti Bzenec ve vazbě na TVP.

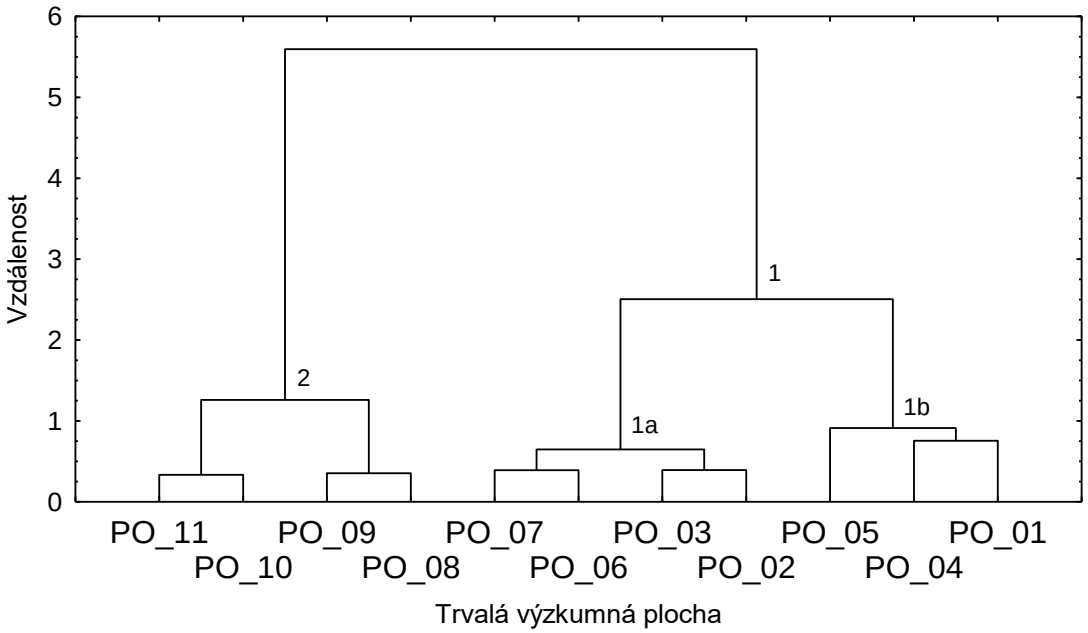

Obr. 39: Výsledky shlukové analýzy (pravidlo slučování Wardova metoda, Euklidovská míra vzdálenosti) aplikované na vypočtené Renkonenovy indexy podobnosti pro společenstva čeledi střevlíkovitých (Carabidae) z roku 2015 dle TVP.

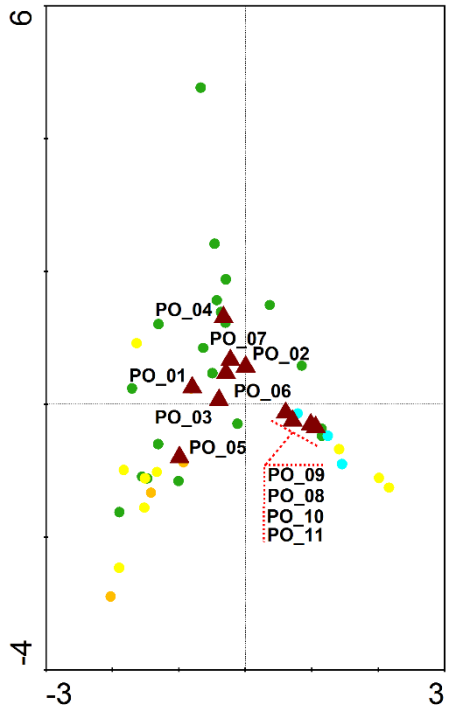

Obr. 40: Ordinační diagram CCA analýzy znázorňující vztah mezi TVP v roce 2013 a skupinami druhů čeledi střevlíkovitých (Carabidae) tříděných dle preference k vlhkosti stanoviště (tmavě modrá - hygrofilní/mokřadní druh, světle modrá – vlhkomilný druh, zelená – indiferentní druh, světle žlutá – suchomilný druh, oranžová – xerofilní druh).

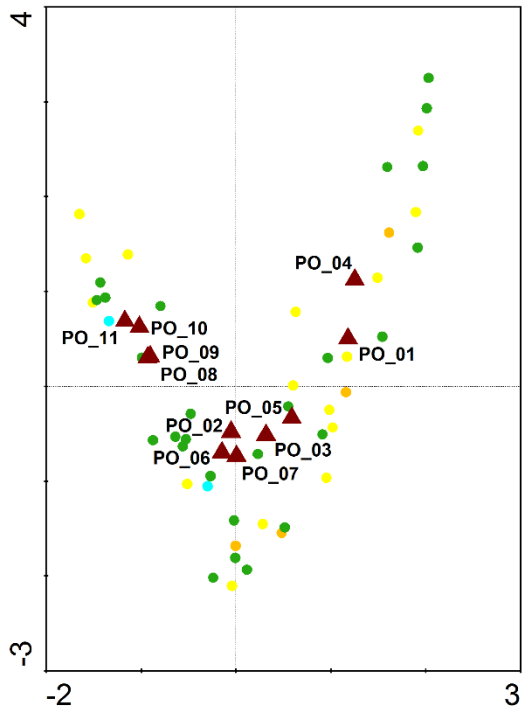

Obr. 41: Ordinační diagram CCA analýzy znázorňující vztah mezi TVP v roce 2014 a skupinami druhů čeledi střevlíkovitých (Carabidae) tříděných dle preference k vlhkosti stanoviště (tmavě modrá – hygrofilní/mokřadní druh, světle modrá – vlhkomilný druh, zelená – indiferentní druh, světle žlutá – suchomilný druh, oranžová – xerofilní druh).

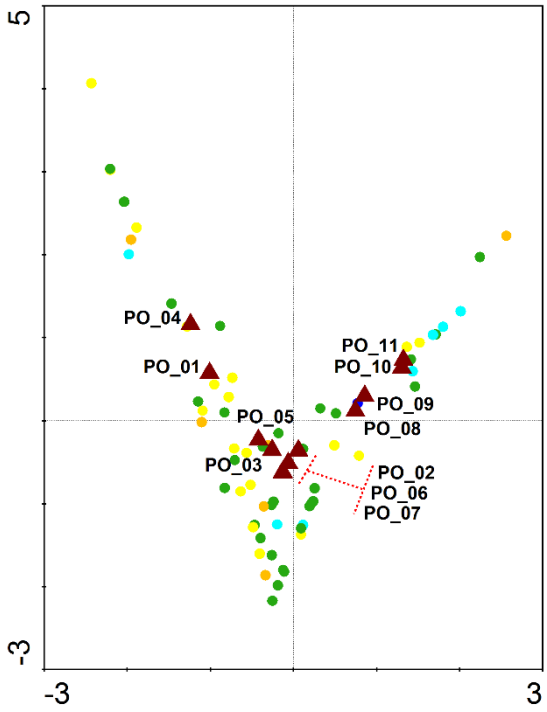

Obr. 42: Ordinační diagram CCA analýzy znázorňující vztah mezi TVP v roce 2015 a skupinami druhů čeledi střevlíkovitých (Carabidae) tříděných dle preference k vlhkosti stanoviště (tmavě modrá – hygrofilní/mokřadní druh, světle modrá – vlhkomilný druh, zelená – indiferentní druh, světle žlutá – suchomilný druh, oranžová – xerofilní druh).

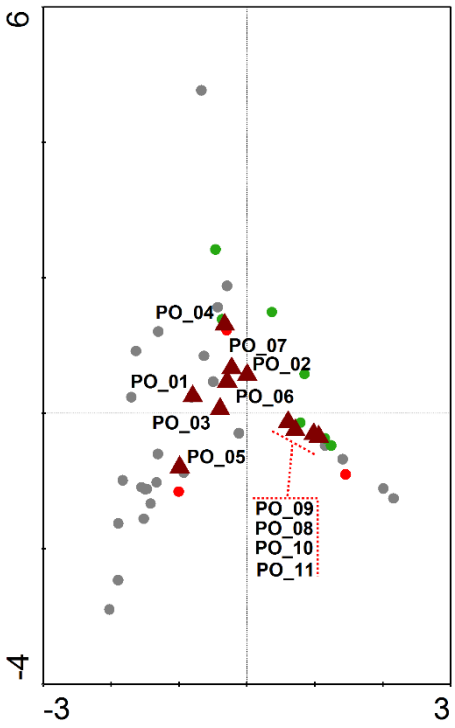

Obr. 43: Ordinační diagram CCA analýzy znázorňující vztah mezi TVP v roce 2013 a skupinami druhů čeledi střevlíkovitých (Carabidae) tříděných dle preference k zastínění stanoviště (šedá – světlomilný druh, červená – indiferentní druh, zelená – stínomilný druh)

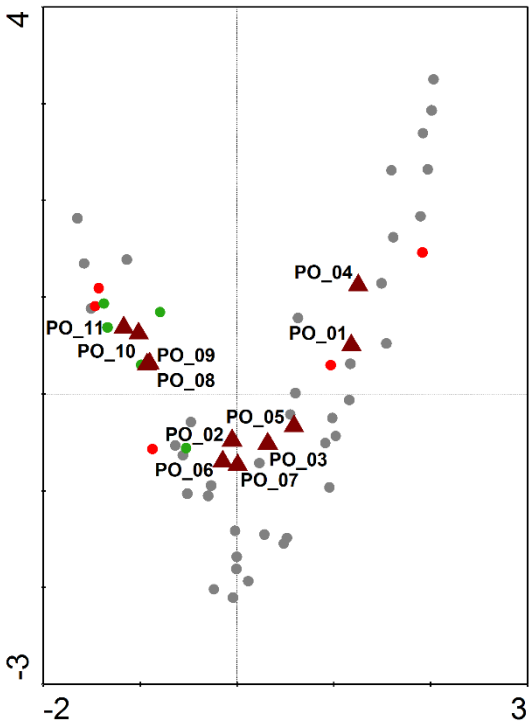

Obr. 44: Ordinační diagram CCA analýzy znázorňující vztah mezi TVP v roce 2014 a skupinami druhů čeledi střevlíkovitých (Carabidae) tříděných dle preference k zastínění stanoviště (šedá – světlomilný druh, červená – indiferentní druh, zelená – stínomilný druh)

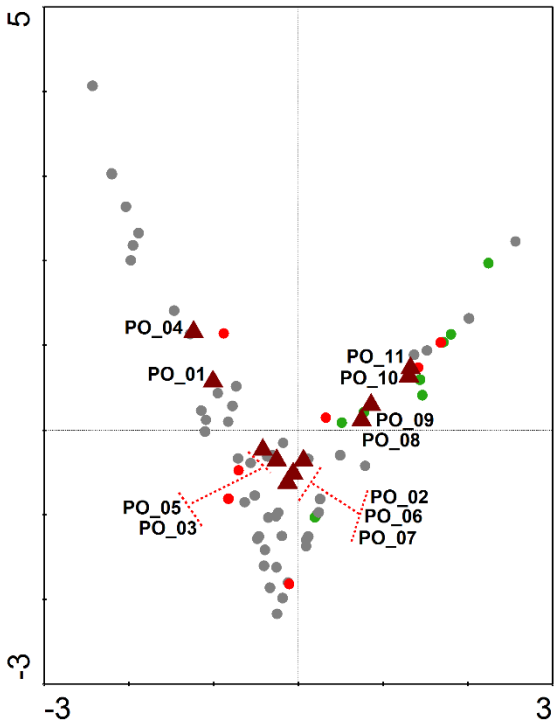

Obr. 45: Ordinační diagram CCA analýzy znázorňující vztah mezi TVP v roce 2015 a skupinami druhů čeledi střevlíkovitých (Carabidae) tříděných dle preference k zastínění stanoviště (šedá – světlomilný druh, červená – indiferentní druh, zelená – stínomilný druh)

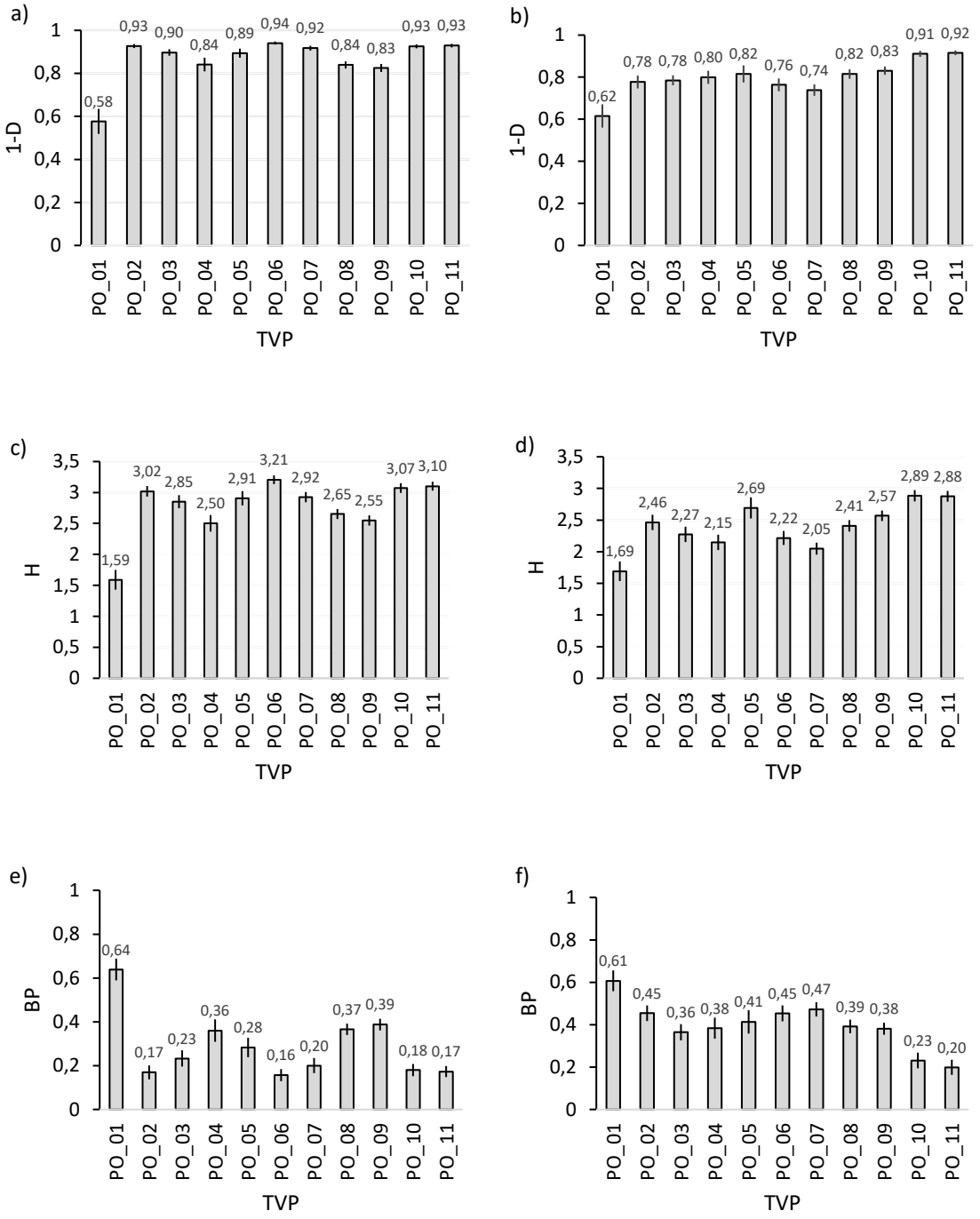

Obr. 46: Porovnání indexů diverzity (1-D = Simpson – a, b; H = Shannon – c, d; BP = Berger-Parker – e, f) vypočtených pro společenstva řádu pavouků (Araneae), která se na TVP vyskytovala v letech 2013 (a, c, e) a 2014 (b, d, f). Signifikantní (p <0,05) nebo nesignifikantní (p> 0,05) rozdíl mezi indexy diverzity na TVP v prvním a druhém roce šetření udává tab. 6. Linie ukazují 95% interval spolehlivosti.

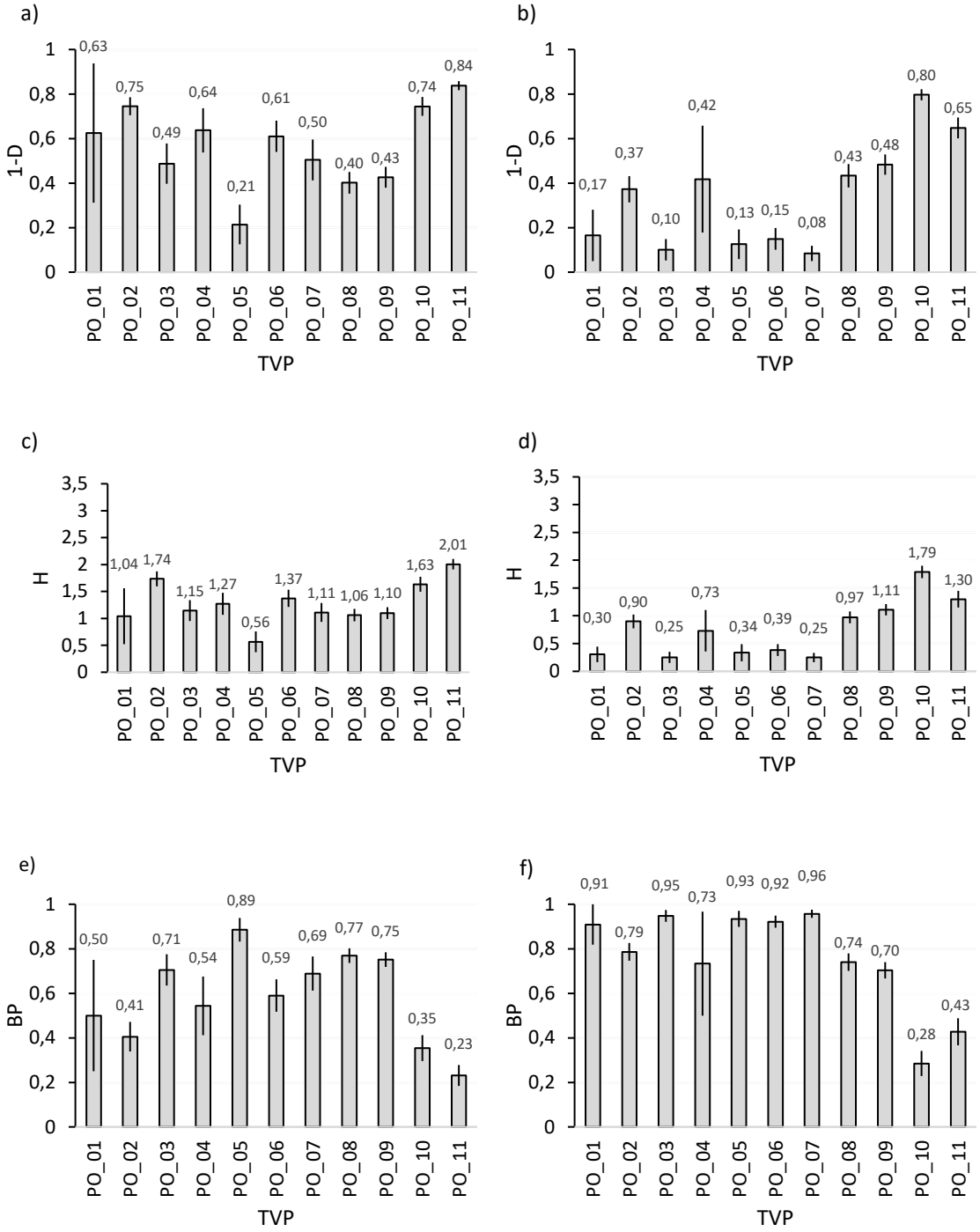

Obr. 47: Porovnání indexů diverzity (1-D = Simpson – a, b; H = Shannon – c, d; BP = Berger-Parker – e, f) vypočtených pro společenstva řádu pavouků (Araneae) druhů preferujících lesní habitaty, která se na TVP vyskytovala v letech 2013 (a, c, e) a 2014 (b, d, f). Signifikantní (p <0,05) nebo nesignifikantní (p> 0,05) rozdíl mezi indexy diverzity na TVP v prvním a druhém roce šetření udává tab. 6. Linie ukazují 95% interval spolehlivosti.

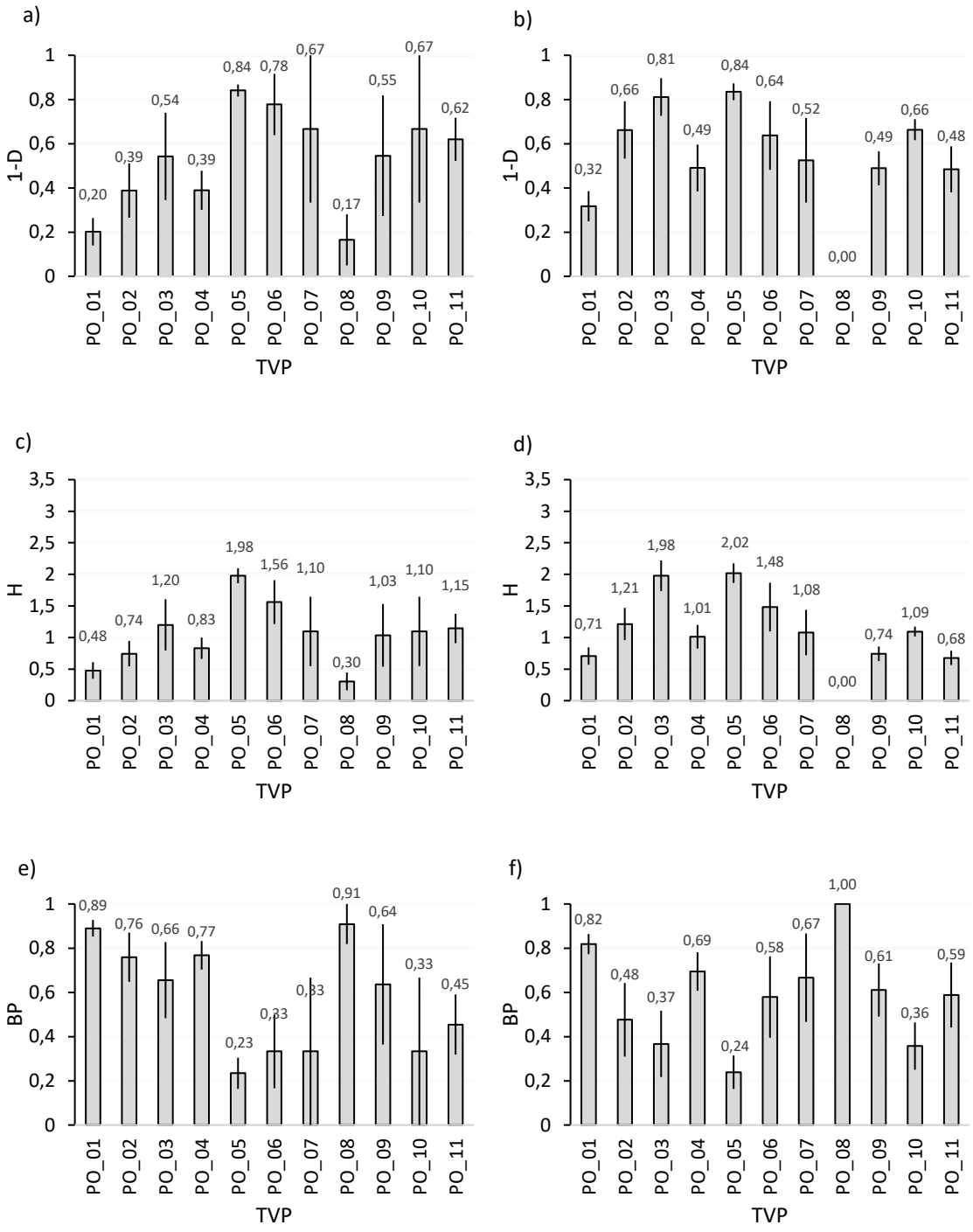

Obr. 48: Porovnání indexů diverzity (1-D = Simpson – a, b; H = Shannon – c, d; BP = Berger-Parker – e, f) vypočtených pro společenstva řádu pavouků (Araneae) druhů preferujících otevřené habitaty, která se na TVP vyskytovala v letech 2013 (a, c, e) a 2014 (b, d, f). Signifikantní ($p < 0,05$) nebo nesignifikantní ($p > 0,05$) rozdíl mezi indexy diverzity na TVP v prvním a druhém roce šetření udává tab. 6. Linie ukazují 95% interval spolehlivosti.

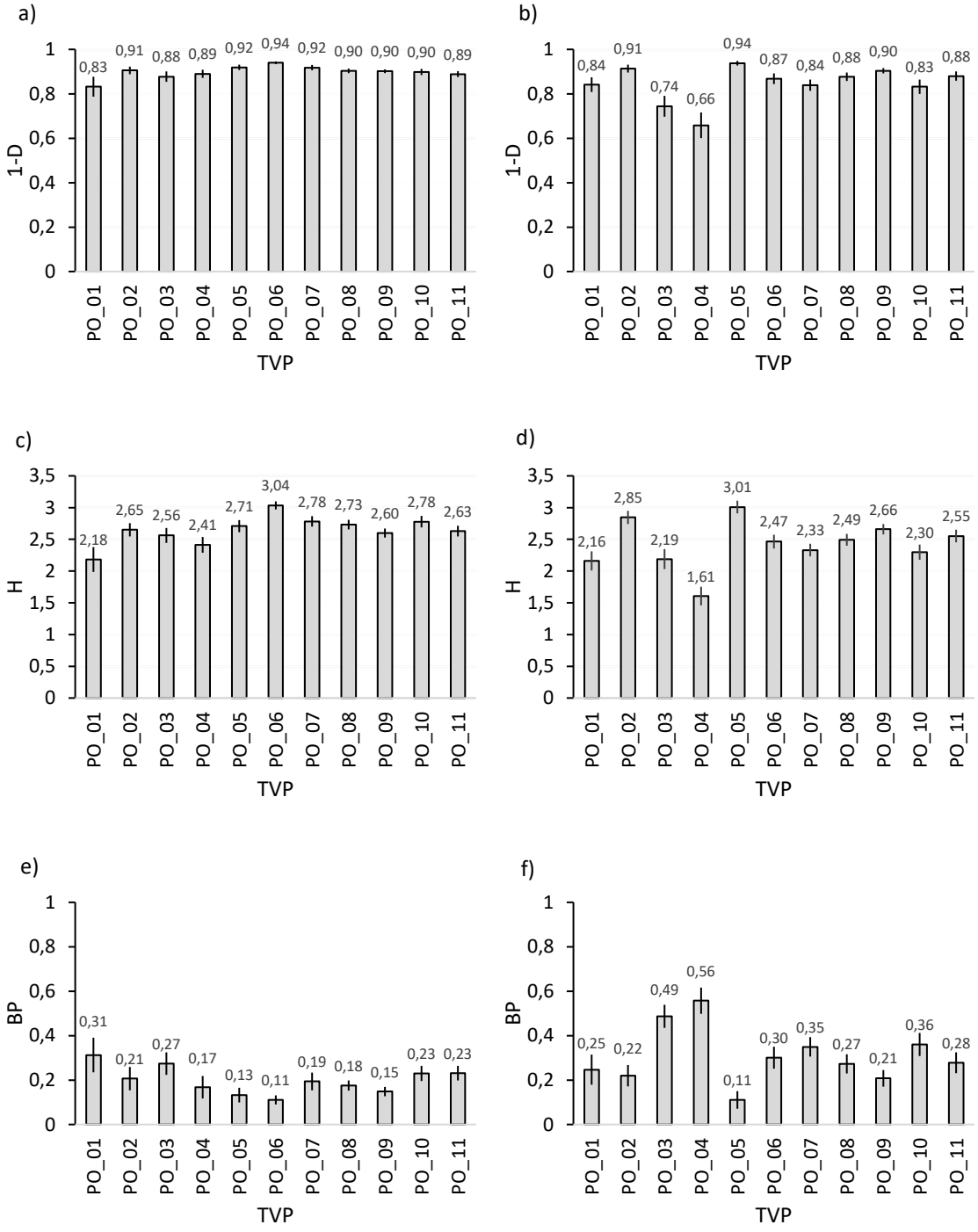

Obr. 49: Porovnání indexů diverzity (1-D = Simpson – a, b; H = Shannon – c, d; BP = Berger-Parker – e, f) vypočtených pro společenstva řádu pavouků (Araneae) druhů k habitatu indiferentních, která se na TVP vyskytovala v letech 2013 (a, c, e) a 2014 (b, d, f). Signifikantní ($p < 0,05$) nebo nesignifikantní ($p > 0,05$) rozdíl mezi indexy diverzity na TVP v prvním a druhém roce šetření udává tab. 6. Linie ukazují 95% interval spolehlivosti.

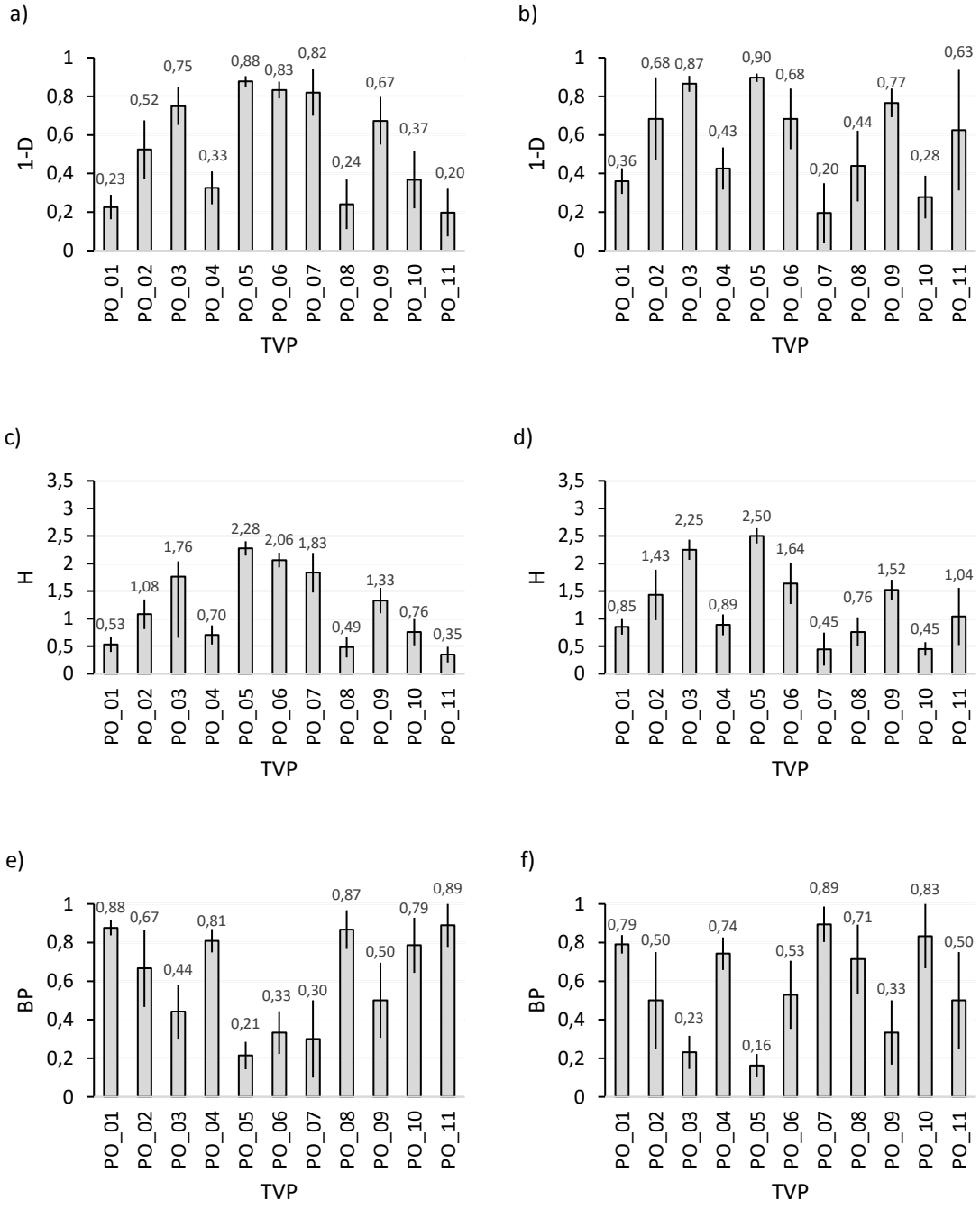

Obr. 50: Porovnání indexů diverzity (1-D = Simpson – a, b; H = Shannon – c, d; BP = Berger-Parker – e, f) vypočtených pro společenstva řádu pavouků (Araneae) skupiny druhů dle preference k vlhkosti stanoviště (stupeň 1+1,5), která se na TVP vyskytovala v letech 2013 (a, c, e) a 2014 (b, d, f). Signifikantní (p <0,05) nebo nesignifikantní (p> 0,05) rozdíl mezi indexy diverzity na TVP v prvním a druhém roce šetření udává tab. 6. Linie ukazují 95% interval spolehlivosti.

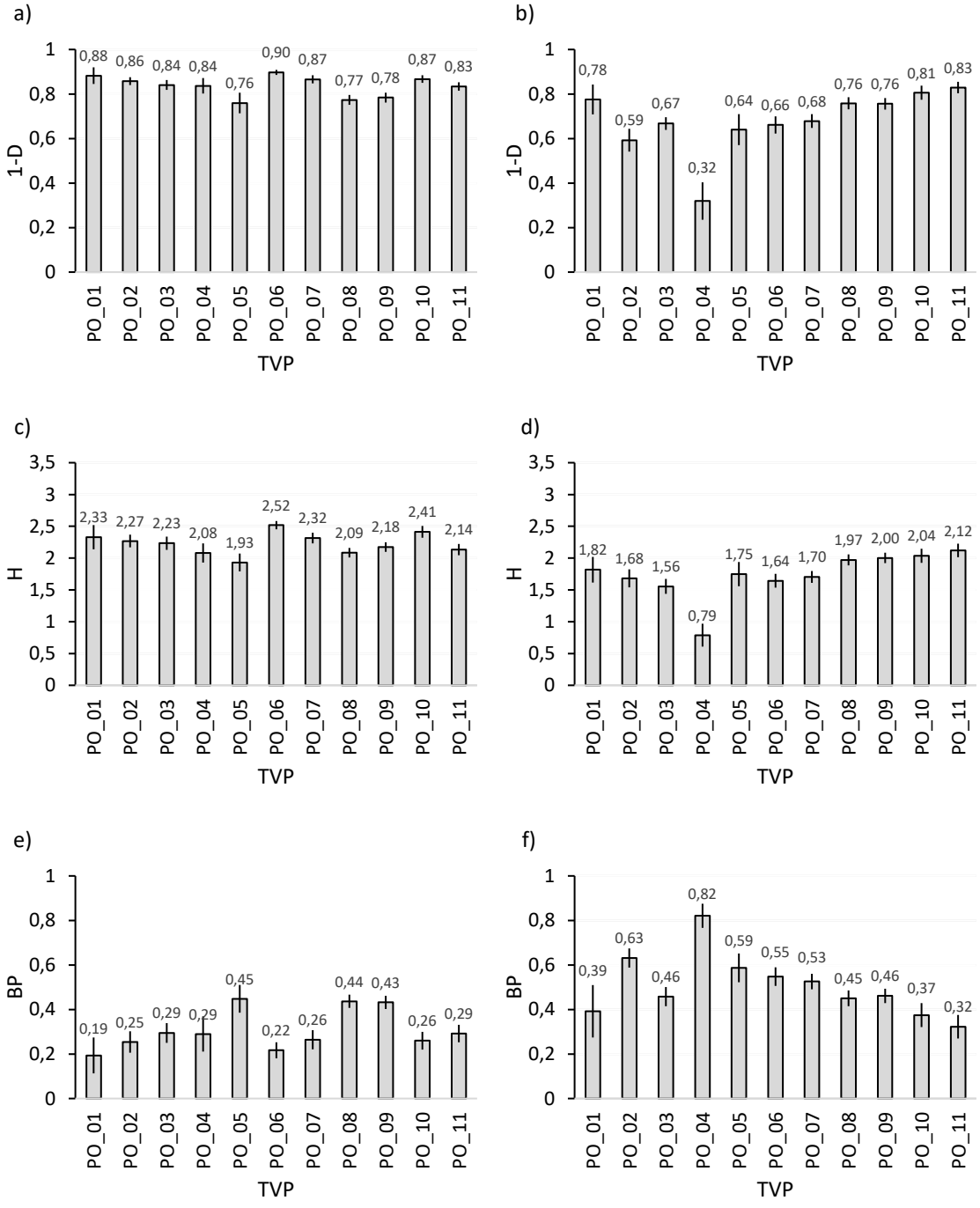

Obr. 51: Porovnání indexů diverzity (1-D = Simpson – a, b; H= Shannon – c, d; BP = Berger-Parker – e, f) vypočtených pro společenstva řádu pavouků (Araneae) skupiny druhů dle preference k vlhkosti stanoviště (stupeň 2+2,5), která se na TVP vyskytovala v letech 2013 (a, c, e) a 2014 (b, d, f). Signifikantní (p <0,05) nebo nesignifikantní (p> 0,05) rozdíl mezi indexy diverzity na TVP v prvním a druhém roce šetření udává tab. 6. Linie ukazují 95% interval spolehlivosti.

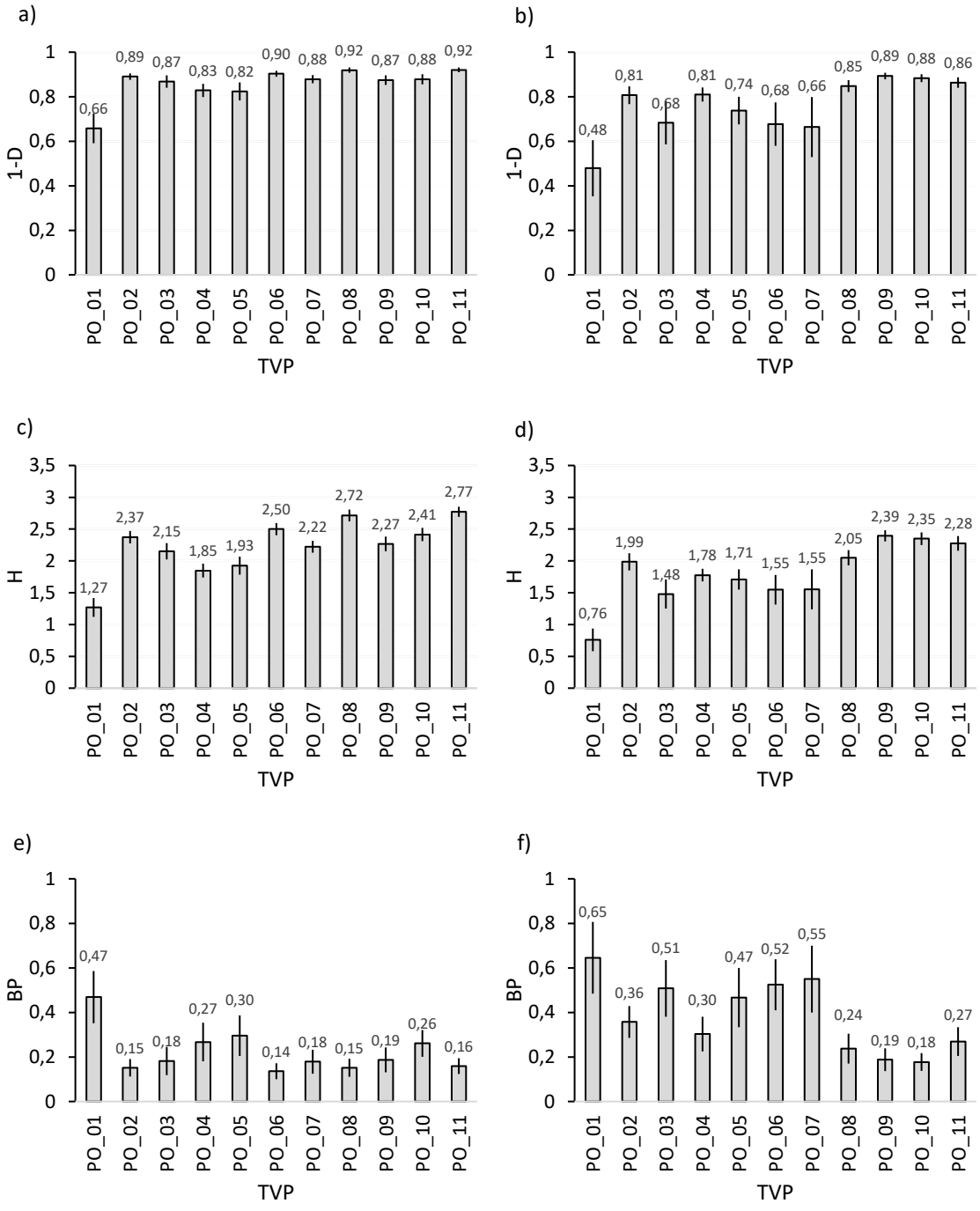

Obr. 52: Porovnání indexů diverzity (1-D = Simpson – a, b; H = Shannon – c, d; BP= Berger-Parker – e, f) vypočtených pro společenstva řádu pavouků (Araneae) skupiny druhů dle preference k vlhkosti stanoviště (stupeň 3+3,5), která se na TVP vyskytovala v letech 2013 (a, c, e) a 2014 (b, d, f). Signifikantní (p <0,05) nebo nesignifikantní (p> 0,05) rozdíl mezi indexy diverzity na TVP v prvním a druhém roce šetření udává tab. 6. Linie ukazují 95% interval spolehlivosti.

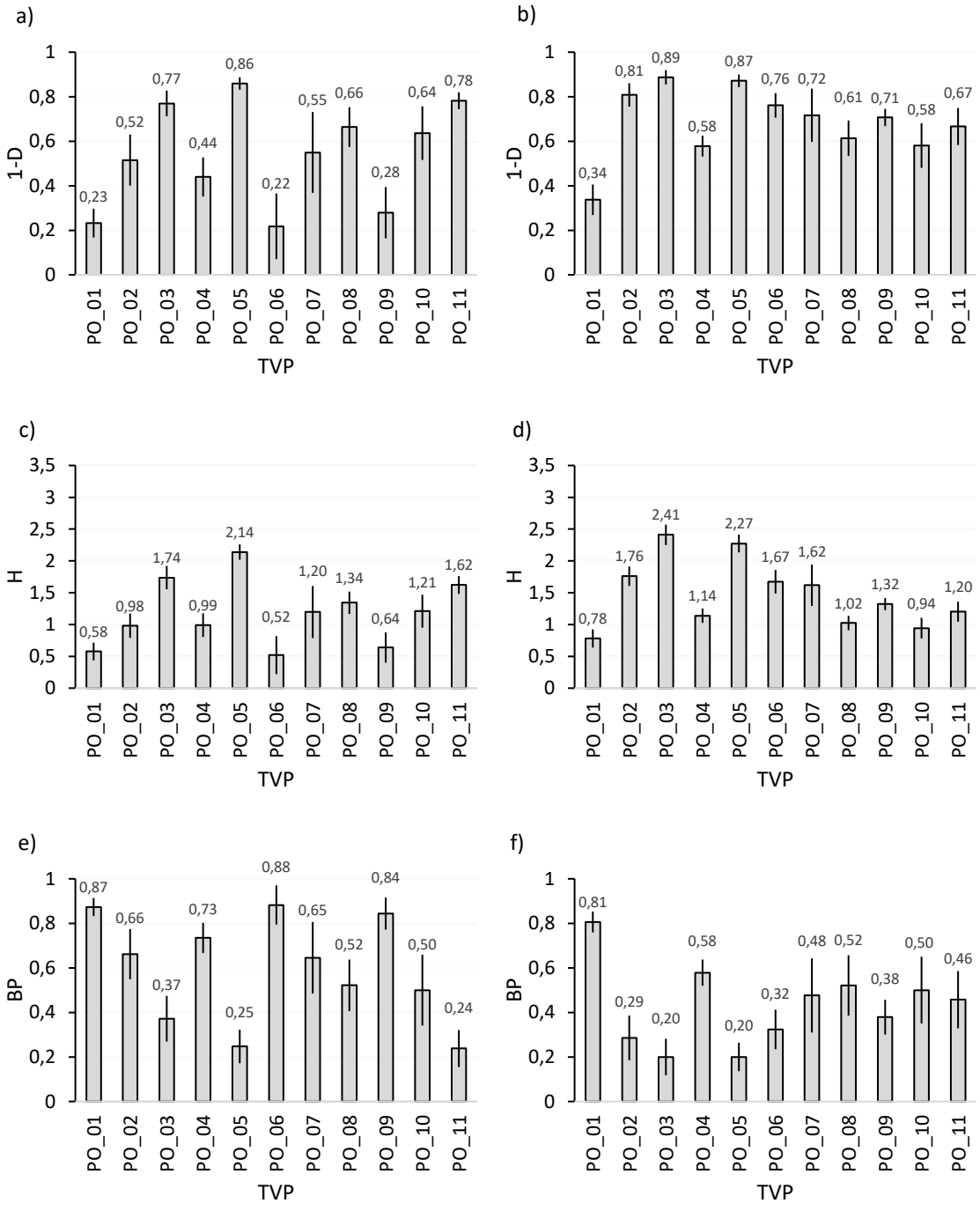

Obr. 53: Porovnání indexů diverzity (1-D = Simpson – a, b; H = Shannon – c, d; BP = Berger-Parker – e, f) vypočtených pro společenstva řádu pavouků (Araneae) skupiny druhů dle preference k zastínění stanoviště (stupeň 1+1,5), která se na TVP vyskytovala v letech 2013 (a, c, e) a 2014 (b, d, f). Signifikantní (p <0,05) nebo nesignifikantní (p> 0,05) rozdíl mezi indexy diverzity na TVP v prvním a druhém roce šetření udává tab. 6. Linie ukazují 95% interval spolehlivosti.

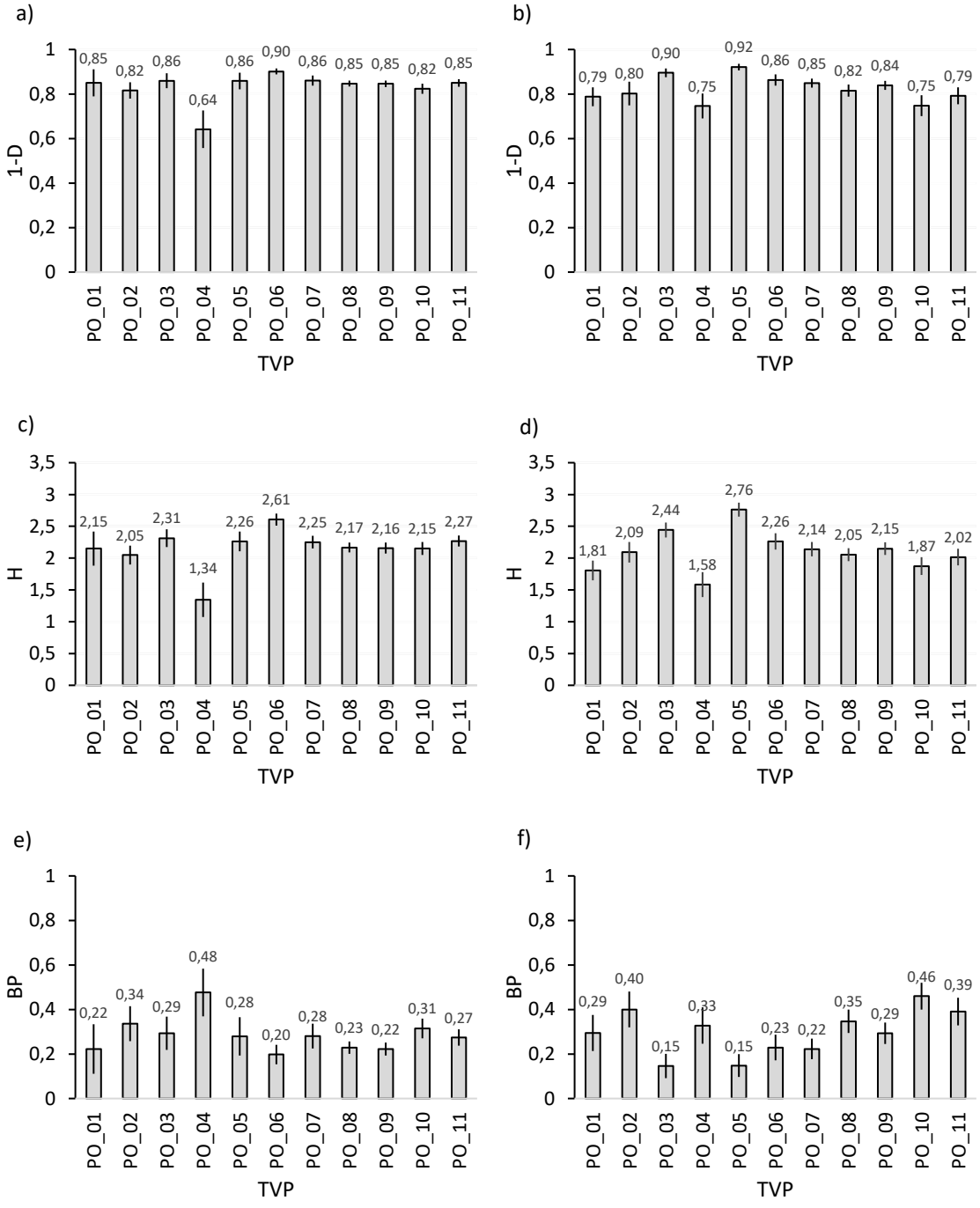

Obr. 54: Porovnání indexů diverzity (1-D = Simpson – a, b; H = Shannon – c, d; BP = Berger-Parker – e, f) vypočtených pro společenstva řádu pavouků (Araneae) skupiny druhů dle preference k zastínění stanoviště (stupeň 2+2,5), která se na TVP vyskytovala v letech 2013 (a, c, e) a 2014 (b, d, f). Signifikantní (p <0,05) nebo nesignifikantní (p> 0,05) rozdíl mezi indexy diverzity na TVP v prvním a druhém roce šetření udává tab. 6. Linie ukazují 95% interval spolehlivosti.

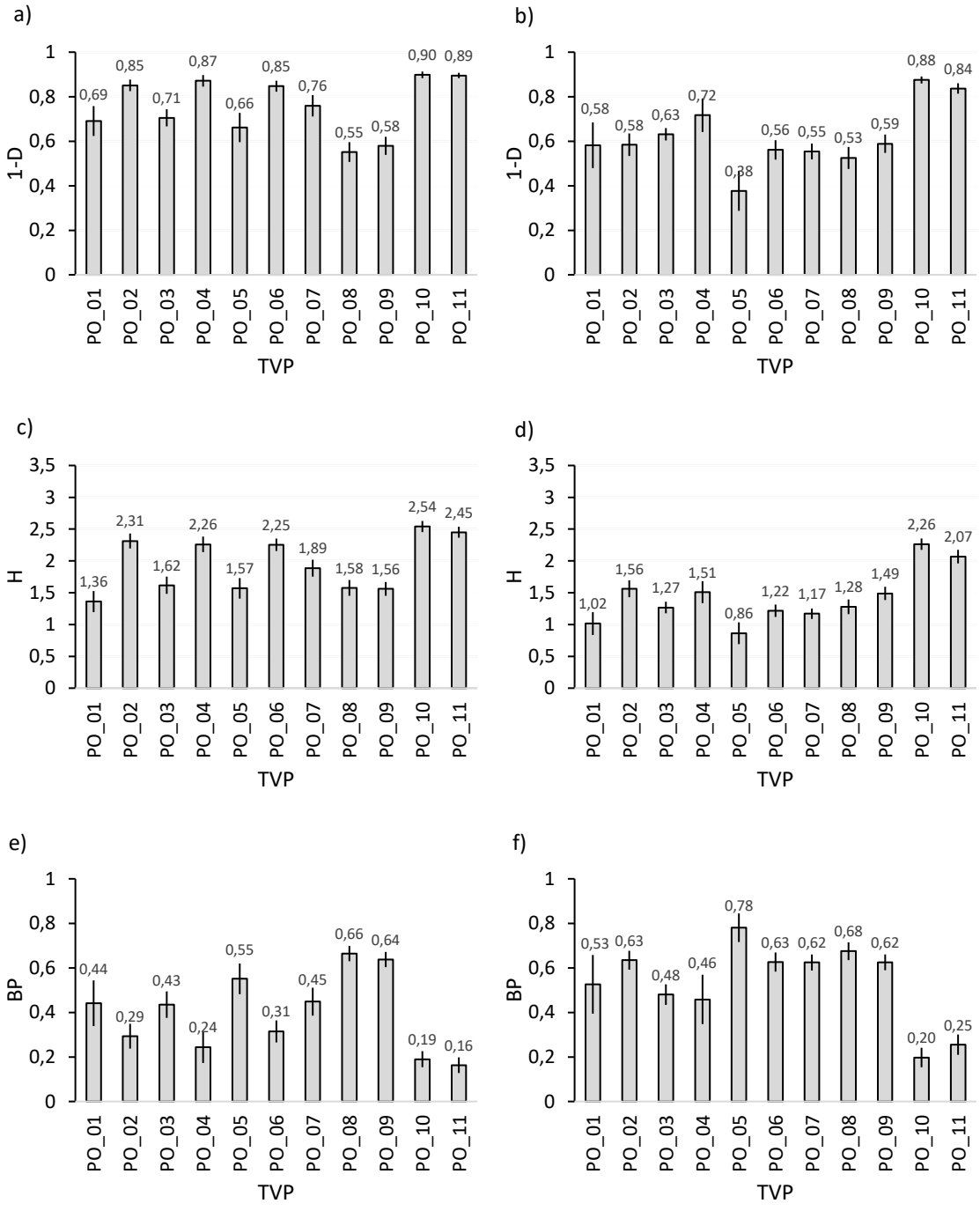

Obr. 55: Porovnání indexů diverzity (1-D = Simpson – a, b; H = Shannon – c, d; BP = Berger-Parker – e, f) vypočtených pro společenstva řádu pavouků (Araneae) skupiny druhů dle preference k zastínění stanoviště (stupeň 3–4), která se na TVP vyskytovala v letech 2013 (a, c, e) a 2014 (b, d, f). Signifikantní (p <0,05) nebo nesignifikantní (p> 0,05) rozdíl mezi indexy diverzity na TVP v prvním a druhém roce šetření udává tab. 6. Linie ukazují 95% interval spolehlivosti.

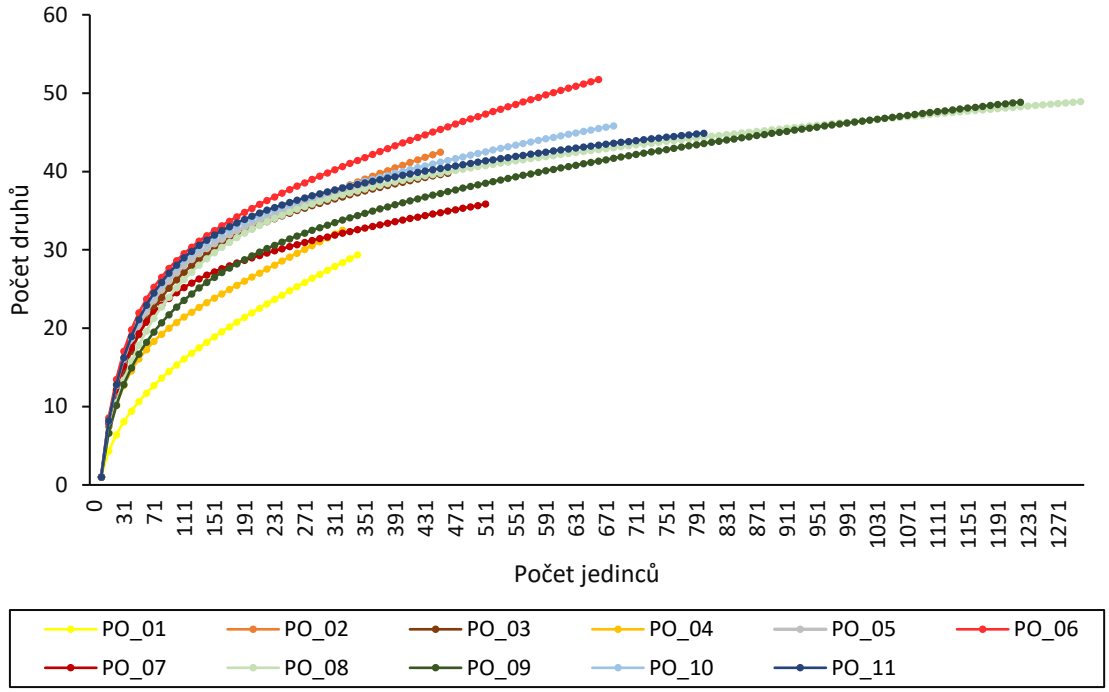

Obr. 56: Rarefrakční křivky počtu druhů řádu pavouků (Araneae) na TVP v roce 2013

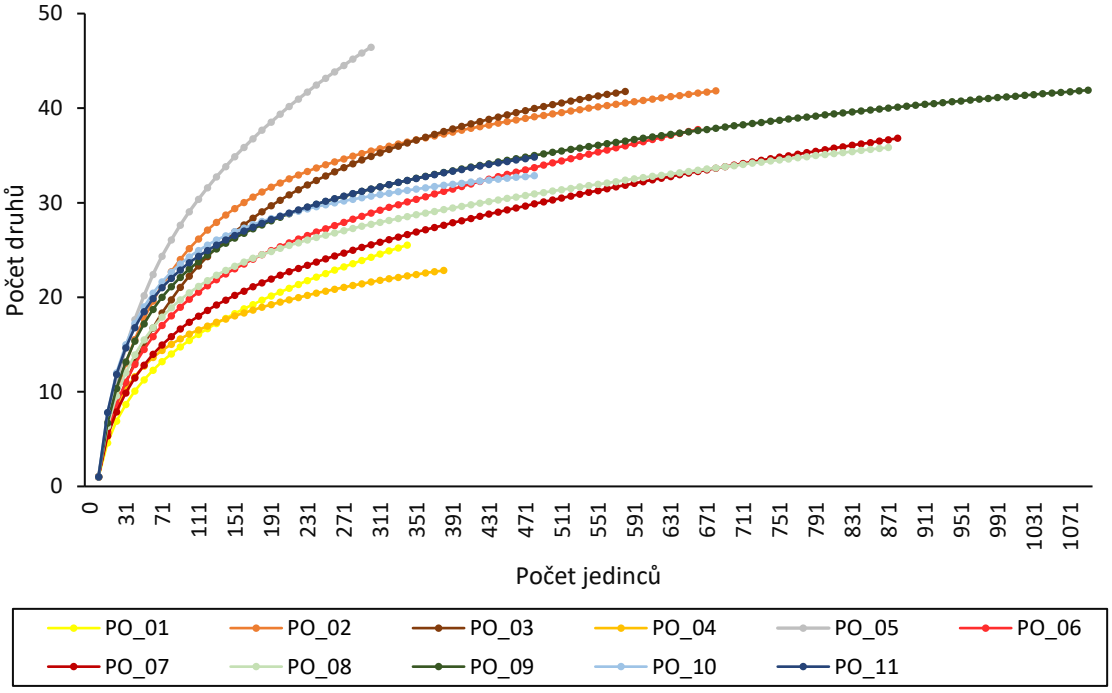

Obr. 57: Rarefrakční křivky počtu druhů řádu pavouků (Araneae) na TVP v roce 2014

PO_01	PO_02	PO_03	PO_04	PO_05	PO_06	PO_07	PO_08	PO_09	PO_10	PO_11	2013
1,00	0,14	0,15	0,50	0,17	0,12	0,13	0,09	0,07	0,11	0,07	**PO_01**
	1,00	0,47	0,29	0,48	0,55	0,57	0,50	0,47	0,35	0,38	**PO_02**
		1,00	0,15	0,63	0,59	0,58	0,53	0,56	0,29	0,23	**PO_03**
			1,00	0,23	0,27	0,21	0,10	0,12	0,13	0,17	**PO_04**
				1,00	0,54	0,54	0,51	0,55	0,27	0,21	**PO_05**
					1,00	0,68	0,48	0,52	0,37	0,38	**PO_06**
						1,00	0,57	0,50	0,37	0,35	**PO_07**
							1,00	0,75	0,39	0,35	**PO_08**
								1,00	0,38	0,31	**PO_09**
									1,00	0,67	**PO_10**
										1,00	**PO_11**

Obr. 58: Hodnoty Renkonenova indexu faunistické podobnosti vypočtené pro společenstva řádu pavouků (Araneae) zjištěných v roce 2013 na požářišti Bzenec ve vazbě na TVP.

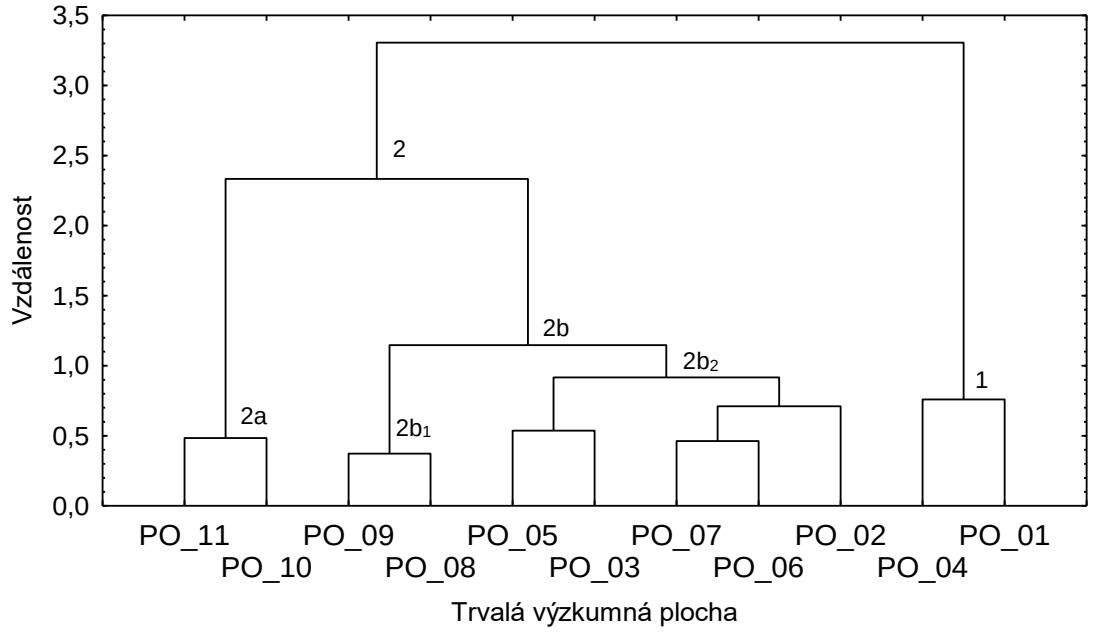

Obr. 59: Výsledky shlukové analýzy (pravidlo slučování Wardova metoda, Euklidovská míra vzdálenosti) aplikované na vypočtené Renkonenovy indexy podobnosti pro společenstva řádu pavouků (Araneae) z roku 2013 dle TVP.

PO_01	PO_02	PO_03	PO_04	PO_05	PO_06	PO_07	PO_08	PO_09	PO_10	PO_11	2014
1,00	0,09	0,12	0,31	0,18	0,10	0,10	0,06	0,07	0,12	0,10	**PO_01**
	1,00	0,53	0,15	0,56	0,61	0,64	0,62	0,63	0,37	0,30	**PO_02**
		1,00	0,15	0,59	0,69	0,68	0,50	0,49	0,20	0,13	**PO_03**
			1,00	0,09	0,14	0,09	0,13	0,13	0,15	0,22	**PO_04**
				1,00	0,68	0,66	0,57	0,54	0,23	0,15	**PO_05**
					1,00	0,86	0,59	0,56	0,23	0,20	**PO_06**
						1,00	0,57	0,56	0,22	0,18	**PO_07**
							1,00	0,80	0,41	0,35	**PO_08**
								1,00	0,41	0,34	**PO_09**
									1,00	0,63	**PO_10**
										1,00	**PO_11**

Obr. 60: Hodnoty Renkonenova indexu faunistické podobnosti vypočtené pro společenstva řádu pavouků (Araneae) zjištěných v roce 2014 na požářišti Bzenec ve vazbě na TVP.

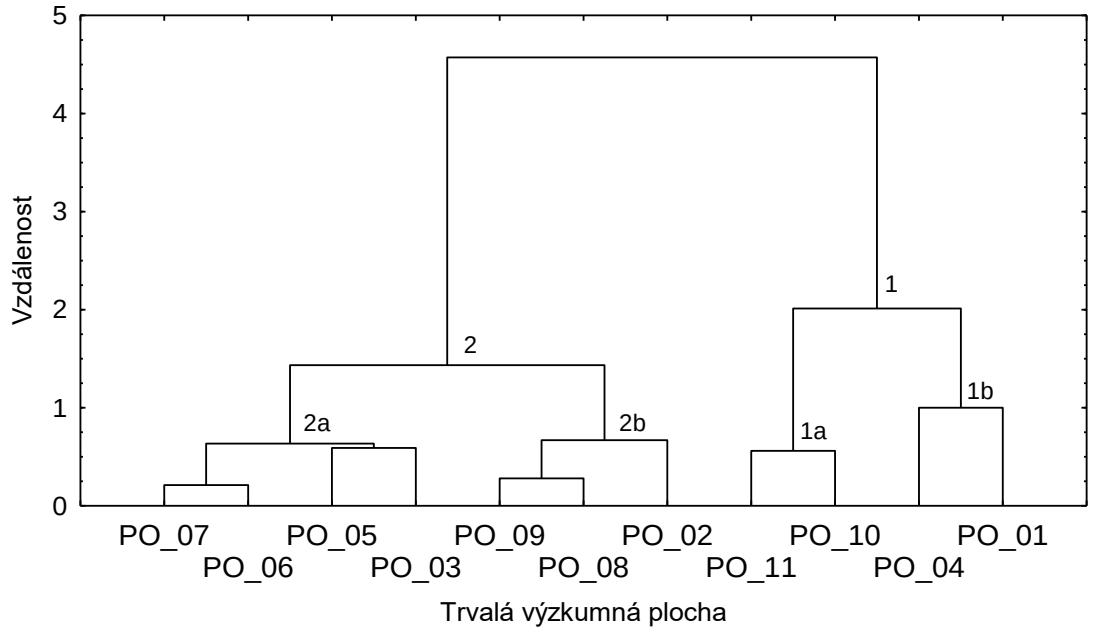

Obr. 61: Výsledky shlukové analýzy (pravidlo slučování Wardova metoda, Euklidovská míra vzdálenosti) aplikované na vypočtené Renkonenovy indexy podobnosti pro společenstva řádu pavouků (Araneae) z roku 2014 dle TVP.

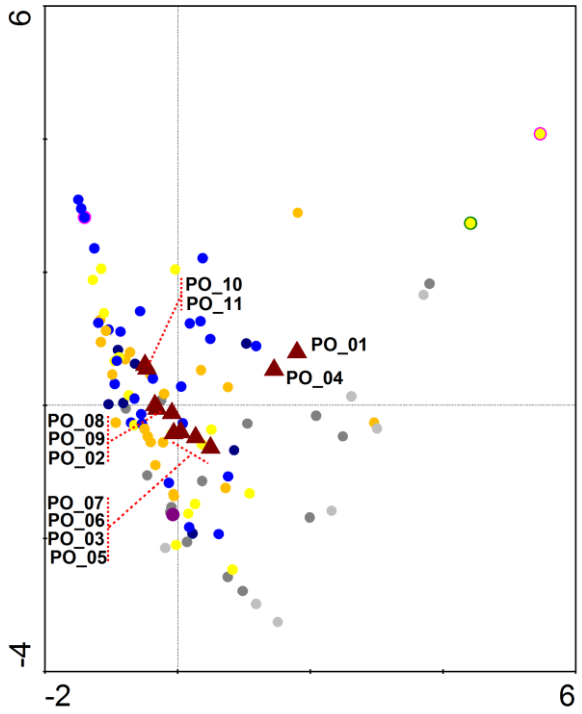

Obr. 62: Ordinační diagram CCA analýzy znázorňující vztah mezi TVP v roce 2013 a skupinami druhů řádu pavouků (Araneae) tříděných dle preference k vlhkosti stanoviště (1 – světle šedá; 1,5 – tmavě šedá; 2 – žlutá; 2,5 – oranžová; 3 – modrá; 3,5 – tmavě modrá; 4 – světle zelená; 4,5 – tmavě zelená; 5 – růžová; hodnota nebyla určena – fialová)

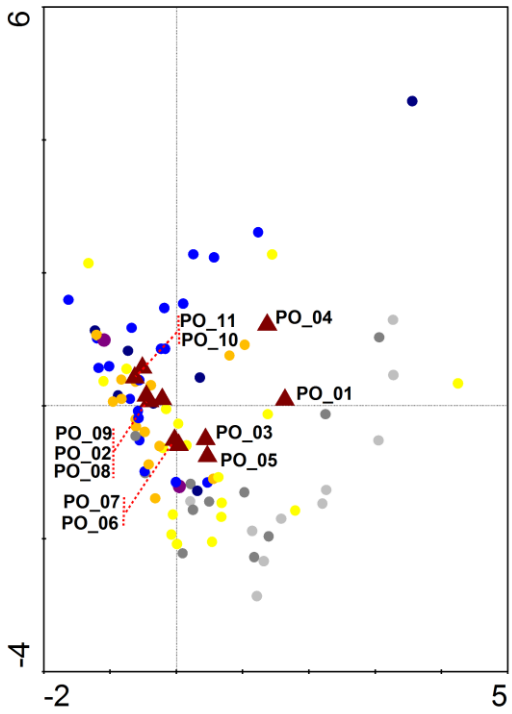

Obr. 63: Ordinační diagram CCA analýzy znázorňující vztah mezi TVP v roce 2014 a skupinami druhů řádu pavouků (Araneae) tříděných dle preference k vlhkosti stanoviště (1 – světle šedá; 1,5 – tmavě šedá; 2 – žlutá; 2,5 – oranžová; 3 – modrá; 3,5 – tmavě modrá; 4 – světle zelená; 4,5 – tmavě zelená; 5 – růžová; hodnota nebyla určena – fialová)

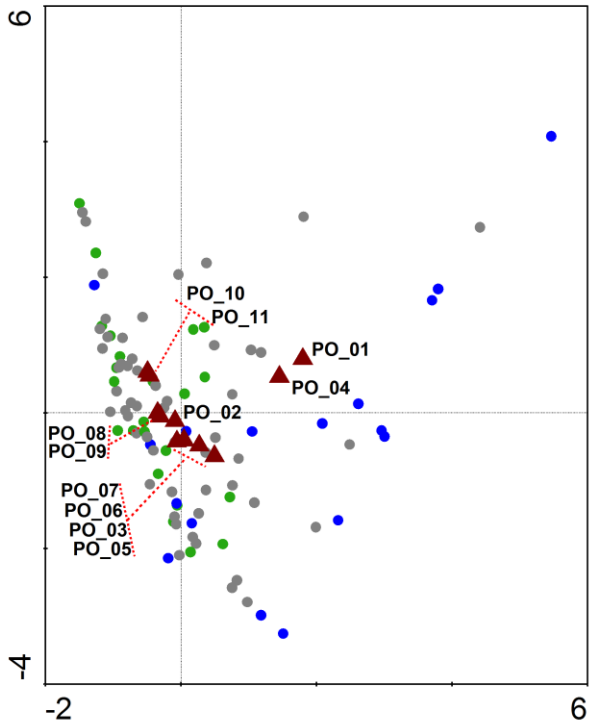

Obr. 64: Ordinační diagram CCA analýzy znázorňující vztah mezi TVP v roce 2013 a skupinami druhů řádu pavouků (Araneae) tříděných dle habitatové preference (druh lesních stanovišť – zelená, druh indiferentní – šedá, druh otevřených stanovišť – modrá)

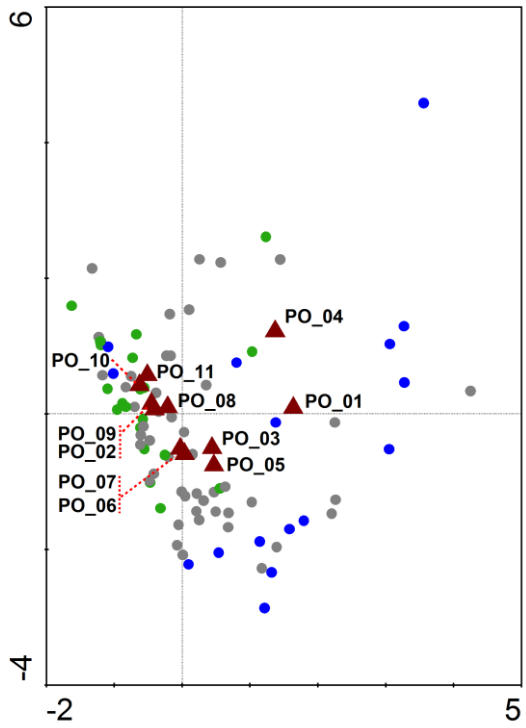

Obr. 65: Ordinační diagram CCA analýzy znázorňující vztah mezi TVP v roce 2014 a skupinami druhů řádu pavouků (Araneae) tříděných dle habitatové preference (druh lesních stanovišť – zelená, druh indiferentní – šedá, druh otevřených stanovišť – modrá)